

UNIVERSITATEA TEHNICA TIMISOARA  
FACULTATEA DE ELECTROTEHNICA

T E Z A D E D O C T O R A T

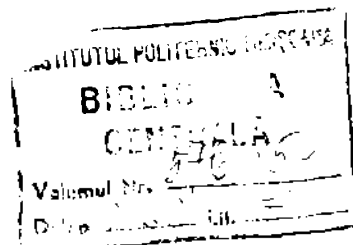
CERCETARI TEORETICE SI EXPERIMENTALE  
PRIVIND TRADUCTIONARELE DE FORTA DE  
TIP MAGNETOELASTIC

ing.Hărăguș Stefan

BIBLIOTECA CENTRALĂ  
UNIVERSITATEA "POLITEHNICA"  
TIMIȘOARA

Conducător științific  
Prof.dr.ing.Constantin Șora

-1993-



## C U P R I N S

PAG.

Introducere .....	1
CAP.1. ASPECTE TEORETICE PRIVIND INTERACIUNILE MAGNETOELASTICE INTR-UN CORP SOLID .....	3
1.1. Fundamentarea termodynamică a legilor de material pentru un corp magnetizabil și deformabil .....	5
1.1.1. Forma generală a legilor de material .....	5
1.1.2. Forme liniarizate ale legilor de material ...	4
1.1.3. Efectele $\Delta E$ și $\Delta X$ .....	8
1.2. Ecuatiile de echilibru ale magnetizației și de- formării intr-un corp feromagnetic solicitat me- canic, în cadrul teoriei micromagnetismului .....	13
1.2.1. Principiul extremal .....	13
1.2.2. Lucrul elementar al forțelor externe asupra unui corp magnetizabil și deformabil .....	15
1.2.3. Ecuatiile de echilibru ale magnetizației și deformării .....	17
1.2.4. Formule explicite pentru densitatea de energie liberă locală $F$ .....	21
1.3. Modelul analitic al couplului magnetoelectric într-o bandă amorfă cu anizotropie transversală .	25
CAP.2. PROPRIETATI MAGNETOELASTICE ALE METALELOR AMORFE. DETERMINARI EXPERIMENTALE .....	34
2.1. Comparatie între materialele feromagneticice amorfe și cele cristaline .....	24
2.2. Efectul eforturilor uniaxiale de întindere asupra curbei de magnetizare la aliajul amorf ( $FeCo$ )SiB. ....	39
2.2.1. Instalația folosită pentru ridicarea ciclului de histerezis .....	40
2.2.2. Efectul efortului de întindere asupra curbei de magnetizare la o bandă netratată termic ..	42
2.2.3. Determinări experimentale pentru aliajul tra- tat termic în cimp magnetic transversal ....	47

2.3. Determinarea experimentală a magnetostric-	
tării de saturare la benzii amorfice .....	56
CAP.3. CALCULUL CĂMPULUI MAGNETIC LA UN TRADUCTOR	
DE FORȚA CU ANIZOTROPIE MAGNETOELASTICĂ ....	64
3.1. Traductoare de forță bazate pe efectul	
magnetooelastic ..... 64	
3.1.1. Efectul magnetooelastic ca măsură a stă-	
rii de deformare elastică determinată	
de acțiunea unei forțe aplicate .....	64
3.1.2. Traductoare de forță cu anizotropie	
magnetooelastică ..... 69	
3.2. Modelul de cimp magnetic la un traductor de	
forță cu anizotropie magnetooelastică .....	73
3.2.1. Modele calitative .....	73
3.2.2. Modelul de cimp plan-paralel consider-	
înd mediul neliniar și anizotrop .....	79
3.3. Stabilirea ecuațiilor modelului numeric	
de cimp magnetic ..... 82	
3.4. Implementarea modelului numeric de cimp	
pe un calculator FELIX-PC .....	89
3.4.1. Asamblarea matricii coeficienților sis-	
temului algebric și rezolvarea acestuia .	89
3.4.2. Tratarea neliniarității materialului ....	91
3.4.3. Ordinograma algoritmului de calcul .....	96
3.5. Utilizarea modelului numeric pentru calculul	
electromagnetic al unui traductor fizic .....	97
3.5.1. Calculul potențialului $\tilde{A}$ , al fluxului $\tilde{\Phi}_{12}$	
și a valorii medii a t.e.m. inducă .....	97
3.5.2. Verificări experimentale și analiza	
erorilor ..... 108	
CAP.4. APLICATII TEHNICE ALE TRADUCTOARELOR DE	
FORȚA DE TIP MAGNETOELASTIC .....	112
4.1. Sisteme de măsurare a forțelor .....	112
4.2. Sistem de cintărire a oalei unui captor de	
inducție cu traductoare magnetooelastic ..... 115	
4.3. Traductoare de forță din aliaje amorfice .....	121
CAP.5. CONCLUZII FINALE .....	126
Bibliografie .....	152

## INTRODUCERE

Un rol important în cadrul automatizării proceselor industriale îl joacă traductoarele pentru măsurarea pe cale electrică a forțelor și maselor. Printre tipurile de traductoare de forță larg utilizate, îndeosebi în industria grea, se numără cele bazate pe efectul magnetoelastice [36,57,69,90,104].

Efectul magnetoelastic reprezintă un aspect al interacțiunilor magnetoelastice (IME), reflectat prin modificarea proprietăților magnetice datorită unei solicitări mecanice. Celălalt aspect, numit efect magnetostriativ, se manifestă prin modificarea dimensiunilor geometrice sub acțiunea unui câmp magnetic. IME au fost studiate sistematic [8,11], domeniul răminind în actualitate datorită informațiilor furnizate privind procesele de magnetizare, respectiv datorită aplicațiilor tehnice asociate. O intensificare a cercetărilor în domeniu a fost determinată de apariția, în ultimii ani, a materialelor ferromagnetice cu structură amorfă, la care influența solicitărilor mecanice asupra proprietăților magnetice este deosebit de pronunțată [10,20]. În țară IME au fost studiate la Iași, Cluj, Craiova și Timișoara, în ultimul caz în cadrul catedrei de fizică a U.T.T. Rezultate deosebite privind traductoarele magnetoelastice (TME) de forță s-au obținut la Craiova [122].

O problemă importantă legată de proiectarea TME de forță o constituie calculul electromagnetic al acestora. Deși multe lucrări se ocupă de acest aspect [2,44,46,68,100,107], modul de rezolvare se bazează pe modele foarte simplificate, atât referitor la calculul propriu-zis al câmpului magnetic cât și al legilor de material folosite.

Teza de doctorat și-a propus ca principal scop imbunătățirea metodei de calcul electromagnetic al IME bazate pe anizotropia magnetică indușă de forță aplicată, numite și TME cu câmp liber, prin formularea și rezolvarea unei probleme de tip Poisson pentru câmp plan-paralel, mediul fiind considerat neliniar și anizotropic. Ca un obiectiv secundar, dar nu lipsit de importanță, teza și-a propus cercetarea comportării magnetoelastice a unor aliaje amorfă, în vederea utilizării acestora la realizarea traductoarelor de forță.

Teza este structurată în cinci capitol. În primul capitol sunt studiate bazele fizice ale TME, sub aspect termodinamic. S-a urmărit în special modelarea proceselor de magnetizare în corpuri solicitate mecanic. Capitolul al doilea se ocupă de studiul experimental al comportării magnetoelastice a unor materiale amorfă, în diferite condiții de tratament termic. În capitolul al treilea accentul este pus pe formularea și rezolvarea ecuației Poisson în potențialul vector  $\vec{A}$  pentru cîmpul magnetic dintr-un TME cu cîmp liber. Rezolvarea se face numeric, prin metoda elementelor finite. Pe baza acestui calcul se determină caracteristica de transfer a TME. Rezultatele sunt apoi comparate cu măsurările efectuate pe un TME realizat în acest scop. Capitolul al patrulea prezintă o aplicație industrială a TME cu cîmp liber precum și comportarea TME din aliaje amorfă la solicitări dinamice. În capitolul al cincilea sunt prezentate concluziile finale și contribuțiile autorului.

x x x x x

Elaborarea lucrării s-a efectuat sub îndrumarea permanentă a conducătorului științific Prof.dr.ing. Constantin Șora, căruia autorul îi aduce și pe această cale respectuoase mulțumiri.

Autorul mulțumește de asemenea d-lui Prof.dr.ing. Ioan de Sabata pentru unele sugestii referitoare la teză, iar d-lui Conf.dr.ing. Dumitru Radu pentru utilele discuții legate de probleme de cîmp.

D-lui Prof.dr.ing. Avram Heler autorul îi este recunoscător pentru sprijinul acordat în calitate de responsabil al colectivului de cercetare privind aplicațiile industriale ale TME.

D-lui Lect.fiz. Aurel Șrouță autorul îi mulțumește pentru asistență tehnică la unele măsurători magnetice iar d-lui Cercet.dr.ing. Viorel Serban pentru punerea la dispoziție a unor benzi amorfă.

Autorul mulțumește de asemenea tuturor colegilor din cadrul colectivului Catedrei de Electrotehnica, de a căror sprijin a beneficiat în realizarea tezei.

## C A P I T O L U L I

### ASPECTE TEORETICE PRIVIND INTERACȚIUNILE MAGNETOELASTICE ÎNTR-UN CORP SOLID

#### 1.1. Fundamentarea termodinamică a legilor de material pentru un corp magnetizabil și deformabil

##### 1.1.1. Forma generală a legilor de material

Variatia densitatii energiei interne a unui corp plasat intr-un cimp magnetic si solicitat de forte externe intr-un proces reversibil este, conform principiilor termodinamici [95,loc],

$$dU = TdS + \mu_0 H_k dM_k + \sigma_{ij} d\epsilon_{ij} \quad (1.1)$$

In care  $M_k$  ( $k=1,3$ ) sunt componentele vectorului magnetizatiei,  $H_k$  componentele intensitatii cimpului magnetic;  $\sigma_{ij}$  si  $\epsilon_{ij}$  ( $i,j=1,3$ ) sunt componentele tensorului tensiunilor elastice, respectiv ale tensorului deformațiilor specifice iar  $T$  si  $S$  sunt temperatura absolută respectiv entropia unitatii de volum.

La scrierea relației (1.1) s-a folosit convenția de însumare a lui Einstein (prezența intr-un produs a doi factori cu indice identici impune o însumare după acei indice). Această convenție va fi folosită pe tot parcursul capitolului.

Expresia (1.1) fiind o diferențială totală,  $U$  trebuie să fie funcție numai de variabilele independente  $\epsilon_{ij}$ ,  $M_k$  și  $S$  iar coeficienții diferențialelor acestor variabile sint derivatele parțiale ale acestei funcții, deci funcții de același variabili  $\epsilon_{ij}$ ,  $M_k$ ,  $S$ . Aceste funcții reprezintă legile de material ale corpului respectiv, sub forma ecuațiilor de stare asociate transformării reversibile considerate. Existența legilor de material este o consecință termodinamică a reversibilității [95].

Din motive practice se preferă alegerea mărimilor  $\sigma_{ij}$ ,  $H_k$ , și  $T$  drept variabilele independente. În raport cu aceste variabile, în locul energiei interne  $U$ , este utilizat potențialul termodinamic Gibbs

$$G = U - TS - \mu_0 M_k H_k - \sigma_{ij} e_{ij} , \quad (1.2)$$

și cărei diferențială totală este

$$dG = -SdT - \mu_0 M_k dH_k - e_{ij} d\sigma_{ij} . \quad (1.3)$$

În acord cu precizările anterioare, formele generale ale legilor de material care rezultă din relația (1.3) sunt:

$$S = -\frac{\partial G}{\partial T} = S(H_k, \sigma_{ij}, T) , \quad (1.4)$$

$$M_k = -\frac{1}{\mu_0} \left( \frac{\partial G}{\partial H_k} \right) = M_k(H_k, \sigma_{ij}, T) , \quad (1.5)$$

$$e_{ij} = -\frac{\partial G}{\partial \sigma_{ij}} = e_{ij}(H_k, \sigma_{kl}, T) . \quad (1.6)$$

### 1.1.2. Forme liniarizate ale legilor de material

Experiența dovedește că pentru o clasă foarte largă de materiale funcțiile (1.4) și (1.6) sunt suficient de netede pentru a putea fi aproximate prin dezvoltări în serie Taylor în jurul unei stări de referință ( $H_k=0$ ,  $\sigma_{ij}=0$ ,  $T=T_0$ ). Neglijind termenii de ordinul doi și mai mare, se obțin formele liniarizate ale legilor de material

$$\Delta S = -\left( \frac{\partial^2 G}{\partial T^2} \right)_0 \Delta T - \left( \frac{\partial^2 G}{\partial T \partial H_k} \right)_0 H_k - \left( \frac{\partial^2 G}{\partial T \partial \sigma_{kl}} \right)_0 \sigma_{kl} , \quad (1.7)$$

$$\mu_0 M_i = -\left( \frac{\partial^2 G}{\partial H_i \partial T} \right)_0 \Delta T - \left( \frac{\partial^2 G}{\partial H_i \partial H_k} \right)_0 H_k - \left( \frac{\partial^2 G}{\partial H_i \partial \sigma_{kl}} \right)_0 \sigma_{kl} , \quad (1.8)$$

$$e_{ij} = -\left( \frac{\partial^2 G}{\partial \sigma_{ij} \partial T} \right)_0 \Delta T - \left( \frac{\partial^2 G}{\partial \sigma_{ij} \partial H_k} \right)_0 H_k - \left( \frac{\partial^2 G}{\partial \sigma_{ij} \partial \sigma_{kl}} \right)_0 \sigma_{kl} , \quad (1.9)$$

dacă dezvoltarea se efectuează relativ la G, respectiv

$$\Delta S = \left( \frac{\partial S}{\partial T} \right)_0 \Delta T + \left( \frac{\partial S}{\partial H_K} \right)_0 H_K + \left( \frac{\partial S}{\partial \sigma_{KL}} \right)_0 \sigma_{KL}, \quad (1.10)$$

$$M_i = \left( \frac{\partial M_i}{\partial T} \right)_0 \Delta T + \left( \frac{\partial M_i}{\partial H_K} \right)_0 H_K + \left( \frac{\partial M_i}{\partial \sigma_{KL}} \right)_0 \sigma_{KL}, \quad (1.11)$$

$$e_{ij} = \left( \frac{\partial e_{ij}}{\partial T} \right)_0 \Delta T + \left( \frac{\partial e_{ij}}{\partial H_K} \right)_0 H_K + \left( \frac{\partial e_{ij}}{\partial \sigma_{KL}} \right)_0 \sigma_{KL}, \quad (1.12)$$

dacă dezvoltarea se efectuează relativ la funcțiile

$$S(H_K, \sigma_{ij}, T), M_i(H_K, \sigma_{ij}, T), e_{ij}(H_K, \sigma_{lm}, T).$$

Coefficienții care apar în aceste relații se determină, într-o teorie fenomenologică, pe cale experimentală. Notațiile și semnificațiile uzuale [48,105] pentru acesti coeficienți sunt următoarele:

- componentele tensorului susceptibilității magnetice

$$\chi_{ik} = - \frac{1}{\mu_0} \left( \frac{\partial^2 G}{\partial H_i \partial H_k} \right)_0 = \left( \frac{\partial M_i}{\partial H_K} \right)_0, \quad (1.13)$$

- constantele elastice

$$\kappa_{ijkl} = - \left( \frac{\partial^2 G}{\partial \sigma_{ij} \partial \sigma_{kl}} \right)_0 = \left( \frac{\partial e_{ij}}{\partial \sigma_{kl}} \right)_0, \quad (1.14)$$

- coeficienții piromagnetic

$$q_i = - \left( \frac{\partial^2 G}{\partial H_i \partial T} \right)_0 = \left( \frac{\partial S}{\partial H_i} \right)_0 = \left( \frac{\partial M_i}{\partial T} \right)_0, \quad (1.15)$$

- coeficienții dilatării termice

$$\alpha_{ij} = - \left( \frac{\partial^2 G}{\partial \sigma_{ij} \partial T} \right)_o = \left( \frac{\partial S}{\partial \sigma_{ij}} \right)_o = \left( \frac{\partial e_{ij}}{\partial T} \right)_o \quad , \quad (1.16)$$

- modulele piezomagnetice

$$d_{ikl} = - \left( \frac{\partial^2 G}{\partial H_i \partial \sigma_{kl}} \right)_o = \mu_0 \left( \frac{\partial M_i}{\partial \sigma_{kl}} \right)_o = \left( \frac{\partial e_{kl}}{\partial H_i} \right)_o \quad , \quad (1.17)$$

- căldura specifică volumică

$$\frac{C}{T_o} = - \left( \frac{\partial^2 G}{\partial T^2} \right)_o \quad . \quad (1.18)$$

In cadrul relațiilor (1.15), (1.16), (1.17) s-a ținut cont de condiția de integrabilitate a diferențialei totale (1.5).

Cu notatiile (1.13) și (1.18) formele liniarizate ale legilor de material devin:

$$\Delta S = \frac{C}{T_o} \Delta T + g_k H_k + \alpha_{kl} \sigma_{kl} \quad , \quad (1.19)$$

$$\mu_0 M_i = g_i \Delta T + \mu_0 \chi_{ik} H_k + d_{ikl} \sigma_{kl} \quad , \quad (1.20)$$

$$e_{ij} = \alpha_{ij} \Delta T + d_{ijk} H_k + \lambda_{ijkl} \sigma_{kl} \quad . \quad (1.21)$$

aceste relații pun în evidență interacțiunile termice, magnetice și elastice dintr-un corp solid. In figura 1.1 sint reprezentate schematic aceste interacțiuni împreună cu coeficienții de material implicați. Prezența unui cimp magnetic modifică starea de magnetizare a corpului (legea magnetizației temporare), starea termică (efectul magnetocaloric) și starea de deformare elastică (efectul piezomagnetic sau magnetostrițion).

Prezența unui cimp de tensiuni elastice modifică starea de deformare elastică a corpului (legea lui Hooke), starea termică (efectul piezocaloric) și starea de magnetizare (efectul piezomagnetic direct sau efectul magnetoelastic).

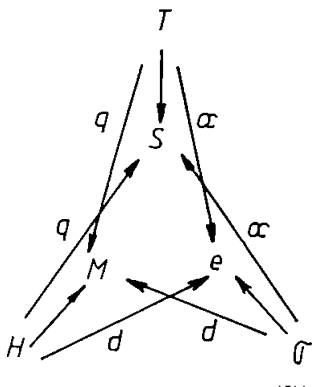


Fig. 1.1 Interacțiuni termomagnetoelastice într-un corp solid.

În baza relației (1.17), la materialele care sub acțiunea unui cimp magnetic își măresc dimensiunile (magnetostriție pozitiva) aplicarea unor eforturi de întindere are ca efect creșterea polarizației magnetice. La materialele care prezintă magnetostriție negativă, același efect de creștere a polarizației magnetice se obține prin aplicarea unor eforturi de comprimare.

Relația (1.17) care corelează efectul magnetostriictiv cu cel magnetoelastic se verifică experimental destul de bine atunci cînd procesul de magnetizare are loc preponderent prin rotații ale vectorului magnetizație spontană [3,13,118].

Mecanismul interacțiunilor magnetoelastice poate fi expusat cu ajutorul unui model microscopic simplu, propus de Néel [13,19]. Modelul postulează anumite proprietăți ale energiei de interacție a doi atomi vecini, fără să investigheze însă originea acestei energii.

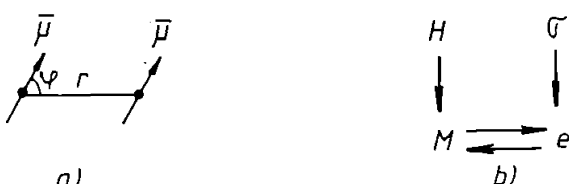


Fig. 1.2. a) Momentele magnetice a doi atomi vecini;  
b) Mecanismul interacțiunii magnetoelastice.

Cu notatiile din figura 1.2 a), expresia energiei de interacțiune a doi atomi vecini, după Neel, este

$$W = g_1(r) P_2(\cos\varphi) + g_2(r) P_4(\cos\varphi) + \dots \quad (1.22)$$

unde  $P_n$  sunt polinoame Legendre. Reținând doar primul termen din dezvoltare și explicind  $P_2$  se obține

$$W = \frac{3}{2} g_1(r) (\cos^2\varphi - \frac{1}{3}) \quad (1.23)$$

Considerind ca pe starea de referință starea nedeformată, pentru care  $r = R$  și  $\varphi = \phi$ , variația acestei energii la trecerea în starea deformată  $(r, \varphi)$  este

$$\Delta W = \frac{3}{2} \left[ (\cos^2\phi - \frac{1}{3}) f'(R) \Delta r + f(R) \Delta (\cos^2\varphi) \right] \quad (1.24)$$

exprimând variațiile  $\Delta r$  și  $\Delta(\cos^2\varphi)$  în funcție de deformațiile  $e_{ij}$  și de cosinușii directori  $\alpha_i$  ai momentelor magnetice, se obține, după însumarea pe toate perechile vecine din unitatea de volum, o expresie de forma  $e_{ij}(\alpha_k) e_{ij}$  reprezentând un termen al densității de energie liberă dependent de condițiile locale. Acest termen, numit "energie magnetoelastica", exprimă cuplajul dintre starea de deformare și starea de magnetizare a corpului. Orice modificare a uneia din aceste stări, datorita unor acțiuni exterioare, determină modificarea celeilalte stări. Schematic, acest mecanism este reprezentat în figura 1.2. b.

O suoclasificare a interacțiunilor magnetoelastice se poate face în funcție de tipul stării de deformare și de orientarea campului magnetic în raport cu corpul (efect Joule, Villari, Mattenci, Wiedemann, Procopiu, Barrett, Guillemin [78]).

,

### 1.1.3. Efectele $\Delta E$ și $\Delta X$

Din cele prezentate în paragraful precedent rezultă că într-un corp, sub unor forțe mecanice exterioare, pe lângă deformațiile elastice asociate acestor forțe apar, în prezența unui camp magnetic, deformații suplimentare, datorate modificării stării de magnetizare. Ca urmare coeficienții din legea lui Hecke,

care descrie legătura dintre tensiunile mecanice și deformațiiile specifice, se modifică în prezența cîmpului magnetic, datorită cuplajului magnetoelastic. Aceasta modificare este cunoscută în literatură sub denumirea de "efectul  $\Delta S$ " [8,11,19,28].

În mod analog într-un corp plasat într-un cîmp magnetic, pe lîngă magnetizația asociată acestui cîmp, apare o magnetizație suplimentară dacă corpul este supus acțiunii unor forțe mecanice. Datorită cuplajului magnetoelastic, coeficienții care apar în legea magnetizației temporare se modifică în prezența forțelor exterioare. Acest fapt îl vom numi "efect  $\Delta X$ ".

Vom stabili în continuare legătura dintre aceste efecte și coeficienții piezomagneticîi în ipoteza unei aproximări liniare și a unui proces reversibil izoterm.

Alegind drept variabile independente  $T$  și  $M$ , potențialul termodinamic asociat este

$$G' = U - TS - e_{ij} \tau_{ij}, \quad (1.25)$$

de unde rezultă

$$dG' = - e_{ij} d\tau_{ij} + \mu_0 H_K dM_K \rightarrow \quad (1.26)$$

$$e = e(T, M) \quad , \quad (1.27)$$

$$H = H(T, M) \quad , \quad (1.28)$$

rezolvînd relația (1.28) în serie Taylor în jurul stării de referință și reținînd numai termenii liniari, se obține

$$H_u = \left( \frac{\partial H_u}{\partial \sigma_{KL}} \right)_M \sigma_{KL} + \left( \frac{\partial H_u}{\partial M_v} \right)_T M_v \quad (1.29)$$

Inlocuind (1.29) în (1.12) se obține

$$\begin{aligned} e_{ij} &= \left( \frac{\partial e_{ij}}{\partial H_u} \right)_T \cdot \left[ \left( \frac{\partial H_u}{\partial \sigma_{KL}} \right)_M \sigma_{KL} \right] + \\ &+ \left( \frac{\partial e_{ij}}{\partial H_u} \right)_T \cdot \left[ \left( \frac{\partial H_u}{\partial M_v} \right)_T M_v \right] + \left( \frac{\partial e_{ij}}{\partial \sigma_{KL}} \right)_H \sigma_{KL}. \end{aligned} \quad (1.30)$$

Schimbind ordinea de însumare în primul termen, se obține

- 10 -

$$e_{ij} = \left[ \left( \frac{\partial e_{ij}}{\partial \sigma_{KL}} \right)_H + \left( \frac{\partial e_{ij}}{\partial H_u} \right)_\sigma \cdot \left( \frac{\partial H_u}{\partial \sigma_{KL}} \right)_M \right] \sigma_{KL} + \\ + \left( \frac{\partial e_{ij}}{\partial H_u} \cdot \frac{\partial H_u}{\partial M_v} \right)_\sigma M_v \quad (1.31)$$

Cu notăriile (1.14) și (1.17) din relația (1.51) se obține

$$(s_{ijkl})_M = (s_{ijkl})_H + d_{iju} \cdot \left( \frac{\partial H_u}{\partial \sigma_{KL}} \right)_M. \quad (1.32)$$

Tinând cont că

$$\left( \frac{\partial H_u}{\partial \sigma_{KL}} \right)_M = \left( \frac{\partial H_u}{\partial e_{mn}} \right)_M \cdot \left( \frac{\partial e_{mn}}{\partial \sigma_{KL}} \right)_M \quad (1.33)$$

și notând cu

$$a_{uij} = \left( \frac{\partial H_u}{\partial e_{ij}} \right)_M = \frac{1}{J^{10}} \left( \frac{\partial \sigma_{ij}}{\partial M_u} \right)_e, \quad (1.34)$$

constantele de cuplaj piezomagnetic [75] (a două egalitate rezultă din faptul că relația (1.1) este diferență totală), din (1.32) se obține

$$(s_{ijkl})_M = (s_{ijkl})_H + d_{iju} [a_{umn} (s_{mnkl})_M], \quad (1.35)$$

sau, după schimbarea ordinelor de însumare

$$(s_{ijkl})_H = (s_{ijkl})_M - (s_{mnkl})_M \cdot (d_{iju} \cdot a_{umn}). \quad (1.36)$$

Relația (1.36) pune în evidență modificarea constanțelor elastice datorită cuplajului magnetoelastич, descris prin coeficientii  $d$  și  $a$ .

Pentru a detalia aspectul reciproc, se aleg drept variabile independente mărimele  $e$  și  $H$ . Potențialul termodinamic asociat este

$$G'' = U - TS - \mu_0 M_k H_k , \quad (1.37)$$

a cărui variație, ținând cont de (1.1), este

$$dG'' = \sigma_{ij} de_{ij} - \mu_0 M_k dH_k , \quad (1.38)$$

din unde rezultă

$$\sigma'' = \sigma(e, H) , \quad (1.39)$$

$$M'' = M(e, H) . \quad (1.40)$$

După dezvoltarea relației (1.39) în serie Taylor și neglijarea termenilor de ordin superior se obține

$$\sigma_{ij} = \left( \frac{\partial \sigma_{ij}}{\partial e_{KL}} \right)_H e_{KL} + \left( \frac{\partial \sigma_{ij}}{\partial H_v} \right)_e H_v . \quad (1.41)$$

Inlocuind (1.41) în relația (1.11) rezultă

$$M_u = \left( \frac{\partial M_u}{\partial \sigma_{ij}} \right)_H \left[ \left( \frac{\partial \sigma_{ij}}{\partial e_{KL}} \right)_H e_{KL} \right] + \\ + \left( \frac{\partial M_u}{\partial \sigma_{ij}} \right)_H \left[ \left( \frac{\partial \sigma_{ij}}{\partial H_v} \right)_e H_v \right] + \left( \frac{\partial M_u}{\partial H_v} \right)_\sigma H_v . \quad (1.42)$$

Schimbând produsea de însumare în termenul al doilea se obține

$$M_u = \left[ \left( \frac{\partial M_u}{\partial H_v} \right)_\sigma H_v + \left( \frac{\partial \sigma_{ij}}{\partial H_v} \right)_e \cdot \left( \frac{\partial M_u}{\partial \sigma_{ij}} \right)_H \right] H_v +$$

$$+ \left( \frac{\partial M_u}{\partial \sigma_{ij}} \cdot \frac{\partial \sigma_{ij}}{\partial e_{KL}} \right)_H e_{KL} . \quad (1.43)$$

Cu notatiile (1.13) si (1.17), din relatiea (1.43) rezulta

$$(\chi_{uv})_e = (\chi_{uv})_\sigma + \frac{1}{\mu_0} d_{uij} \left( \frac{\partial \sigma_{ij}}{\partial H_v} \right)_e \quad (1.44)$$

Tinind cont de relatiea

$$\left( \frac{\partial \sigma_{ij}}{\partial H_v} \right)_e = \left( \frac{\partial \sigma_{ij}}{\partial M_\sigma} \right)_e \cdot \left( \frac{\partial M_\sigma}{\partial H_v} \right)_e \quad (1.45)$$

si de notatia (1.34), relatiea (1.44) devine

$$(\chi_{uv})_e = (\chi_{uv})_\sigma + d_{uij} [a_{ij\sigma} (\chi_{\sigma v})_e] . \quad (1.46)$$

Dupa schimbarea ordinii de insumare se obtine

$$(\chi_{uv})_\sigma = (\chi_{uv})_e - (\chi_{\sigma v})_e (d_{uij} a_{ij\sigma}) . \quad (1.47)$$

Relatiea (1.47) evidențiază modificarea susceptibilității magnetice datorată couplajului magnetoelastici, descrisă prin coeficienți  $d$  și  $a$ .

In cazul particular cînd corpul are forma unei benzi subțiri și înguste, iar cîmpul magnetic și solicitarea mecanică sunt dirijate după axa benzii, între cele două efecte există o relație simplă. In aceste condiții, din (1.36) și (1.47) rezultă, după axa longitudinală a benzii,

$$\lambda_H = (1 - a \cdot d) \lambda_M , \quad (1.48)$$

$$\chi_\sigma = (1 - a \cdot d) \chi_e , \quad (1.49)$$

de unde

$$\frac{\lambda_H}{\lambda_M} = \frac{\chi_\sigma}{\chi_e} \quad (1.50)$$

sau

$$\frac{E_M}{E_H} = \frac{\chi_\sigma}{\chi_e} \quad , \quad (1.51)$$

unde  $E = s^{-1}$  reprezintă modulul lui Young.

In literatura de specialitate [11,19] efectul  $\Delta$  este caracterizat prin expresia  $(s_M - s_H)/s_H$ . Putem, în mod analog, considera drept "efect  $\Delta\chi$ " expresia  $(\chi_\sigma - \chi_e)/\chi_e$ . Atunci din relația (1.51) se obține

$$\Delta E = \Delta \chi \quad (1.52)$$

### 1.2 Ecuațiile de echilibru ale magnetizației și deformării într-un corp feromagnetic solicitat mecanic în cadrul teoriei micromagnetice.

#### 1.2.1 Principiul extremal

Soluția unui sistem termodinamic este descrisă, conform principiilor termodinamicii, de relația [13]

$$dU \leq T dS + X_\alpha dx_\alpha \quad , \quad (1.53)$$

$x_\alpha$  fiind coordonatele generalizate iar  $X_\alpha$  forțele generalizate, de origine externă.

In cazul unui proces în care sistemul este în echilibru ( sau, cel puțin, oricără de aproape de echilibru ) în oarecare stare intermediară

$$dU = T dS + X_\alpha dx_\alpha \quad . \quad (1.54)$$

Energia internă  $U$  este funcție de  $x_\alpha$  și  $S$  și de alți parametrii interni care însă rămân în cursul variației considerate, sistemul fiind în echilibru.

Considerind  $x_\alpha$  și T drept variabile independente și definind energia liberă  $F = U - TS$ , din (1.54) rezultă

$$dF = X_\alpha dx_\alpha - SdT \quad (1.55)$$

Cu  $X_\alpha$  și T drept variabile independente și definind potențialul termodinamic  $G = F - X_\alpha x_\alpha$ , din (1.54) se obține

$$dG = -x_\alpha dX_\alpha - SdT. \quad (1.56)$$

Dacă se cunosc funcțiile  $U(x_\alpha, S)$ ,  $F(x_\alpha, T)$ ,  $G(X_\alpha, T)$ , atunci din relațiile (1.54) + (1.56) se pot obține legăturile dintre variabilele dependente și cele independente pentru un sistem în echilibru (ecuațiile de echilibru).

Pentru a studia stabilitatea echilibrului, ne vom referi la un proces natural, pentru care

$$dU < TdS + X_\alpha dx_\alpha. \quad (1.57)$$

Dacă în cursul procesului se mențin  $x_\alpha$  și S constante, atunci din (1.57) rezultă

$$dU < 0. \quad (1.58)$$

În aceste condiții, stare de echilibru stabil este aceea în care energia internă U este minimă.

Dacă se mențin constante  $x_\alpha$  și T, din (1.57) se obține

$$dF < 0, \quad (1.59)$$

deci echilibrul stabil are loc cind energia liberă F este minimă în raport cu parametrii de care depinde (inclusiv parametrii interni).

Dacă se mențin constante  $X_\alpha$  și T, relația (1.57) este echivalentă cu

$$dG < 0, \quad (1.60)$$

ceea ce implică minimul potențialului G.

Astfel, pentru fiecare set de condiții controlate, con-

diția de echilibru stabil implică minimul unui anumit potențial termodinamic ( și anume acelea ale cărui variabile independente din relațiile care descriu procesul reversibil sunt menținute constante atunci cînd se caută echilibrul ). Într-o formulare variatională, condiția de echilibru este anularea primăi variații a potențialului termodinamic corespunzător. Astfel pentru echilibru la  $x_\alpha$  și  $T$  date,  $\delta G = 0$ , sau

$$\delta F - X_\alpha \delta x_\alpha = 0 \quad , \quad (1.61)$$

Formal, aceasta este chiar relația (1.55), cu  $\delta F = 0$ . Diferența constă în aceea că în (1.55) variațiile sunt reale, cu sistemul în echilibru în fiecare moment, în timp ce în (1.61) apar variații virtuale față de starea de echilibru, inclusiv variații arbitrară ale parametrilor interni, care în relația (1.55) au fost complet determinați.

Dată găsirea echilibrului, testarea stabilității se face pentru cazul considerat mai sus, verificind condiția  $\delta^2 G = 0$ .

### 1.2.2. Lucrul elementar al forțelor externe asupra unui corp magnetizabil și deformabil

Considerind un corp de volum  $V$ , plasat în cimpul magnetic al unei bobine fixe și rigide parcursă de curentul  $I$  (figura 1.3). Asupra elementului de masă acionează forța  $\bar{f}_{dm}$  iar asupra elementului de suprafață forța  $\bar{T}_{dS}$ .

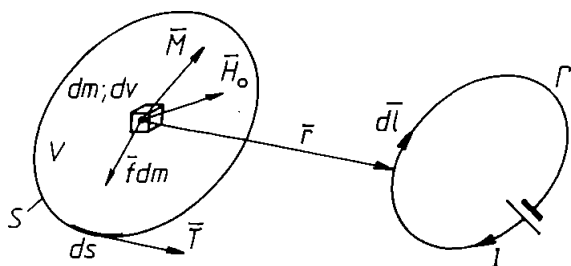


Figura 1.3 Corpul feromagnetic elastic plasat în cimpul magnetic al unei bobine și solicitat de forțe volumice și superficiale.

Vom calcula lucrul mecanic elementar la o mică variație a stării de magnetizare și de deformare a corpului în condițiile în care  $I$ ,  $\bar{f}$ ,  $\bar{T}$  se mențin constante în cursul acestei variații.

Lucrul mecanic efectuat de baterie în intervalul de timp dt datorită prezenței corpului este

$$\frac{dL_1}{dt} = - I u_e \quad , \quad (1.62)$$

$u_e$  fiind t.e.m. indușă datorită variației magnetizației corpului,

$$u_e = - \frac{d\phi_m}{dt} \quad . \quad (1.63)$$

Cu  $\phi_m$  s-a notat fluxul inducției  $\bar{B}_1$  a corpului magnetizat prin suprafața bobinei,

$$\phi_m = \oint_{S_R} \bar{B}_1 d\bar{s} = \oint_{\Gamma} \bar{A}_1 d\bar{l} \quad (1.64)$$

Tinând cont că potențialul magnetic vector al corpului magnetizat este [23]

$$\bar{A}_1 = \frac{\mu_0}{4\pi} \int_V \frac{\bar{M} \times \bar{r}}{r^3} dV \quad , \quad (1.65)$$

iar intensitatea cîmpului magnetic produs de curentul  $I$  este [112]

$$\bar{H}_0 = \frac{\mu_0}{4\pi} \oint_{\Gamma} \frac{d\bar{l} \times (-\bar{r})}{r^3} \quad , \quad (1.66)$$

se obține

$$\begin{aligned} \frac{dL_1}{dt} &= \frac{\mu_0 I}{4\pi} \oint_{\Gamma} d\bar{l} \int_V \frac{\frac{d\bar{M}}{dt} \times \bar{r}}{r^3} dV = \\ &= \frac{\mu_0 I}{4\pi} \int_V dV \oint_{\Gamma} \frac{d\bar{l} \times (-\bar{r})}{r^3} \frac{d\bar{M}}{dt} = \int_V \bar{H}_0 \frac{d\bar{M}}{dt} dV, \end{aligned} \quad (1.67)$$

sau

$$dL_1 = \int_V \bar{H}_0 d\bar{M} dv . \quad (1.68)$$

Lucrul forțelor  $\bar{f}$  și  $\bar{T}$  în intervalul de timp  $dt$  este

$$dL_2 = \int_V \bar{f}_i dx_i dv + \int_S T_i dx_i ds , \quad (1.69)$$

$dx_i$  fiind variația coordonatei  $i$  a centrului elementului de volum, respectiv de suprafață, iar  $f$  densitatea de masă.

Lucrul elementar total este deci

$$dL = \int_V \bar{H}_0 d\bar{M} dv + \int_V \bar{f}_i dx_i dv + \int_S T_i dx_i ds . \quad (1.70)$$

### 1.2.3. Ecuațiile de echilibru ale magnetizației și deformării.

Inlocuind în relația (1.57)  $X_\alpha dx_\alpha$  cu  $dL$  din relația (1.70) se obține

$$dU < TdS + \int_V \bar{H}_0 d\bar{M} dv + \int_V \bar{f}_i dx_i dv + \int_S T_i dx_i ds , \quad (1.71)$$

sau, la  $\bar{H}_0$ ,  $\bar{f}$ ,  $\bar{T}$ ,  $T$  constanți,  $dG < 0$ , unde

$$G = F - \int_V \bar{H}_0 \bar{M} dv - \int_V \bar{f}_i x_i dv - \int_S T_i x_i ds , \quad (1.72)$$

iar  $F = U - TS$  este energia liberă a corpului.

Condiția de echilibru stabil, în condițiile exterioare precizate anterior, este ca  $G$  să fie minim în raport cu parametrii interni,  $M_i$  și  $x_i$ . Pentru a putea explica acest principiu trebuie să avem o expresie pentru  $F$  în funcție de acești parametrii interni.

Considerind corpul ca un ansamblu de dipoli magnetici:

în  $F$  trebuie inclus un termen care exprimă energia magnetostatică a acestui ansamblu [28] :

$$W_m = - \frac{1}{2} \int_V \bar{H}_1 \bar{M} dV \quad (4.73)$$

La acest termen mai trebuie adăugată o energie liberă "locală" a cărei densitate măsică  $\bar{F}$  este o funcție numai de variabilele locale, astfel că

$$F = W_m + \int \bar{F} dm \quad (4.74)$$

Dacă  $X_A$  ( $A = 1, 2, 3$ ) sunt coordonatele unui punct material al corpului în stare nedeformată iar  $x_i$  ( $i = 1, 2, 3$ ) sunt coordonatele aceluiași punct în stare deformată, atunci funcțiile  $x_i(X_A)$  descriu deformarea corpului ca un întreg și derivatele parțiale ale acestor funcții,  $x_{i,A} = \frac{\partial x_i}{\partial X_A}$ , numite gradienții deformării, descriu local deformarea corpului [62].

Un corp feromagnetic solid examinat la o scară suficient de mică (dar încă mult mai mare decât rețeaua atomică – astfel că rămân valabile conceptele continuului) este caracterizat printr-o magnetizație  $\bar{M}$  a cărei mărime,  $|M| = M_s(T)$  – magnetizația spontană este, cu o bună aproximare, o funcție numai de temperatură; direcția ei poate varia cu poziția. Magnetizația spontană  $M_s$  este atribuită forțelor de schimb [118] care tend să alinieze spinii electronici vecini.

In cadrul teoriei domeniilor magnetice se postulează existența unor regiuni în care  $\bar{M}$  este uniform – domeniile Weiss – respectiv existența unor zone de tranziție, în care direcția lui  $\bar{M}$  variază sensibil – peretei domeniilor.

Teoria micromagnetică [14] renunță la postularea structurii de domenii, admitând doar că cosinușii direcțiori  $\alpha_i$  ai magnetizației sunt funcții de coordonatele punctului în care se calculează  $\bar{M}$ :

$$\bar{M} = M_s \cdot \bar{u}(\alpha_1, \alpha_2, \alpha_3),$$

$$\alpha_i = \alpha_i(\bar{r}), \quad i = 1, 2, 3.$$

In urma acestor consideratii, printre variabilele locale de care depinde  $\bar{F}$  trebuie inclusi cosinusii directori  $\alpha_i$  ai lui  $\bar{M}$  ( sau echivalent, componentele  $M_i$  ale acestuia) si gradientii deformatiei  $x_{i,A}$ .

Un model microscopic simplu al interacțiunii de schimb [13] conduce la ideea că pentru a ține cont de forțele de schimb, ca argumente în  $\bar{F}$  trebuie incluse derivatele

$$\alpha'_{i,A} = \frac{\partial \alpha_i}{\partial x_A} \text{ ale cosinusilor directori ai lui } \bar{M} \text{ ( sau echivalent } M'_{i,A} = \frac{\partial M_i}{\partial x_A}).$$

Intrucit in cursul deformării corpului se modifică volumul acestuia,  $|M|$  nu rămîne constant; constant rămîne momentul magnetic al unității de masă  $|M| = \frac{|M|}{\rho} = M_S$ .

In concluzie expresia potențialului care trebuie minimizat este

$$G = - \frac{1}{2} \int \rho \bar{H}_1 \bar{M} d\tau - \int \rho \bar{F}(M_i, x_{i,A}, M'_{i,A}) d\tau - \int \rho \bar{H}_0 \bar{M} d\tau - \int \rho f_i x_i d\tau - \int T_i x_i ds. \quad (1.75)$$

Pentru a găsi condițiile de echilibru, conform procedeului variational discutat în paragraful 1.2.1, se pune condiția ca prima variație a lui  $G$ ,  $\delta G$ , să se anuleze pentru variații virtuale  $\delta M_i$  și  $\delta x_i$ . Intrucit variabila  $M_i$  este supusă constringerii  $M_i \cdot M_i = M_S^2$ , cu ajutorul multiplicatorilor Lagrange  $\lambda_1(x_i)$  în V și  $\lambda_2(x_i)$  pe S, condiția impusă devine

$$\delta G = \int_V \lambda_1 M_i \delta M_i d\tau - \int_S \lambda_2 M_i \delta M_i ds = 0, \quad (1.76)$$

$G$  fiind cel din relația (1.75).

După transformarea integralelor din (1.76) astfel încit să nu conțină decât variațiile  $\delta M_i$  și  $\delta x_i$ , în urma egalării cu zero a coeficientului lui  $\delta M_i$  se obțin [13] ecuațiile de echilibru magnetic

$$\oint \frac{\partial F}{\partial M_i} - \left( \oint \frac{\partial F}{\partial M_{i,A}} \cdot x_{j,A} \right)_{,j} - g H_i - \lambda_1 M_i = 0, \text{ în } V, \quad (1.77)$$

$$\oint \frac{\partial F}{\partial M_{i,A}} \cdot x_{j,A} n_j - \lambda_2 M_i = 0, \text{ pe } S, \quad (1.78)$$

iar prin egalarea cu zero a coeficientului lui  $\delta x_i$  se obțin ecuațiile de echilibru mecanic

$$\left( \oint \frac{\partial F}{\partial x_{i,A}} \cdot x_{j,A} \right)_{,j} + \oint M_j H_{i,j} + \oint f_i = 0, \text{ în } V, \quad (1.79)$$

$$\oint \frac{\partial F}{\partial x_{i,A}} \cdot x_{j,A} n_j - \frac{1}{2} \mu_0 \oint M_n^2 n_i - T_i = 0, \text{ pe } S. \quad (1.80)$$

Rezolvarea acestor ecuații, împreună cu ecuațiile cimpului magnetic staționar

$$\operatorname{rot} \vec{H} = \vec{J} \quad , \quad (1.81)$$

$$\operatorname{div} \vec{H} = - \operatorname{div} \vec{M} \quad , \quad (1.82)$$

cu condițiile pe frontieră corpului asociate, determină distribuția spațială de echilibru a magnetizației și deformației elastice. După rezolvarea acestui sistem neliniar de ecuații trebuie testată stabilitatea soluției, arătând că  $\delta^2 G > 0$  pentru variații arbitrară  $\delta M_i$  și  $\delta x_i$ .

Pentru a putea efectua un astfel de calcul este necesar să introducем formulele explicite pentru densitatea de energie liberă internă  $\bar{F}$  în funcție de argumentele  $M_i$ ,  $x_{i,A}$ ,  $M_{i,A}$ .

Pentru unele situații particulare (de exemplu micro-particule monodomeniu) ecuațiile de echilibru pot fi rezolvate analitic. În alte situații este posibilă asocierea lor cu

metodele numerice de calcul ale cimpului magnetic ([34], [35], [32]).

#### 1.2.4. Formule explicite pentru densitățea de energie liberă locală F

Funcția  $F(M_i, x_{i,A}, M_{i,A})$  trebuie să satisfacă următoarea condiție de natură fizică: energia liberă  $Fdm$  a unui element de masă  $dm$  nu se modifică dacă elementul de masă suferă o rotație rigidă împreună cu momentele magnetice ale particulelor din acel element.

Conform unei teoreme de invariантă la rotația a lui Cauchy [13], această cerință este îndeplinită dacă în locul listei de argumente inițiale  $M_i, x_{i,A}, M_{i,A}$  se utilizează nouă listă de argumente  $x_{i,A} \cdot x_{i,B} \cdot M_{i,A} \cdot M_{i,B}$  ( $i=1,3$ ). Tinind cont că

$$x_{i,A} \cdot x_{i,B} = C_{AB} = \delta_{AB} + 2E_{AB}$$

( $C_{AB}$  fiind tensorul lui Green al deformațiilor,  $E_{AB}$  – tensorul deformațiilor finite iar  $\delta_{AB}$  – simbolul lui Kronecker [32]) și că expresia  $M_i x_{i,A}$  reprezintă, cu excepția unor factori de scară, componente ale lui  $\hat{M}_p$  față de un sistem de axe locale, legate de elementul de masă și care se rotesc oară cu acesta, se obține în final

$$F = F(\hat{M}_p, E_{AB}, M_{i,A} \cdot M_{i,B}). \quad (1.83)$$

Intru-cit argumentul  $M_{i,A} M_{i,B}$  descrie interacțiunea de schimb,  $F$  poate fi separată în doi termeni, primul corespunzând acestei interacțiuni și având ca argumente  $M_{i,A} M_{i,B}$  și  $E_{AB}$  iar al doilea având ca argumente numai  $\hat{M}_p$  și  $E_{AB}$ :

$$F = F_{ex} + f(\hat{M}_p, E_{AB}) \quad (1.84)$$

Desvoltind  $f$  în serie Taylor în deformații, se obține

$$f(\hat{M}_p, E_{AB}) = g(\hat{M}_p) + g_{AB}(\hat{M}_p) E_{AB} + \frac{1}{2} g_{ABCD}(\hat{M}_p) E_{AB} E_{CD} + \dots \quad (1.85)$$

In această dezvoltare termenul de ordinul zero în deformații este denumit "energie de anizotropie", cel de ordinul unu -"energie magnetooelastică", iar cel de ordinul doi -"energie elastică".

Pentru coeficienții  $g$  din această dezvoltare se admit de regulă funcții polinomiale în  $\hat{M}_P$  sau în cosinușii directori ai acestui vector.

In literatura de specialitate sunt date expresii analitice explicate pentru componentele densității energiei libere locale, stabilite pe baza uror principiile simetrie și invariante. In ceea ce urmează vor fi prezentate succint aceste relații.

a). Energia de schimb  $F_{ex}$

Pentru un corp deformabil [13]

$$F_{ex} = \frac{1}{2} \left( b_{AB} \alpha_i \alpha_j B + b_{ABCD} E_{AB} \alpha_i \alpha_c \alpha_j \alpha_D \right), \quad (1.86)$$

$b_{AB}$  și  $b_{ABCD}$  fiind constante de material. In cazul unui cristal cubic rigid, relația se reduce la

$$\bar{F}_{ex} = \frac{1}{2} C \left[ (\nabla \alpha_1)^2 + (\nabla \alpha_2)^2 + (\nabla \alpha_3)^2 \right], \quad (1.87)$$

C fiind o constantă de material iar  $\alpha_1, \alpha_2, \alpha_3$ , cosinușii directori ai magnetizației în raport cu axele cristalului.

b). Energia de anizotropie magnetică  $F_{an}$

Pentru un corp cu anizotropie uniaxială [19]

$$F_{an} = k_{u1} \sin^2 \varphi + k_{u2} \sin^4 \varphi + \dots, \quad (1.88)$$

unde  $\varphi$  este unghiul dintre  $\hat{M}$  și axa de ușoară magnetizare, iar  $k_{u1}, k_{u2}$  sunt constante de material.

Pentru un cristal cubic

$$\bar{F}_{an} = k_1 (\alpha_1^2 \alpha_2^2 + \alpha_2^2 \alpha_3^2 + \alpha_3^2 \alpha_1^2) + k_2 \alpha_1^2 \alpha_2^2 \alpha_3^2 + \dots, \quad (1.89)$$

$\alpha_1, \alpha_2, \alpha_3$  fiind cosinușii directori ai lui  $\vec{M}$  în raport cu axele cristalului.

În mod ușoar este suficient primul termen din relațiile (1.88), (1.89).

c) Energia elastică  $F_{el}$

Pentru un corp izotrop elastic, din teoria liniară a elasticității [63, 91],

$$F_{el} = \frac{1}{2} C_{11} (e_{xx}^2 + e_{yy}^2 + e_{zz}^2) + \frac{1}{2} C_{44} (e_{xy}^2 + e_{yz}^2 + e_{zx}^2) + C_{12} (e_{xx} e_{yy} + e_{yy} e_{zz} + e_{zz} e_{xx}) , \quad (1.90)$$

în care  $C_{11}, C_{12}, C_{44}$  sunt constantele elastice

( $C_{11} - C_{12} = 2C_{44}$ ), iar  $e_{ij}$  ( $i, j = x, y, z$ ) sunt componentele tensorului micilor deformații.

Expresia (1.90) poate fi scrisă și în alte forme dacă se folosesc relațiile [91]

$$C_{12} = \lambda = \frac{E \nu}{(1+\nu)(1-2\nu)} , \quad (1.91)$$

$$C_{44} = \mu = \frac{E}{2(1+\nu)} = \frac{C_{11} - C_{12}}{2} , \quad (1.92)$$

în care apar parametrii lui Lamé  $\lambda$  și  $\mu$ , modulul lui Young  $E$  și coeficientul lui Poisson  $\nu$ .

d) Energia magnetoelastică  $F_{me}$

Pornind de la energia de interacționare a unei perechi de atomi vecini (paragraful 1.1.2 - relația 1.23) se obține [19], pentru o rețea cubică deformată,

$$F_{me} = B_1 \left[ e_{xx} \left( \alpha_1^2 - \frac{1}{3} \right) + e_{yy} \left( \alpha_2^2 - \frac{1}{3} \right) + e_{zz} \left( \alpha_3^2 - \frac{1}{3} \right) \right] + \\ + B_2 (e_{xy} \alpha_1 \alpha_2 + e_{yz} \alpha_2 \alpha_3 + e_{zx} \alpha_3 \alpha_1), \quad (1.93)$$

$\alpha_1, \alpha_2, \alpha_3$  fiind cosinușii directori ai lui  $\bar{M}$ ,  $e_{ij}$  miciile deformații iar  $B_1, B_2$  constante de material, numite constante de cuplaj magnetoelastice.

Tinând cont de legea lui Hooke, relația (1.93) poate fi exprimată în funcție de tensiunile mecanice. Se obține o relație simplă dacă se aleg drept axe de coordonate direcțiile principale ale tensiunilor, adică acele direcții în raport cu care tensorul tensiunilor (și al deformațiilor – pentru un corp izotrop elastic) are o formă diagonală. După unele calcule simple și ținând cont de relația (1.92) se obține

$$F_{me} = \frac{B_1}{C_{11}-C_{12}} \left( -\frac{\sigma_1 + \sigma_2 + \sigma_3}{3} + \sigma_1 \alpha_1^2 + \sigma_2 \alpha_2^2 + \sigma_3 \alpha_3^2 \right), \quad (1.94)$$

în care  $\sigma_1, \sigma_2, \sigma_3$  sunt tensiunile principale iar  $\alpha_1, \alpha_2, \alpha_3$ , cosinușii directori ai lui  $\bar{M}$  în raport cu direcțiile principale.

Primul termen din relația (1.94) este independent de direcția lui  $\bar{M}$ , nejucând astfel nici un rol în ecuațiile de echilibru magnetic. În aceste ecuații se poate utiliza deci expresia

$$F_{me} = \frac{B_1}{C_{11}-C_{12}} (\sigma_1 \alpha_1^2 + \sigma_2 \alpha_2^2 + \sigma_3 \alpha_3^2). \quad (1.95)$$

În cazul unei stări plane de tensiune ( $\sigma_3 = 0$ ) și considerind  $\bar{M}$  conținut în acest plan ( $\alpha_1^2 + \alpha_2^2 = 1$ ), se obține

$$F_{me} = \frac{B_1}{C_{11}-C_{12}} (\sigma_1 - \sigma_2) \cos^2 \theta, \quad (1.96)$$

$\theta$  fiind unghiul dintre  $\bar{M}$  și prima direcție principală.

Pentru o stare uniaxială de tensiune relația devine

$$F_{me} = \frac{B_1}{C_{11} - C_{12}} \sigma_1 \cos^2 \theta . \quad (1.97)$$

Comparind relațiile (1.96) și (1.97) cu relația (1.88) se constată că atât starea uniaxială de tensiune cît și cea plană (atîta timp cît este valabilă ipoteza  $\alpha_3 = 0$ ) determină o anisotropie magnetică uniaxială - numită anizotropie magnetoelastica - caracterizată prin constanta de anizotropie

$$K_u^\sigma = - \frac{B_1}{C_{11} - C_{12}} \sigma_1 \quad (1.98)$$

pentru starea uniaxială, respectiv

$$K_u^\tau = - \frac{B_1}{C_{11} - C_{12}} (\sigma_1 - \sigma_2) \quad (1.99)$$

pentru starea plană de tensiune.

Axa de ușoară magnetizare coincide cu direcția esforțului principal  $\sigma_1$  dacă  $K_u^\sigma > 0$ .

### 1.3 Modelul analitic al couplajului magnetoelastic într-o bandă amorfă cu anizotropie transversală

Pentru a pune în evidență corelația dintre comportarea magnetoelastica a unui material și parametrii de material fundamentali, cu ajutorul principiului extremal descris în paragraful 1.2 se poate formula un model analitic simplu al interacțiunilor magnetoelastice dacă se admite o structură de domenii magnetice idealizată.

Modelul se va referi la clasa materialelor feromagnetică cu structură atomică amorfă, a căror proprietăți magnetice și magnetoelastice vor fi examineate mai detaliat în capitolul 2 ai lucrării. Aceste materiale se prezintă de regulă sub

forma unor benzi înguste, foarte subțiri ( $25 \pm 40 \mu\text{m}$ ), având o axă de ușoară magnetizare în lungul benzii, de natură magnetoelastică, datorită tensiunilor interne "înghețate" în cursul procesului de elaborare tehnologică, această anizotropie poate fi redusă considerabil prin tratamente termice de dilatационare.

Direcțele magnetooasele sunt maxime dacă axa de ușoară magnetizare și direcția cimpului magnetic formează un unghi de  $90^\circ$ . În plus, în acest caz procesele de magnetizare au loc preponderent prin rotații ale vectorilor  $\vec{M}$  [19]. Întru-cît este ușor să se realizeze un cimp magnetic în lungul benzii, este necesar, în acest caz, ca axa de ușoară magnetizare să fie după lățimea benzii. În astfel de axă se poate obține printr-un tratament termomagnetic în cimp transversal (vezi cap.2).

Banda care a fost supusă unui astfel de tratament prezintă o structură de domenii reprezentată idealizat în figura 1.4 a, cu o lățime a domeniilor având ordinul de mărime de  $100 \mu\text{m}$  [71].

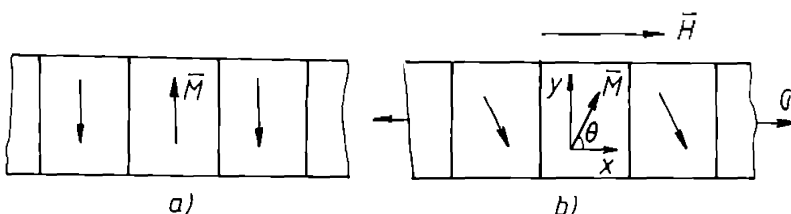


Figura 1.4 a) Structură de domenii pentru  $H=0$ ,  $G=0$ .  
b) Structura de domenii pentru  $H \neq 0$ ,  $G \neq 0$ .

Dacă ne referim la un domeniu Weiss, densitatea de volum a energiei libere este

$$F = W_m + F_{an} + F_{me} + F_{el}, \quad (1.100)$$

unde, în conformitate cu cele prezentate în paragraful 1.2.3. și 1.2.4.,

$$W_{\text{m}} = - \frac{1}{2} \mu_0 \bar{H}_0 \cdot \bar{M} , \quad (1.101)$$

$$F_{\text{an}} = K_u \sin^2(\frac{\pi}{2} - \theta) , \quad (1.102)$$

$$\begin{aligned} F_{\text{me}} &= B_1 [e_{xx} (\cos^2 \theta - \frac{1}{3}) + e_{yy} (\sin^2 \theta - \frac{1}{3}) - \frac{e_{zz}}{3}] + \\ &+ B_2 e_{xy} \sin \theta \cos \theta , \end{aligned} \quad (1.103)$$

$$\begin{aligned} F_{\text{el}} &= \frac{1}{2} C_{11} (e_{xx}^2 + e_{yy}^2 + e_{zz}^2) + \frac{1}{2} C_{44} (e_{xy}^2 + e_{yz}^2 + e_{zx}^2) + \\ &+ C_{12} (e_{xx} e_{yy} + e_{yy} e_{zz} + e_{zz} e_{xx}) . \end{aligned} \quad (1.104)$$

Presupunem, pentru început, că forțele exterioare aplicate benzii sunt nule iar intensitatea câmpului magnetic aplicat  $\bar{H}_0$  este menținută constantă. În aceste condiții starea de echilibru se obține din minimizarea potențialului termodynamic

$$G = F - \mu_0 \bar{H}_0 \cdot \bar{M} . \quad (1.105)$$

Ecuațiile de echilibru mecanic se obțin din

$$\delta G = \delta (F_{\text{me}} + F_{\text{el}}) = 0 , \quad (1.106)$$

pentru variații arbitrale  $\delta e_{ij}$  la  $\theta$  dat. Înlocuind (1.103) și (1.104) în (1.106) rezultă

$$C_{11} e_{xx} + C_{12} (e_{yy} + e_{zz}) + B_1 (\cos^2 \theta - \frac{1}{3}) = 0 , \quad (1.107)$$

$$C_{11} e_{yy} + C_{12} (e_{xx} + e_{zz}) + B_1 (\sin^2 \theta - \frac{1}{3}) = 0 , \quad (1.108)$$

$$C_{11} e_{zz} + C_{12} (e_{xx} + e_{yy}) - \frac{B_1}{3} = 0 , \quad (1.109)$$

$$C_{44} e_{xy} + B_2 \sin \theta \cos \theta = 0 , \quad (1.110)$$

$$C_{44} e_{yz} = 0 , \quad (1.111)$$

$$C_{44} e_{zx} = 0 , \quad (1.112)$$

Rezolvind acest sistem de ecuații se obține deformația specifică

$$e_{xx} = - \frac{B_1}{C_{11} - C_{12}} (\cos^2 \theta - \frac{1}{3}) , \quad (1.113)$$

$$e_{yy} = - \frac{B_1}{C_{11} - C_{12}} (\sin^2 \theta - \frac{1}{3}) , \quad (1.114)$$

$$e_{zz} = \frac{B_1}{2(C_{11} - C_{12})} , \quad (1.115)$$

$$e_{xy} = - \frac{B_2}{C_{44}} \sin \theta \cos \theta , \quad (1.116)$$

$$e_{yz} = 0 , \quad (1.117) ; \quad e_{zx} = 0 . \quad (1.118)$$

Un parametru de material accesibil măsurătorilor îl constituie alungirea relativă după direcția cimpului magnetic pentru corpul saturat magnetic ( $\theta = 0$ ). Parametrul se notează cu  $\lambda_s$  numindu-se magneteastricțiune de saturare. Din relația (1.113) rezultă

$$\lambda_s = - \frac{2}{3} \cdot \frac{B_1}{C_{11} - C_{12}} . \quad (1.119)$$

Relațiile (1.113) ÷ (1.118) descriu starea de deformare a benzii datorată exclusiv cimpului magnetic. Valoarea acestor deformații datând de starea de magnetizare a corpului prin unghiul  $\theta$  și implicit de  $H$ .

Considerăm acum situația în care  $H_0 = 0$  iar asupra corpului acționează forțe mecanice exterioare. Într-un simplu caz presupunem că banda este solicitată axial la întindere de o forță  $F$  după axa  $x$ . Starea de eforturi este uniaxială [113]:

$$\sigma_{xx} = \sigma = \frac{T}{S} , \quad (1.120)$$

$$\tilde{\epsilon}_{yy} = \tilde{\epsilon}_{xy} = 0 , \quad (1.121)$$

iar starea de deformare este plană:

$$\epsilon_{xx} = \frac{\sigma}{E_M} , \quad (1.122)$$

$$\epsilon_{yy} = \epsilon_{zz} = -\nu \frac{\sigma}{E_M} , \quad (1.123)$$

$$\epsilon_{xy} = \epsilon_{yz} = \epsilon_{zx} = 0 , \quad (1.124)$$

$E_M$  fiind modulul de elasticitate în starea nemagnetizată. În prezența și a cimpului magnetic, la aceste deformații se adună deformațiile magnetostriuctive (1.113) + (1.118), obținindu-se deformațiile totale

$$\epsilon_{xx} = \frac{\sigma}{E_M} + \frac{3}{2} \lambda_s (\cos^2 \theta - \frac{1}{3}) , \quad (1.125)$$

$$\epsilon_{yy} = -\nu \frac{\sigma}{E_M} + \frac{3}{2} \lambda_s (\sin^2 \theta - \frac{1}{3}) , \quad (1.126)$$

$$\epsilon_{zz} = -\nu \frac{\sigma}{E_M} - \frac{1}{2} \lambda_s , \quad (1.127)$$

$$\epsilon_{xy} = -\frac{B_2}{C_{44}} \sin \theta \cos \theta \quad > \quad (1.128)$$

$$\epsilon_{yz} = \epsilon_{zx} = 0 \quad (1.129)$$

La un material cu proprietăți magnetoelastice bune  $\lambda_s$  este de ordinul  $10^{-3}$  iar raportul  $\frac{\sigma}{E_M}$  la limita comportării elastice este de ordinul  $10^{-2}$ . Se observă că deformațiile magnetostriuctive sunt cu 2 + 3 ordini de mărime mai mici decât cele determinate de forțele aplicate. În aceste condiții cele două aspecte ale interacțiunilor magnetooelastice, efectul piezomagnetic direct respectiv invers, pot fi decuplate, în sensul că starea de deformare este determinată numai de forțele expli-

cate iar scarea de magnetizare, de această stare de deformare și de cimpul magnetic aplicat.

ecuația de echilibru magnetic se obține din

$$\delta G = \delta \left( -\mu_0 \bar{H}_0 \bar{M} - \frac{1}{2} \mu_0 \bar{H}_1 \cdot \bar{M} + F_{an} + F_{me} \right) = 0 , \quad (1.130)$$

Pentru variații arbitrale  $\delta \theta$  la  $e_{ij}$  date.

Variația primilor doi termeni din (1.130) se poate scrie

$$-\mu_0 \bar{H}_0 \delta \bar{M} - \frac{1}{2} \mu_0 \bar{H}_1 \delta \bar{M} - \frac{1}{2} \mu_0 \bar{M} \delta \bar{H}_1 , \quad (1.131)$$

$\bar{H}_0$  fiind cimpul curentilor iar  $\bar{H}_1$  cimpul propriu al corpului magnetizat. Folosind teorema de reciprocitate [14] :

$$\bar{H}_1 \delta \bar{M} = \bar{M} \delta \bar{H}_1 , \quad (1.132)$$

relația (1.131) devine

$$-\mu_0 \bar{H}_0 \delta \bar{M} - \mu_0 \bar{H}_1 \delta \bar{M} = -\mu_0 \bar{H} \delta \bar{M} , \quad (1.133)$$

$\bar{H}$  fiind cimpul total din corp.

Tinând cont că, în urma decupării,

$$e_{xx} = \frac{\sigma}{E_M} \quad > \quad e_{yy} = -\nu \frac{\sigma}{E_M} ,$$

$$e_{xy} = 0 ,$$

relația (1.130) conduce la ecuația

$$\mu_0 H M_S - 2 \left[ K_u + B_1 \frac{\sigma}{E_M} (1+\nu) \right] \cos \theta = 0 . \quad (1.134)$$

Folosind relațiile (1.92) și (1.119) se obține în final poziția

de echilibru a magnetizației

$$\cos \theta = \frac{\mu_0 M_s}{2K_u - 3\lambda_s \sigma} H . \quad (1.135)$$

Echilibrul este stabil dacă

$$2K_u - 3\lambda_s \sigma > 0 \quad (1.136)$$

și

$$2K_u - 3\lambda_s \sigma > \mu_0 M_s H \quad (1.137)$$

Pentru un material cu magnetostricție pozitivă ( $\lambda_s > 0$ ) supus unei eforturi de întindere ( $\sigma > 0$ ), condiția (1.136) devine

$$\sigma < \sigma_c , \quad (1.138)$$

unde

$$\sigma_c = \frac{2K_u}{3\lambda_s} \quad (1.139)$$

reprezintă efortul critic. Relația (1.137) poate fi scrisă în forma

$$H < H_A - H_\sigma = H_A \left(1 - \frac{\sigma}{\sigma_c}\right) , \quad (1.140)$$

în care notatiile

$$H_A = \frac{2K_u}{\mu_0 M_s} \quad (1.141)$$

$$H_\sigma = \frac{3\lambda_s \sigma}{\mu_0 M_s} = \frac{2 \cdot \frac{3}{2} \lambda_s \sigma}{\mu_0 M_s} = \frac{2 K_u \sigma}{\mu_0 M_s} \quad (1.142)$$

reprezintă cimpul de anizotropie inițial respectiv cimpul de anizotropie magnetoelastica.

Dacă  $\sigma > \sigma_c$  sau  $H > H_A - H_\sigma$  axa inițială de ușoară magnetizare se rotește rapid către axa benzii.

Pentru  $\sigma < \sigma_c$  și  $H < H_A \left(1 - \frac{\sigma}{\sigma_c}\right)$  magnetizația și susceptibilitatea magnetică după axa benzii sunt

$$M = M_s \cos \theta = \frac{M_s}{H_A(1 - \frac{\sigma}{\sigma_c})} H \quad , \quad (1.143)$$

$$\chi_\sigma = \left( \frac{\partial M}{\partial H} \right)_\sigma = \frac{M_s}{H_A(1 - \frac{\sigma}{\sigma_c})} \quad . \quad (1.144)$$

Curbele  $M - H$  pentru diferite sferturi, rezultate din acest model, sunt reprezentate în figura 1.5.

Alungirea relativă după axa benzii se obține înlocuind relația (1.135) în (1.125):

$$e = \frac{\sigma}{E_M} + \frac{3}{2} \lambda_s \left[ \frac{H^2}{H_A^2 (1 - \frac{\sigma}{\sigma_c})^2} - \frac{1}{3} \right] \quad (1.145)$$

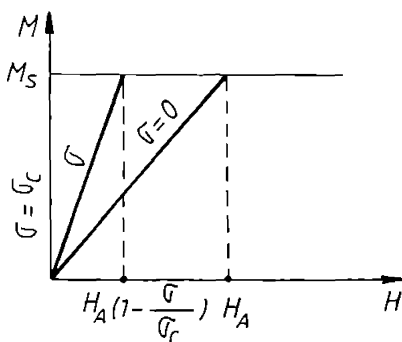


Figura 1.5 Curbele  $M - H$

Relațiile (1.143) și (1.145) reprezintă ecuațiile de echilibru, după axa benzii, alături magnetizației și deformației, la  $H$  și  $\sigma$  date, corespunzătoare modelului considerat. Pe baza acestor relații pot fi calculate o parte din mărimele definite în paragraful 1.2.

Modulul piezomagnetic  $d$  se obține din relația (1.143) sau din (1.144):

$$d = k_0 \left( \frac{\partial M}{\partial \sigma} \right)_H = \left( \frac{\partial e}{\partial H} \right)_\sigma = \frac{3 \lambda_s H}{H_A^2 (1 - \frac{\sigma}{\sigma_c})^2} \quad . \quad (1.146)$$

Modulul de elasticitate  $E_H$  se obține din rel (1.145):

$$E_H = \left( \frac{\partial e}{\partial \sigma} \right)_H = E_M^{-1} + \frac{g \lambda_s^2 H^2}{\mu_0 M_s H_A^3 (1 - \frac{\sigma}{\sigma_c})^3} . \quad (1.147)$$

Pentru efectul  $\Delta E$  se obține expresia

$$\frac{E_M - E_H}{E_H} = \frac{g \lambda_s^2 E_M H^2}{\mu_0 M_s H_A^3 (1 - \frac{\sigma}{\sigma_c})^3} . \quad (1.148)$$

Cu ajutorul relației (1.51) se obține

$$\chi_e^{-1} = E_M E_H^{-1} \chi_\sigma^{-1} = \frac{H_A (1 - \frac{\sigma}{\sigma_c})}{M_s} \left[ 1 + \frac{g \lambda_s^2 E_M H^2}{\mu_0 M_s H_A^3 (1 - \frac{\sigma}{\sigma_c})^3} \right] , \quad (1.149)$$

iar din relația (1.49)

$$\alpha = d^{-1} (1 - \chi_e \chi_\sigma^{-1}) = - \frac{3 \lambda_s E_M H}{\mu_0 M_s H_A (1 - \frac{\sigma}{\sigma_c})} . \quad (1.150)$$

Relațiile (1.146) și (1.148) permit evaluarea proprietăților magnetoelastice ale materialelor amorfă în scopul rezalzării unei traducțeare de forță.

Din analiza efectuată în cadrul acestui capitol se desprinde clar concluzia că valorile de echilibru ale magnetizației  $\bar{M}$  și a stării de deformare  $e_{ij}$  nu pot fi calculate analitic explicit cu anumite parametruii de material fundamentați de către în cazul unor modele supersimplificate. Deși în cadrul teoriei micromagnetice, prezentată în paragraful 1.2, există posibilitatea determinării lai  $\bar{M}$  și  $e_{ij}$  la  $\bar{h}$  și  $\sigma_{ij}$  date prin asocierea principiului extremal cu metodele numerice de calcul ale cîmpului magnetic, aplicarea acestei proceduri la materiale cu structură de domenii magnetice conduce la un volum de calcul prohibitiv. Calculul și proiectarea dispozitivelor magnetoelastice trebuie să se bazeze pe legile de material determinate experimental.

## C A P I T O L U L II

### PROPRIETATI MAGNETOELASTICE ALE METALELOR AMORFE. DETERMINARI EXPERIMENTALE.

#### 2.1. Comparatie intre materialele ferromagnetice amorf si cele cristaline.

Diferențele fundamentale dintre metalele amorf și cele cristaline sunt generate de faptul că structura atomică a metalelor amorf prezintă o ordonare locală, în genul sticlei, iar nu o ordonare la scară mare.

Absența anizotropiei magnetocristaline la scară macroscopică la materialele ferromagnetic amorf influențează în mod sensibil procesele de magnetizare, acestea fiind determinate în principal de anizotropia induată prin tratament termic în prezența cimpului magnetic, respectiv de anizotropia magnetooelastică.

Tehnologia cea mai răspândită de elaborare a materialelor ferromagnetic amorf se bazează pe răcirea rapidă a topiturii metalice [38, 43, 114]. Metoda constă în principiu în ejectionarea sub presiune, printr-un ajutaj oglibrat, a aliajului tepit conținut într-un creuzet, pe suprafața laterală a unui tambur cilindric din cupru, aflat într-o mișcare de rotație rapidă. Impactul jetului de topitură cu tamburul produce o răcire rapidă a acesteia (cca  $10^6$  °C/min.). În urma răcirii se obține o bandă foarte subțire, cu structură amorfă. Grosimea benzii (cca  $2\mu + 5\mu$ ) este limitată superior de posibilitatea de răcire rapidă. Benzile elaborate prin această tehnologie au lățimi cuprinse între 1 + 2 mm și 10 cm.

Deși destinate inițial unei aplicații pur mecanice, cercetări ulterioare au dovedit că aliajele amorf prezintă o

comportare de material feromagnetic meale [1e6]. Este cunoscut faptul că proprietățile magnetice sunt optime dacă materialul este emegești structural și izotrop magnetic [1e]. Neomogenitățiile structurale împiedică deplasarea porțiilor domeniilor magnetice iar anizotropiile împiedică, de regulă, rotațiile vectorilor magnetizație. Sursa principală a neomogenităților la un ferromagnetic cristalin e constituie structura și dimensiunile cristalelor, în timp ce la un feromagnetic amorf neomogenitățile se datorăză defectelor de suprafață și aglomerărilor de volume libere.

Principalele tipuri de anizotropii magnetice pe care le poate prezenta un feromagnetic au fost analizate în par. 1.2.4. iar ponderea acestora în procesul de magnetizare este apreciată prin valorile constantelor  $K_1$  - pentru anizotropia magnetocristalină,  $K_U$  - pentru anizotropia uniaxială induată, respectiv  $K_U^G$  - pentru anizotropia induată prin efect mecanic (anizotropie magnetooelastică). Ordinul de mărime al acestor constante rezultă din figura 2.1. [1e].

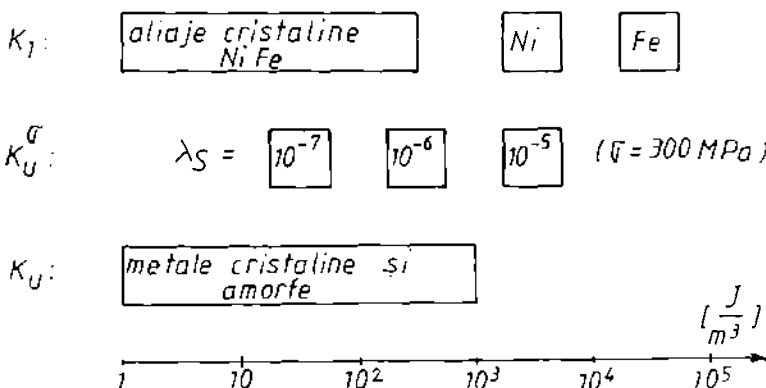


Figura 2.1. Ordinul de mărime al constantelor de anizotropie magnetică.

După cum se observă din această figură,  $K_1$  este dominant la materialele cristaline și ferite. În unele cazuri prin ali-

ere și tratament termic corespunzător  $K_1$  poate fi redus sensibil și la această grupă de materiale. La aliajele amorfice, ordonarea structurală atomică locală determină anularea constantei  $K_1$ , la scară macroscopică.

Constanta de anizotropie magnetoelastica  $K_U = \frac{2}{3} \lambda_S m$  poate fi redusă, atunci cind se urmărește obținerea unui metal amorf cu permeabilitate mare, alegind compoziția aliajului astfel încât să rezulte  $\lambda_S$  mic, respectiv prin tratamente termice adecvate, care să reducă tensiunile interne "înghețate" în cursul solidificării rapide. Aliajele amorfice cu compoziția Co - (Fe, Ni)- metaloid, bogate în Co, au o comportare magnetostrictivă slabă ( $\lambda_S \sim 10^{-7}$ ), prezintând astfel și o anizotropie magnetoelastica redusă.

Structura atomică și ordonare locală a aliajelor amorfice poate fi ușor modificată prin tratament termic. Dacă acest tratament se efectuează în prezența unui cimp magnetic sau a unui efort mecanic aplicat, anizotropiile magnetice locale, inițial aleator orientate, tind să se alinieze după o direcție determinată de direcția cîmpului magnetic sau a efortului, rezultând o anizotropie magnetică la scară macroscopică – anizotropia inducă, descrisă prin constantă  $K_U$ . Anizotropiile inducă oferă posibilitatea de a "proiecta" forma ciclului de histerezis corespunzător unei aplicații derivate. Spre exemplu un ciclu de histerezis dreptunghiular se obține prin tratament termic în cimp magnetic dirijat în lungul benzii, iar un ciclu cu o porțiune liniară extinsă se obține dacă cîmpul este după lățimea benzii.

Datorită structurii lor metastabile, aliajele amorfice par să fie mai expuse fenomenelor de îmbătrînire decît feromagneticii cristalini, prin pierderea în timp a structurii amorfice. Cercetările efectuate [20, 31, 32] au arătat că printr-o alegeră judicioasă a compoziției aliajului și a tratamentului termomagnetic pot fi elaborate materiale a căror proprietăți magnetice nu se degradează inaceptabil pe o durată de  $10 \div 15$  ani.

Principaliii parametrii fizici ai unor grupe reprezentative de materiale amorfice și cristaline sunt sintetizați în tabelul 2.1. Dacă alegem drept criterii de comparație pentru aliajele amorfice magnetizația de saturatie  $M_S$  și magnetostric-

țiunea de saturatie  $\lambda_S$ , se observă din acest tabel că aliajele bogate în Fe au  $M_S$  și  $\lambda_S$  mari în timp ce aliajele bazate pe Co și  $M_S$  și  $\lambda_S$  mici. Se remarcă rezistivitatea de cca 2-3 ori mai mare a metalelor amorfă în comparație cu a celor cristaline. Pierderile în fier, la unele tipuri de aliaje amorfă, sunt de cca 3 ori mai mici decât la tabla FeSi obișnuită, ceea ce deschide perspectiva aliajelor amorfă în construcția transformatorelor de ferță [53, 119]. Aplicațiile în acest domeniu sunt frinse de dificultăți de realizare a miezului feromagnetic datorită în principal grosimii reduse a benzilor amorfă.

Tabelul 2.1

Nr. crt.	aliaje amorfă	$\mu_c M_c$	$H_C$	$\lambda_S$	$\beta \cdot 10^8$	$T_C$	$I_{c,4} T_{e,2T}$	$P_{Fe}$ W/Kg mW/cm <sup>2</sup>
		[T]	[A/m]	[ppm]	[nm]	°C	60Hz 20KHz	
0	1	2	3	4	5	6	7	8
1.	Fe <sub>81</sub> B <sub>13,5</sub> Si <sub>3,5</sub> C <sub>2</sub> (Metglas 2605SC)	1,61	3,2	30	130	370	0,30	500
2.	Fe <sub>78</sub> B <sub>15</sub> Si <sub>9</sub> (Metglas 2605S-2)	1,56	2,4	27	130	415	0,23	-
3.	Fe <sub>67</sub> Co <sub>18</sub> B <sub>14</sub> Si <sub>1</sub> (Metglas 2605Co)	1,80	4,0	35	130	415	0,55	-
4.	Fe <sub>79</sub> B <sub>16</sub> Si <sub>5</sub>	1,58	8,0	27	125	405	1,20	58
5.	Fe <sub>80</sub> B <sub>20</sub> (Metglas 2605)	1,50	18,0	27	130	382	-	-
6.	Fe <sub>77</sub> B <sub>16</sub> Si <sub>5</sub> Cr <sub>2</sub> (Metglas 2605S3A)	1,41	4,8	20	130	358	-	-
7.	Fe <sub>40</sub> Ni <sub>38</sub> Mo <sub>4</sub> B <sub>13</sub>	0,88	1,2	12	160	353	-	200
8.	Co <sub>67</sub> Ni <sub>3</sub> Mo <sub>2</sub> B <sub>12</sub> Si <sub>12</sub>	0,72	0,4	0,5	135	340	-	43
Aliaje cristaline								
1.	FeSi	1,97	24	9	50	730	0,93	-
2.	50%Ni-Fe	1,60	8	25	45	480	0,70	3000
3.	80%Ni-Fe	0,82	0,4	1	60	400	-	100

Rezistivitatea mare a aliajelor amorfice și grosimea redusă le recomandă pentru aplicații la frecvențe ridicate în electronica de putere [53].

În ceea ce privește comportarea magnetoelastică, în tabelul 2.2 se prezintă o comparație între aliajele amorfice pe bază de Fe și două grupe reprezentative de materiale cristaline.

Tabelul 2.2 Comparație între principalele grupe de materiale magnetoelastice.

	Aliaje cristaline FeNi (50-80% Ni) 7	Aliaje cristaline FeSi (2-4% Si) 7	Aliaje amorfice pe bază de Fe
1.Sensibilitatea mag- netoelastică	mare	mică	mare
2.Limita de elasticici- tate	mică	mare	mare
3.Sensibilitatea la eforturi mecanice parazite	mare	mică	mare
4.Adincimea de pătrun- dere a cîmpului e- lectromagnetic	mică	medie	mare
5.Înfectul tratamentu- lui	puternic	slab	puternic
6.Prelucrabilitatea mecanică	dificilă	simplă	dificilă
7.Reproductibilitatea proprietăților mag- netoelastice	dificil de realizat	bună	bună
8.Prețul de cest	ridicat	redus	mediu, în reducere

aliajele cristaline din grupa FeNi, avind anizotropie magnetocrystalină și tensiuni interne reduse, au o mare sensi-

bilitate magnetoelastica. Din acest motiv sunt insă sensibile și la mici tensiuni mecanice parazite, care apar de exemplu prin mici deformări plastice în urma unei suprasarcini. Reproductibilitatea proprietăților magnetoelastice poate fi realizată numai printr-un tratament termic atent condus. Rezistența electrică relativ redusă a acestei aliaje, conducând la o adâncime de pătrundere redusă, este un alt dezavantaj. Variația relativă a permeabilității cu efortul (efectul de măsură) este mare ( $\frac{\Delta \mu}{\mu} \sim 40\%$ ) și se stinge la tensiuni mecanice relativ reduse ( $50 \pm 80$  MPa), cărora le corespund deformării specifice reduse ( $2 \cdot 10^{-4} \pm 4 \cdot 10^{-4}$ ), conducând astfel la traducțoare foarte rigide.

Aliajele cristaline din grupa FeSi sunt caracterizate printr-o anizotropie magnetcristalină mare, având astfel o sensibilitate magnetoelastica redusă. Corelat cu aceasta se reduce influența tensiunilor mecanice parazite. Efectul de măsură este mai redus decât la aliajele FeNi și devine util la eforturi mai mari ( $100 \pm 200$  MPa), ceea ce conduce la traducțoare cu corp activ mic.

Aliajele amorfice au proprietăți magnetoelastice comparabile cu ale aliajelor din grupa FeNi. Astfel absența anizotropiei magnetcristaline determină o sensibilitate magnetoelastica ridicată, cu toate avantajele și dezavantajele pe care acest fapt le implică. Materialele amorfice au însă proprietăți elastice superioare față de ambele grupe de materiale analizate. Spre exemplu aliajul amorf METGLAS 2605 A are limita elastică la un efort de 2600 MPa și o alungire relativă de  $2 \cdot 10^{-2}$  adică de 4 ± 5 ori mai mari decât la aliajul FeSi (cu 3% Si).

## 2.2. Efectul eforturilor uniaxiale de întindere asupra curbei de magnetizare la aliajul amorf ( $Fe_{0,12}Co_{0,85}Si_{75}B_{10}$ )

Modificarea formei curbei de magnetizare pentru un material feromagnetic supus unor eforturi mecanice furnizează informații relevante privind comportarea magnetoelastică a acestui material.

Referindu-ne la o stare uniaxială de eforturi, după direcția benzii, densitatea de energie magnetooelastică determinată de aceste eforturi are ceea cea relație (1.57) și (1.119) expresia

$$F_{me} = - \frac{3}{2} \lambda_s \sigma \cos^2 \theta , \quad (2.1)$$

θ fiind unghiul dintre magnetizație și direcția efortului mecanic. Dacă  $\lambda_s \sigma > 0$ ,  $F_{me}$  este minimă pentru  $\theta = 0$ . Prin urmare pentru un material cu magnetostriție pozitivă ( $\lambda_s > 0$ ) un efort de întindere ( $\sigma > 0$ ) inducă o axă de ușoară magnetizare în lungul benzii. Ciclul de histerezis în acest caz trebuie să devină rectangular. Dacă  $\lambda_s \sigma < 0$ ,  $F_{me}$  este minimă dacă  $\theta = \frac{\pi}{2}$ . Astfel la un material cu magnetostriție negativă ( $\lambda_s < 0$ ), un efort de întindere induce o axă de ușoară magnetizare după lățimea benzii. În această situație ciclul de histerezis se înclină către axa H.

Pentru a determina experimental modificările curbei de magnetizare datorită efortului s-au înregistrat ciclurile de histerezis pentru benzi amorfă având compoziția:

(Fe<sub>0,15</sub>Cu<sub>0,85</sub>)<sub>75</sub>Si<sub>15</sub>B<sub>10</sub> și dimensiunea: 14mmx0,65mmx40μm, susținute la diferite eforturi de întindere.

### 2.2.1. Instalația folosită pentru ridicarea ciclului de histerezis.

Pentru înregistrarea ciclului de histerezis s-a folosit instalația reprezentată schematic în figura 2.2,a, tip fluxmetru integrator [21] completată cu un dispozitiv simplu pentru tensiunarea benzii.

Sonda amorfă BA este introdusă în cîmpul magnetic produs de bobina BO ( $N_1 = 2000$  spire,  $l_1 = 40$  cm), alimentată cu o tensiune liniar variabilă, de foarte joasă frecvență ( $f = 0,2$  Hz) produsă de generatorul GTT și amplificată de amplificatorul A. Bobina sondă BS este legată în opozitie cu bobina de compensare BCO, identică cu axul bobinei BO.

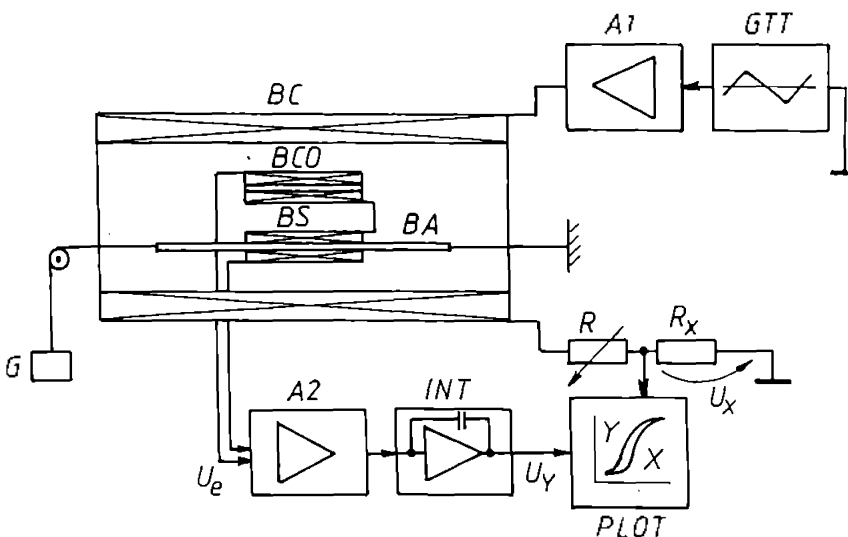


Figura 2.2. Schema fluxometrului integrator.

BA - banda amorfă; BC - bobina de cîmp; BS - bobina sondă; BCO - bobina de compensare;  $A_1, A_2$  - amplificatoare; GTT - generator de tensiune triunghiulară; INT - integrator activ; PLOT - ploter X, Y; G - greutăți de încărcare.

Tensiunea inducă

$$U_e = N_2 \left( \frac{d\phi_{BS}}{dt} - \frac{d\phi_{BCO}}{dt} \right) \quad (2.2)$$

care apare în circuitul serie al bobinelor BS și BCO, are, ținând cont că

$$\phi_{BS} = \mu_0 S_p (M + H) + \mu_0 (S - S_p) H \quad , \quad (2.3)$$

$$\phi_{BCO} = \mu_0 SH \quad , \quad (2.4)$$

expresia finală

$$U_e = \mu_0 N_2 S_p \frac{dM}{dt} \quad , \quad (2.5)$$

în care  $S_p$  este aria secțiunii transversale a probei,  $M$  este componenta longitudinală a magnetizației, iar  $N_2$  este numărul de spire al bobinei sondă ( $N_2 = 20.000$ ). După amplificare și integrare, la intrarea  $Y$  a ploterului este aplicat semnalul  $U_y \sim \mu_0 M(t)$ . La intarea  $X$  a ploterului este aplicat un semnal proporțional cu curentul din bobina de cimp  $BC$ , deci cu intensitatea cimpului magnetic din bobină,  $U_x \sim H(t)$ . În acest mod cursorul ploterului înregistrează ciclul de histerezis

$$\mu_0 M = H.$$

Sistemul de bobine este orientat pe direcția est - vest pentru a reduce influența cimpului magnetic terestru (având în vedere valoarea redusă a cimpului coercitiv  $H_c$  la aliajele amorfă).

Tensiomarea mecanică a benzilor a fost realizată cu ajutorul unor greutăți etalonate prin intermediul unui fir flexibil și al unui scripete.

Din vîrfurile ciclurilor de histerezis pentru diferite valori ale lui  $H_{max}$  s-au construit curbele  $\mu_0 M(H)$ .

#### 2.2.2. Efectul efortului de întindere asupra curbei de magnetizare la o bandă amorfă nefratază termică.

Folosind instalația descrisă s-au ridicat curbele  $\mu_0 M$  funcție de  $H$  pentru o probă amorfă cu compozitia menționată, nefratază termică, supusă la diferite eforturi de întindere. Referirile la această probă le vom face prin codul Bl - NTT.

Curbele  $\mu_0 M - H$  pentru această probă sunt reprezentate în figura 2.3.

Magnetizația de saturatie a acestei probe, măsurată la  $H = 2600$  A/m este  $\mu_0 M_S = 0,76T$ .

În figura 2.4 sunt prezentate ciclurile de histerezis  $\mu_0 M - H$  în absență efortului aplicat respectiv la un efort  $\sigma = 146$  MPa.

Efortul mecanic influențează în special cotul curbei de magnetizare, unde procesele de magnetizare au loc preponderent prin rotații ale vectorilor magnetizație.

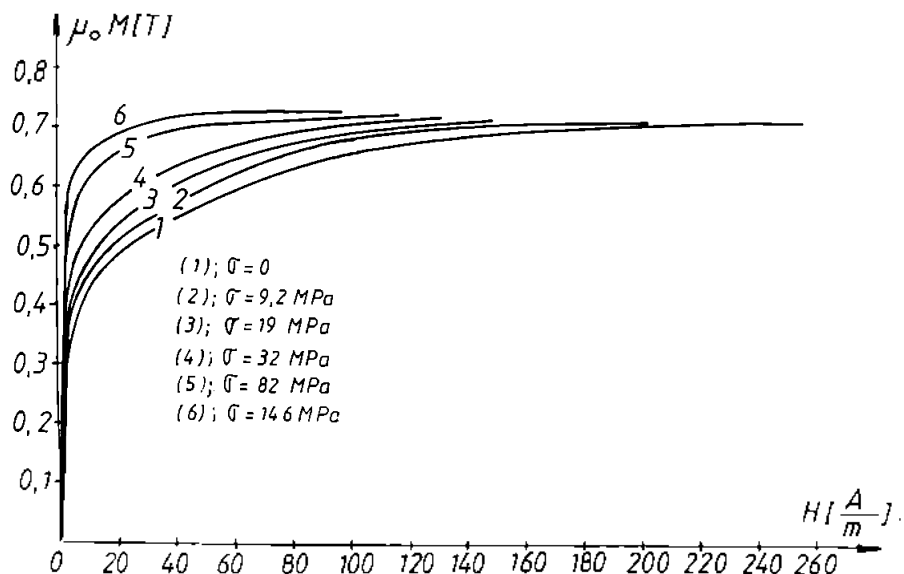
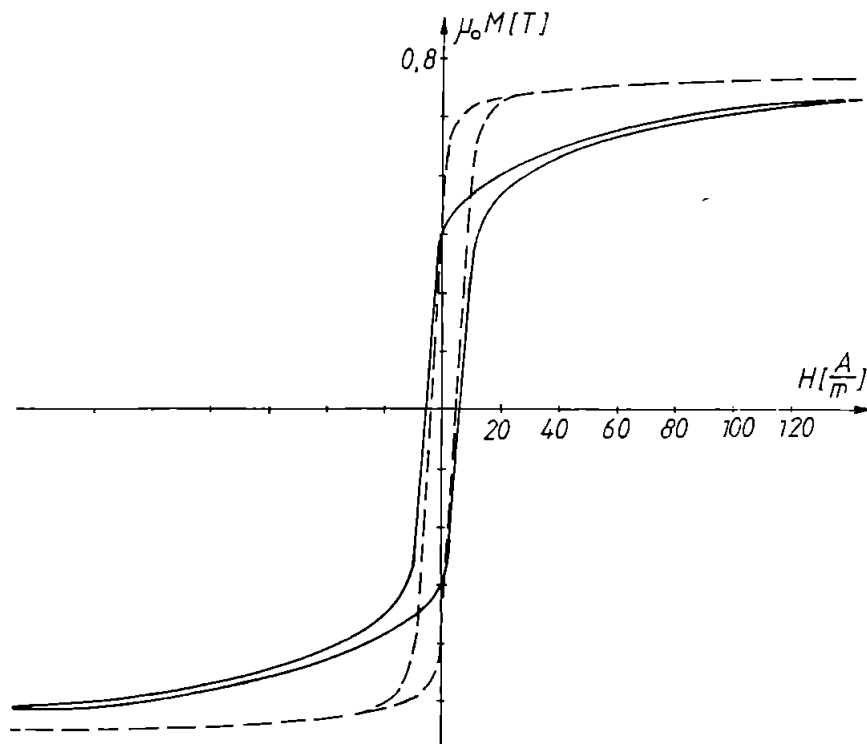


Figura 2.3. Curbele  $\mu_0 M$  funcție de  $H$  pentru banda amorfă  $B_1$  - NTT.



Comportarea aliajului studiat corespunde unei magnetostricțiuni de saturație pozitive.

Forma curbei corespunzătoare efortului aplicat  $\sigma = 0$  diferă destul de sensibil de forma ideală, pe care ar trebui să o prezinte un material izotrop sau cu o axă de ușoară magnetizare în lungul benzii. Acest fapt sugerează prezența unor anizotropii locale, de origine preponderent magnetoelastică, datorită tensiunilor mecanice interne introduse în cursul procesului de fabricație.

Structura de domenii, observată prin efectul Kerr, la o probă ne tratată termic, pune în evidență două regiuni, de fracțiuni volumice  $v_1^0$  și  $v_2^0$  în care este aproximativ paralel  $\bar{M}$  cu axa longitudinală a benzii respectiv perpendicular pe această axă [117]. Considerind că această structură este încunșă de tensiunile interne "înghețate" prin răcirea rapidă, atunci pentru un material cu  $\lambda_S > 0$  în regiunile  $v_1^0$  sunt prezente eforturi de comprimare. Preocupând că aceste eforturi sunt direjate în lungul benzii și că sunt repartizate după o distribuție Gauss, se poate stabili un model teoretic [117, 161, 45] care să permită evaluarea valorii mediei a eforturilor interne.

Datorită efortului de întindere aplicat benzii, regiunile  $v_1^0$  devin tot mai reduse ca urmare a rotațiilor vectorilor  $\bar{M}$  din aceste zone către axa longitudinală a benzii. Pe măsură ce efortul aplicat crește, compensând eforturile de comprimare interne responsabile de anizotropia transversală, ciclul de histerezis tinde către forma ideală.

Variatia susceptibilității magnetice  $\chi_m$  cu efortul aplicat și cu intensitatea cimpului magnetic este prezentată în figura 2.5.

Aprecierea comportării magnetoelastice a materialului se face calculând variația relativă a susceptibilității magnetice în prezența respectiv absența efortului mecanic aplicat:

$$\gamma = \frac{(\chi_m)_\sigma - (\chi_m)_{\sigma=0}}{(\chi_m)_{\sigma=0}} \quad (2.6)$$

Dependența  $\gamma = \gamma(\sigma)$  se numește caracteristică statică magnetoelastica [44]. Cu ajutorul acestei caracteristici

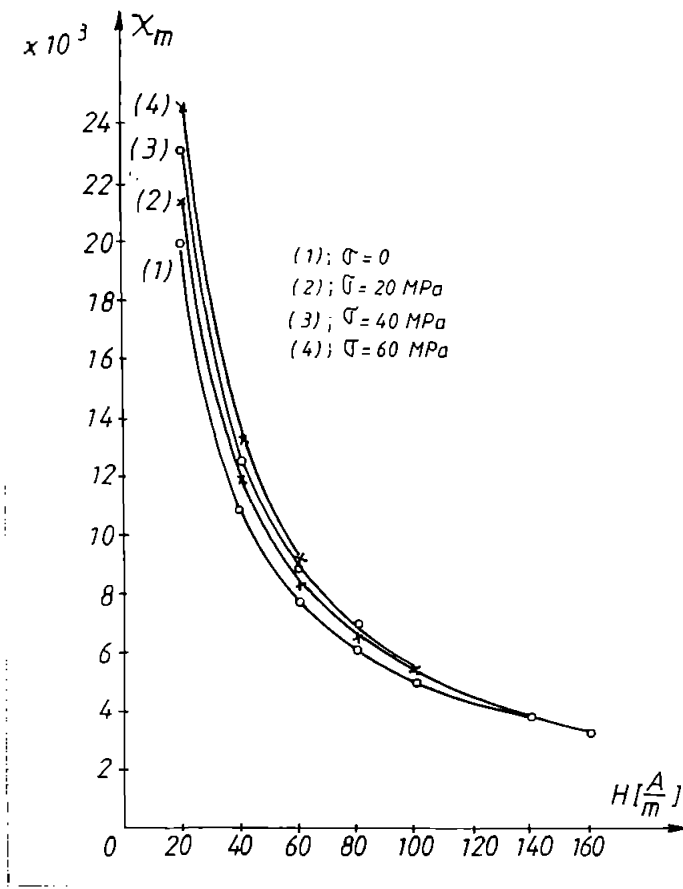


Figura 2.5. Susceptibilitatea magnetică pentru proba amorfă Bl - NTT.

se calculează sensibilitatea magnetoelastica statică:

$$S_{me} = \frac{\gamma}{\sigma} \Big|_{H=ct} ; \quad (2.7)$$

respectiv dinamică

$$S_d = \left( \frac{\partial \gamma}{\partial \sigma} \right)_{H=ct} \quad (2.8)$$

Caracteristicile  $\gamma = \gamma(\sigma)$  și  $S = S(\sigma)$  pentru baza amorfă netratată termică sunt reprezentate în fig. 2.6 respectiv 2.7

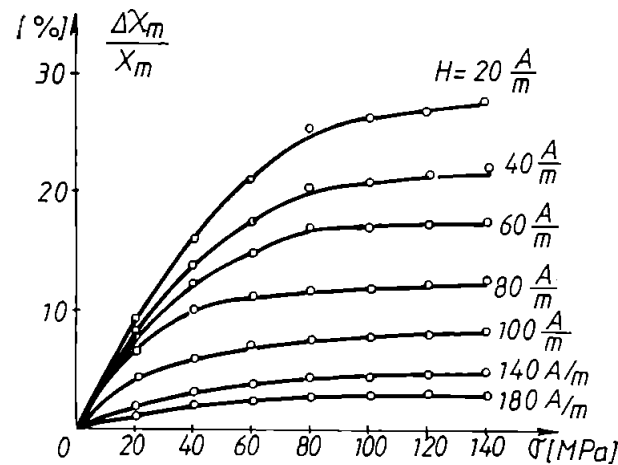


Figura 2.6. Caracteristicile statice magnetoelastice pentru proba Bl - NTF.

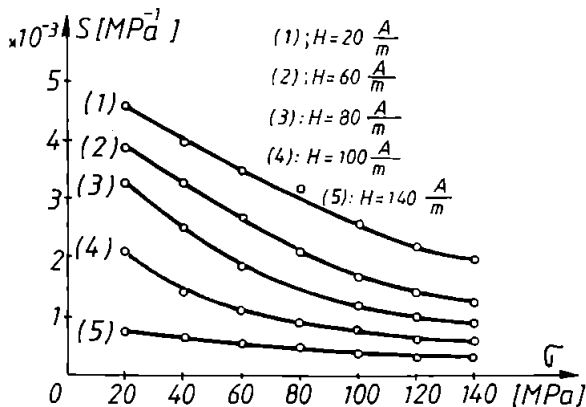


Figura 2.7. Sensibilitatea magnetoelastica statica pentru proba Bl - NTF.

**2.2.3. Determinări experimentale pentru aliajul amorf pe bază de Co tratat termic în cimp magnetic transversal față de axa benzii.**

Sensibilitatea magnetoelastica a benzii amorfă se mărește dacă banda prezintă o axă de ușoară magnetizare după lățimea benzii [19].

Această anizotropie transversală poate fi induată printr-un tratament termic în cimp magnetic transversal. Efectul cel mai pronunțat se obține la aliajele amorfă slab magnetostrictive, aici cele bazute pe Co [90, 120].

Spre deosebire de benzile avind axa de ușoară magnetizare în lungul benzii, la care procesele de magnetizare sunt dominate de deplasări de pereti în cazul benzilor cu anizotropie transversală predomină procesele de rotație. Această modificare în ponderea celor două tipuri fundamentale de procese de magnetizare determină, pe lângă diferența în sensibilitatea magnetoelastica de la menționată, o comportare diferită cu frecvența a permeabilității inițiale. Astfel, pentru primul caz, se obține o permeabilitate relativ mare la frecvența joasă, care însă scade rapid cu creșterea frecvenței. În cazul al doilea, permeabilitatea inițială este relativ redusă, dar este independentă de frecvență [99].

a) Instalația pentru efectuarea tratamentului termic în cimp magnetic transversal.

Instalația constă dintr-un cuptor C (figura 2.8) plasat înrea polii unui electromagnet de tip Weiss. Cupterul este format dintr-un tub de quart de diametru interior 4mm și lungime 200mm, pe care este infășurată bifilar rezistență de inoxalziru. Izolația termică a cupotorului este realizată printr-un manșon de sticla. Cuptorul este alimentat în c.a. de la un autotransformator ATR - 8, curentul necesar fiind  $4 \pm 6$  A. Controlul temperaturilor în interiorul cupotorului se realizează printr-un termocuplu Fe - Pt conectat la un voltmetru numeric de tip V541.

Electromagnetul Weiss, având 3200 spire, este alimentat

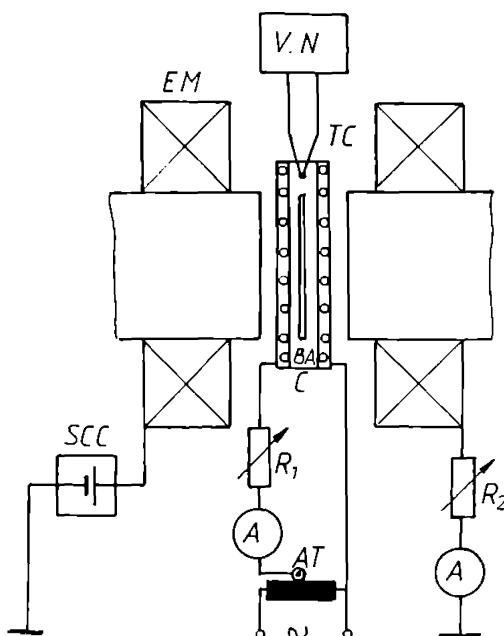


Figura 2.8. Schema instalației pentru efectuarea tratamentului termomagnetic în cîmp transversal; C - coper cu element rezistiv; EM - electromagnet Weiss; BA - banda amorfă; TC - termocuplu; VN - voltmetru numeric; SCC - sursă de c.c.; AT - autotransformator.

tat în c.c. de la sursa SCC. La un curent de 4A și o deschidere a polilor de 2mm corespunde un cîmp de 700KA/m, în aer. Este necesar un cîmp puternic pentru că în probă magnetizată transversal, datorită lățimii reduse și a permeabilității ridicate, cîmpul demagnetizant atinge valori mari.

Pentru alegerea temperaturii de tratament termic  $T_a$  trebuie cunoscute temperatura Curie  $T_c$  și temperatura de cristalizare  $T_x$ . Aceasta din urmă reprezintă temperatura la care starea amorfă se transformă, în urma încălzirii, în stare cristalină. La majoritatea aliajelor amorfe  $T_x > T_c$ . În această situație se alege  $T_c < T_a < T_x$ .

La aliajul studiat  $T_c$  s-a determinat fixind proba

amorfă, în cuptorul plasat în poziție verticală, cu ajutorul unui magnet permanent și măsurind temperatura la care are loc desprinderea probei de magnet.

Temperatura de cristalizare  $T_x$  s-a determinat înregistrând variația rezistenței probei, prin metoda celor patru conțacțe, cunoscând faptul că apariția stării cristaline este însotită de o scădere a rezistivității.

Valorile medii obținute pentru aliajul considerat sunt:

$$T_c = 325^\circ\text{C},$$

$$T_x = 410^\circ\text{C}.$$

b) Rezultate experimentale.

O bandă amorfă cu compoziția și dimensiunile identice cu ale benzii B1 - NTT (par. 2.2.2.) a fost încălzită pînă la  $T_a = 320^\circ\text{C}$ , menținută timp de 10 minute la această temperatură într-un cîmp transversal  $H_1 = 390 \text{ KA/m}$  apoi încălzită la  $T_a = 350^\circ\text{C}$ , menținută timp de 40 minute la această temperatură la un cîmp  $H_1 = 700 \text{ KA/m}$  și răcită în prezența cîmpului magnetic. Timpul de răcire a fost 20 minute.

Proba care a fost supusă acestui tratament termomagnetic va fi denumită B2 - TM.

Cu ajutorul instalației descrise în paragraful 2.3.1. s-au ridicat ciclurile de histerezis pentru proba B2 - TM pentru diferite eforturi aplicate. În figura 2.9. este reprezentată modificarea ciclului de histerezis sub acțiunea efortului aplicat, iar în figura 2.10. curbele  $\mu_0 M - H$ .

Magnetizația de saturare a crescut la valoarea  $\mu_0 M_S \approx 0,81 \text{ T}$  (măsurată la  $H = 2600 \text{ A/m}$ ).

Constanta de anizotropie indușă prin tratamentul termomagnetic, obținută prin planimetrarea ariei de deasupra curbei  $\mu_0 M - H$  corespunzătoare lui  $G=0$  [19], are valoarea  $K_u = 52 \text{ J/m}^3$ .

Forma curbei  $\mu_0 M - H$  pentru  $G=0$  relevă transformarea axei benzii într-o axă de dificilă magnetizare, ca urmare a anizotropiei transversale induse prin tratamentul termomagnetic. Procesele de magnetizare preponderente fiind cele de

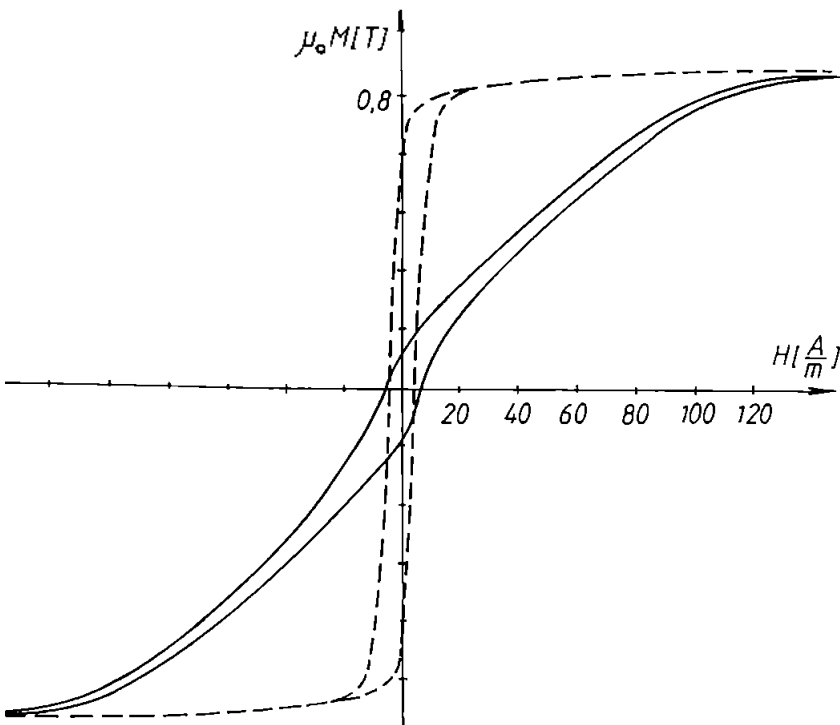


Figura 2.9. Ciclurile  $\mu_0 M - H$  pentru banda B2 - TTM  
—  $\sigma = 0$ ; - - -  $\sigma = 50 \text{ MPa}$ .

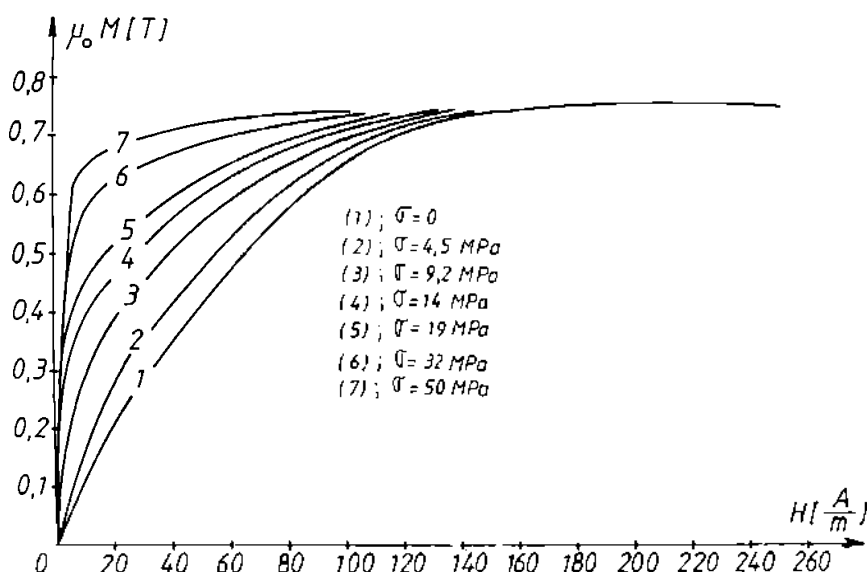


Figura 2.10. Curbele  $\mu_0 M - H$  pentru banda B2 - TTM,  
la diferite eforturi de întindere.

rotații ale magnetizației, comportarea materialului poate fi descrisă, cu limitările respective, de către modelul prezentat în paragraful 1.3. Efortul de întindere, prin cuplajul magnetoelastice, induce o axă de ușoară magnetizare care compensează treptat anizotropia inițială.

Caracteristicile statice magnetoelastice (figura 2.11) evidențiază un efect de măsură mai pronunțat decit la banda B1 - NTT și o sensibilitate magnetoelastica mai mare (figura 2.12) îndeosebi la cîmpuri și eforturi mici.

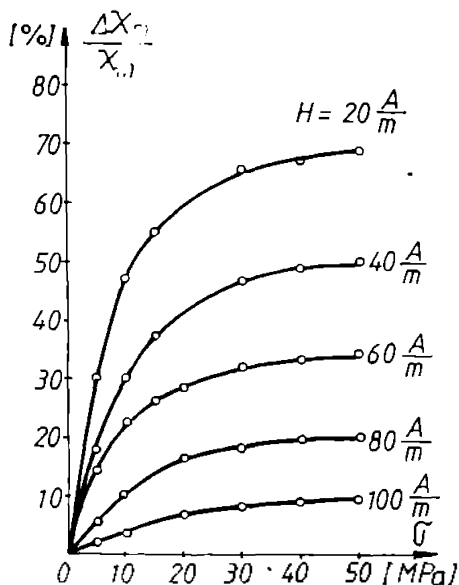


Figura 2.11. Caracteristicile statice magnetoelastice ale probei B2 - FTM.

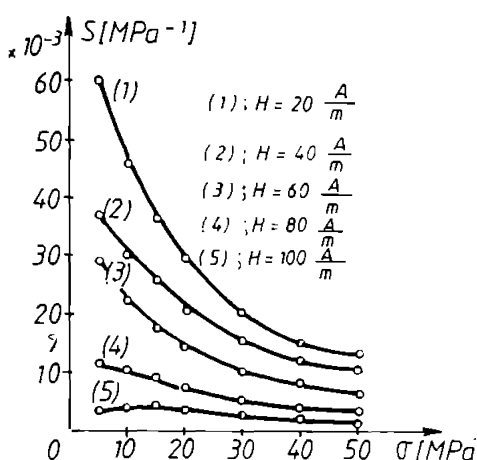


Figura 2.12. Sensibilitatea magnetoelastica a probei B2 - FTM.

In urma tratamentului termomagnetic benzile amorfice devin casante. Efectul se datorează prezenței cîmpului magnetic și nu are încă o explicație satisfăcătoare.

O bandă amorfă, avînd compoziția și dimensiunile identice cu B1 - NTT a fost supusă la un tratament termomagnetic diferit întrucîtva de cel aplicat benzii B2 - FTM. Astfel, proba a fost încălzită la  $300^{\circ}\text{C}$ , menținută la această tempera-

tură 60 minute, apoi încălzită la  $350^{\circ}\text{C}$  și menținută la această temperatură timp de 15 minute, în prezența unui cimp magnetic transversal  $H_1 = 700\text{ A/m}$ . Răcirea a durat 40 minute, tot în prezența cîmpului magnetic. Banda astfel tratată este notată  $B_3 - \text{TTM}$ . Față de tratamentul termic aplicat benzii  $B_2 - \text{TTM}$ , la banda  $B_3 - \text{TTM}$  timpul de menținere în cimp magnetic la  $T > 300^{\circ}\text{C}$  este mult mai redus (15 minute la  $B_3 - \text{TTM}$ ) față de 50 minute la  $B_2 - \text{TTM}$ ). După cum se observă din ciclul de histerezis (figura 2.13) și din curbele  $\mu_0 M - H$  (figura 2.14.) anizotropia transversală indușă prin acest tratament este mai mare decât la banda  $B_2 - \text{TTM}$ .

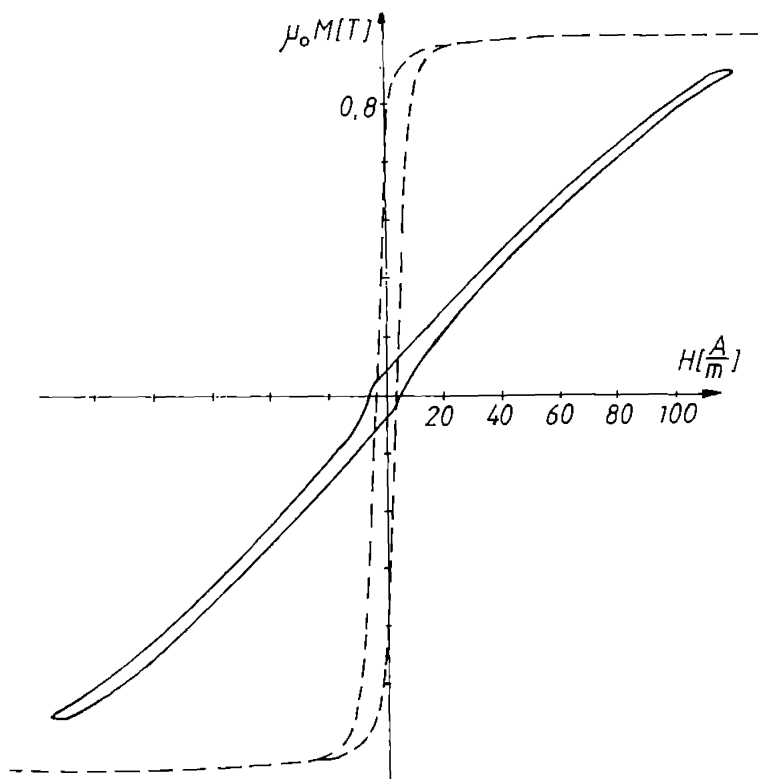


Figura 2.13. Ciclul de histerezis  $\mu_0 M - H$  la proba  $B_3 - \text{TTM}$ .  
—  $G = 0$ ; - - -  $G = 146 \text{ MPa}$ .

Din planimetrierea ariei de deasupra curbei  $\mu_0 M - H$  la  $G = 0$  se obține  $K_u = 64 \text{ J/m}^3$ . Acest tratament termomagnetic

netic, în care se efectuează mai întâi un tratament termic obisnuit de detensionare iar apoi tratamentul termomagnetic propriu-zis, de durată relativ scurtă, este mai eficace decât cel precedent, în care proba era supusă direct tratamentului termomagnetic.

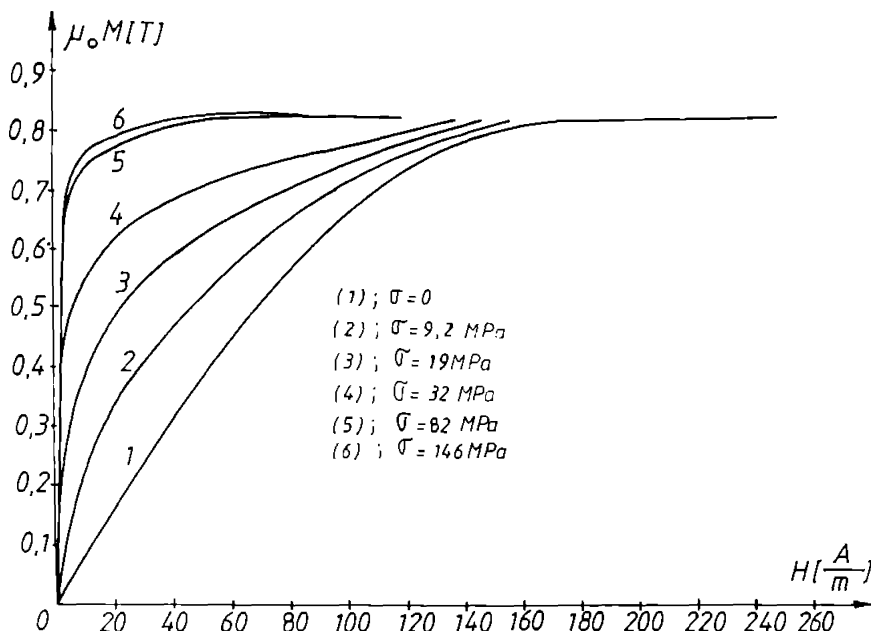


Figura 2.14. Curbele  $\mu_0 M - H$  pentru proba amorfă B3 - TFM.

Această concluzie este întărิตă și de faptul că magnetizarea de saturare a crescut la valoarea  $\mu_0 M_s = 0,88 \text{ T}$  (la  $H = 2600 \text{ A/m}$ ) față de  $0,81 \text{ T}$  cît era la proba B2 - TFM, cît și de faptul că efectul de măsură (figura 2.15) și sensibilitatea magnetoelastica (figura 2.16) sunt mai pronunțate la această bandă.

De asemenea s-a constatat experimental că benzile tratate în acest mod sunt mai puțin casante.

În figura 2.17 este reprezentată susceptibilitatea magnetică a benzii pentru diferite eforturi.

Cu excepția situației  $\sigma = 0$ , susceptibilitatea este o funcție pronunțat neliniară de  $H$ , ceea ce constituie o aba-

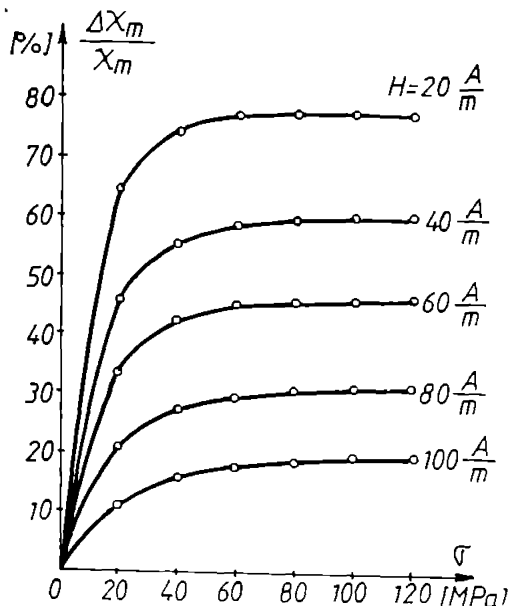


Figura 2.15. Caracteristicile magnetoelastice la proba B3 - TFM.

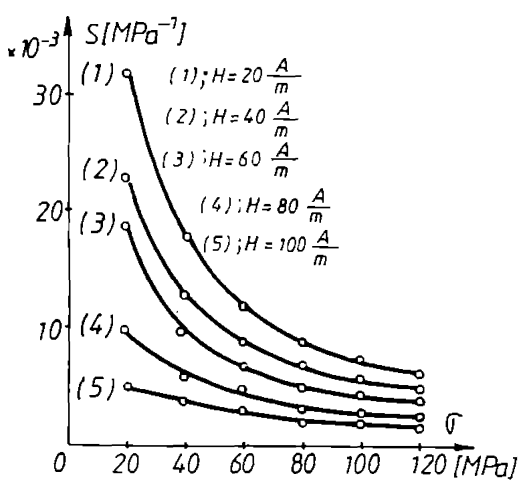


Figura 2.16. Sensibilitatea magnetoelastica la proba B3 - TFM.

tere semnificativă față de comportarea descrisă de modelul prezentat în paragraful 1.3.

La toate cele trei probe analizate, caracteristicile statice prezintă "saturație magnetoelastică". acest fenomen

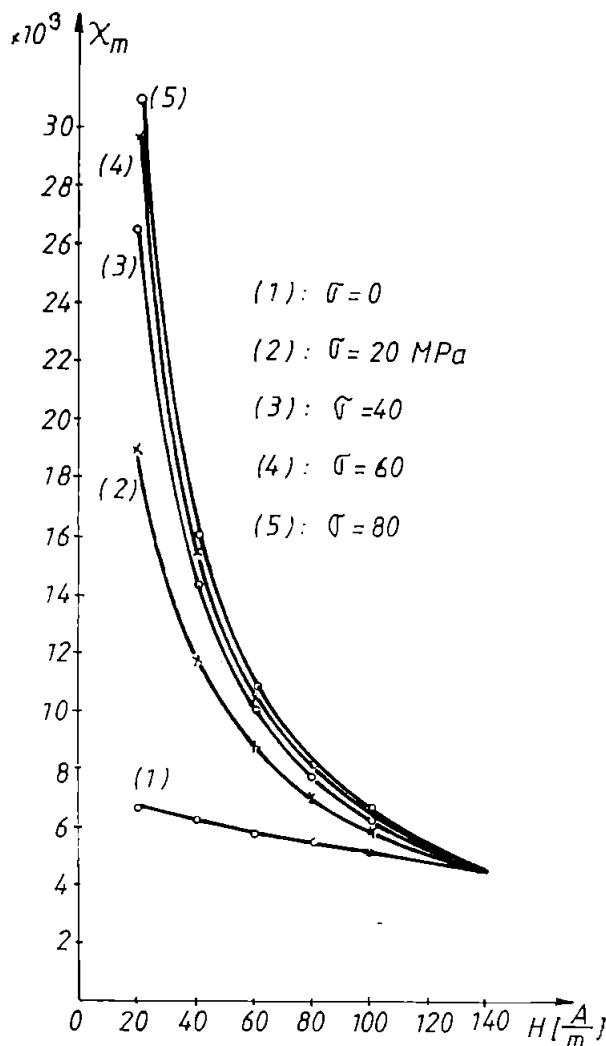


Figura 2.17. Susceptibilitatea magnetică la proba B3 - IIM pentru diferite eforturi de întindere.

apare la banda netratată termic atunci cînd anizotropia longitudinală  $\frac{3}{2}\lambda_s\sigma$ , indusă de efortul aplicat compensează anizotropia transversală  $\frac{3}{2}\lambda_s\overline{\sigma}_c$  indusă de eforturile interne de compresiune, plus o anizotropie  $K_0$  de altă origine decit cuplajul magnetoelastic.

La benzile cu anizotropie transversală indușă prin tratament termomagnetic, saturarea magnetoelastica apare atunci când anizotropia longitudinală  $\frac{3}{2}\lambda_s\Gamma$  indușă de efortul aplicat compensă anizotropia indușă prin tratament,  $\lambda_0$ , în care se adaugă anizotropia  $K_0$  de alte origini decât cele amintite. În urma tratamentului de detensionare, anizotropia  $\frac{3}{2}\lambda_s\Gamma_c$  indușă de eforturile interne de comprimare, are valori neglijabile. Pe baza acestor considerații, se poate estimă valoarea magnetostriictionii de saturatie la benzile analizate ca fiind  $\lambda_s \sim 10^{-6}$ . Din rezultatele prezentate se observă că deși s-a studiat un aliaj slab magnetostriactiv, efectul eforturilor mecanice asupra proprietăților magnetice este foarte mare.

### 2.3. Determinarea experimentală a magnetostriictionii de saturatie la benzile amorfă.

Magnetostriictionea de saturatie  $\lambda_s$ , adică alungirea relativă după direcția magnetizației a unui corp saturat magnetic, face parte, împreună cu magnetizația de saturatie  $H_s$  și temperatura Curie -  $T_c$  - din parametrii de material fundamentali ai unui material feromagnetic. La aliajele amorfă, la care absența anizotropiei magnetocristaline conferă anizotropiei magnetoelastice  $\frac{3}{2}\lambda_s\Gamma$  un rol deosebit în procesele de magnetizare, magnetostriictionea de saturatie este o mărime de primă importanță, a cărei cunoaștere este imperioză necesară pentru evaluarea proprietăților magnetoelastice.

Metodele de măsurare a magnetostriictionii de saturatie la benzile amorfă pot fi grupate în două categorii:

1<sup>o</sup>. Metode bazate pe măsurarea alungirii relative a probei saturate.

2<sup>o</sup>. Metode bazate pe determinarea anizotropiei magnetoelastice induse de un efort aplicat.

Prima grupă de metode utilizează pentru măsurarea alungirii traductorii rezistivi (timbre tensometrice minitoră [110]), capacitive [24, 56, 116] sau optici [42, 61, 92]. Aceste metode sunt folosite, din motive de sensibilitate, la materiale cu  $\lambda_s$  mare ( $\lambda_s \sim 10^{-5}$ ).

Magnetostrițiunea de saturație la materialele slab magnetostriuctive se determină de obicei pe baza dependenței liniare a anizotropiei magnetoelastice  $K_u^{\sigma}$  de efortul aplicat  $\sigma$ :

$$K_u^{\sigma} = \frac{3}{2} \lambda_s \sigma . \quad (2.9)$$

Cu presupunerea că magnetostrițiunea este izotropă, ceea ce este rezonabil pentru aliajele amorfă, prin măsurarea modificării densității de energie a anizotropiei datorită efortului, se poate calcula, cu relația (2.9), valoarea lui  $\lambda_s$ :

$$\lambda_s = \frac{2}{3} \frac{K_u^{\sigma}}{\sigma} = \mu_0 M_s \frac{H\sigma}{3\sigma} \quad (2.10)$$

în care

$H\sigma = \frac{2 K_u^{\sigma}}{\mu_0 M_s}$  este cimpul de anizotropie magnetoelastica (vezi relația 1.142.).

Constanta de anizotropie magnetoelastica  $K_u^{\sigma}$  se calculează făcind diferența constantelor de anizotropie magnetică corespunzătoare stării nesolicită respectiv solicitată.

$$K_u^{\sigma} = \left| (K_u)_{\sigma \neq 0} - (K_u)_{\sigma=0} \right| , \quad (2.11)$$

$K_u$  determinându-se prin calculul ariei:

$$K_u = \mu_0 \int_0^{M_s} H dM \quad (2.12)$$

delimitate de aria  $\mu_0 M - H$  în cele două stări. Metoda este aplicată frecvent la materialele cu  $\lambda_s < 0$ , [45,54,117,120] și mai rar la cele cu  $\lambda_s > 0$ , [45].

Pentru benzile amorfă studiate în paragraful 2.2, rezultatele obținute pentru  $\lambda_s$  prin această metodă sunt reprezentate în figura 2.18.

Dependența magnetostrițiunii de saturare de efortul aplicat  $\sigma$  este un fenomen specific materialelor amorfă slab magnetostriuctive [102, 103].

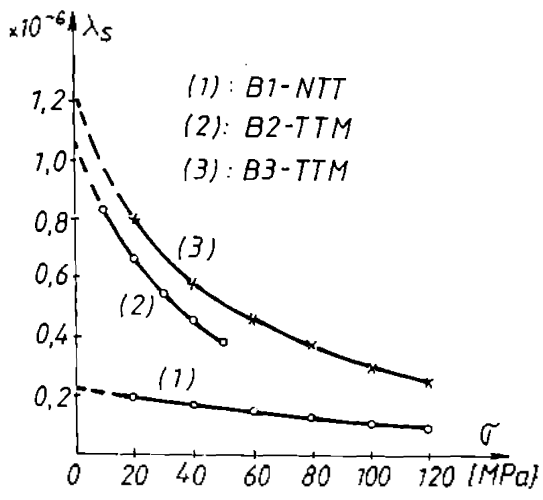


Figura 2.18. Magnetostriuc-  
tiunea de saturatie  
pentru benzile amorfice  
 $(Fe_{0,15}Co_{0,85})_{75}Si_{15}B_{10}$

O metodă bazată pe determinarea cimpului de anizotropie magnetoelastica  $H_T$  este propusă de K. Marita și alii, [85], sub denumirea de "metoda rotațiilor de unghi mic ale magnetizației" - SAMR. Asupra benzii amorfice acționează un cimp magnetic longitudinal  $H_{||}$  continuu și un cimp magnetic transversal coplanar cu banda, cu variație sinusoidală,  $H_{\perp} = H_{\perp \max} \times \sin \omega t$  (figura 2.19).

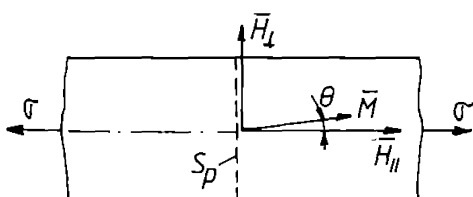


Figura 2.19. Principiul  
metodei SAMR.

Banda este adusă în stare de saturatie magnetică de către cimpul  $H_{||}$ . Vectorul magnetizație este în acest caz mărirea  $M_g$ . Sub acțiunea cimpului transversal  $H_{\perp}$  acest vector execută oscilații în jurul axei longitudinale a benzii. T.e.m. inducă într-o bobină coaxială cu banda este în acest caz

$$u_e = - N S_p \frac{d}{dt} (\mu_0 M_s \cos \theta) = \mu_0 M_s N S_p \sin \theta \frac{d\theta}{dt} , \quad (2.13)$$

în care  $N$  este numărul de spire al bobinării,  $S_p$  este secțiunea transversală a benzii iar  $\theta$  unghiul dintre  $H$  și axa benzii.

Valoarea unghiului  $\theta$  la un moment dat se obține (conform paragrafului 1.2) din condiția  $\delta G = 0$  pentru variații virtuale  $\delta \theta$ , unde

$$G = \frac{3}{2} \lambda_s \sigma - \mu_0 M_s H_{\parallel} \cos \theta - \mu_0 M_s H_{\perp} \sin \theta + \frac{1}{2} \mu_0 M_s^2 (N_{\parallel} \cos^2 \theta + N_{\perp} \sin^2 \theta) , \quad (2.14)$$

unde  $N_{\parallel}$  și  $N_{\perp}$  sunt factorii de demagnetizare după direcțiile respective.

Dacă  $H_{\perp}$  are valoarea astfel încit unghiul  $\theta$  să fie mic, atunci cu ipoteza  $\cos \theta \approx 1$ ,  $\sin \theta \approx \theta$ , se obține

$$\theta = \frac{H_{\perp} \max}{H_{\parallel} + \frac{3\lambda_s \sigma}{\mu_0 M_s} + M_s (N_{\perp} - N_{\parallel})} \sin \omega t , \quad (2.15)$$

iar din (2.13)

$$u_e = \frac{1}{2} \mu_0 M_s N S_p \left( \frac{H_{\perp} \max}{H_{\parallel} + H_{\sigma} + H_s} \right)^2 \sin 2\omega t , \quad (2.16)$$

în care

$$H_{\sigma} = \frac{3\lambda_s \sigma}{\mu_0 M_s} , \quad (2.17)$$

$$H_s = M_s (N_{\perp} - N_{\parallel}) , \quad (2.18)$$

sunt cimpul de anizotropie magnetoelastice respectiv cimpul de anizotropie de formă.

După cum se observă din relația (2.16) pulsația t.e.m. induse este dublă față de cea a cimpului transversal iar amplitudinea depinde de efortul aplicat  $\sigma$ . La  $\sigma = 0$

$$U_e = \text{const.} \cdot \left( \frac{H_{\perp \max}}{H_{||} + H_s} \right)^2, \quad (2.19)$$

iar la  $G \neq 0$

$$U'_e = \text{const.} \cdot \left( \frac{H_{\perp \max}}{H_{||} + H_G + H_s} \right)^2 \neq U_e \quad (2.20)$$

Reglind mărimea cîmpului longitudinal pentru probă solicitată la valoarea  $H_{||}^*$  se poate aduce  $U'_e$  la valoarea inițială, corespunzătoare probei nesolicităte, dacă este îndeplinită condiția

$$H_{||}^* + H_G + H_s = H_{||} + H_s. \quad (2.21)$$

Se obține astfel

$$H_G = H_{||} - H_{||}^*$$

iar din relația (2.19)  $\lambda_s$ .

Datorită simplității și operativității, metoda descrisă este frecvent folosită pentru determinarea magnetostricțiunii de saturație la benzi amorfă [4, 86, 102, 103].

Schema instalației pentru măsurarea magnetostricțiunii de saturație prin această metodă, realizată în cadrul lucrării este reprezentată în figura 2.20.

Bobina BL care produce cîmpul magnetic  $H_{||}$  este un solenoid cu 2000 spire, lungime 300 mm și diametru interior 40 mm. Cîmpul magnetic  $H_{\perp}$  este produs de două bobine dreptunghiulare BH, cu dimensiunile  $100 \times 35$  mm, avînd 100 spire fiecare, dispuse în configurație Helmholtz [12]. Între aceste bobine este plasată bobina de măsură HM, de lungime 30 mm, diametru exterior 14 mm și diametru interior 4 mm, avînd 20.000 spire. Detalii constructive sunt reprezentate în figura 2.21.

Bobina BL este alimentată de la sursa de c.c. STC iar curentul este măsurat prin căderea de tensiune de pe șuntul calibrat  $R_s$ .

Bobinile BH sunt alimentate de la generatorul de

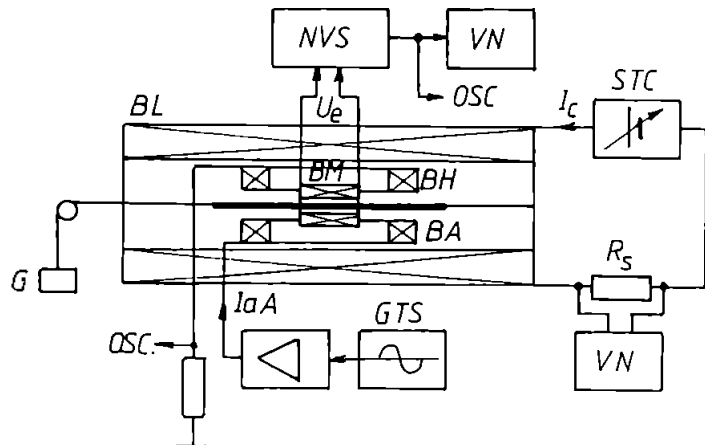


Figura 2.20 Instalația pentru măsurarea magnetostriucțiunii de saturare : BL - bobina pentru  $H_{\parallel}$ ; BH - bobinele pentru  $H_{\perp}$ ; BM - bobina de măsură; BA - banda amorfă; GTS - generator sinusoidal; STC - sursă de c.c.; NVS - nanovoltmetru selectiv; VN - voltmetru numeric.

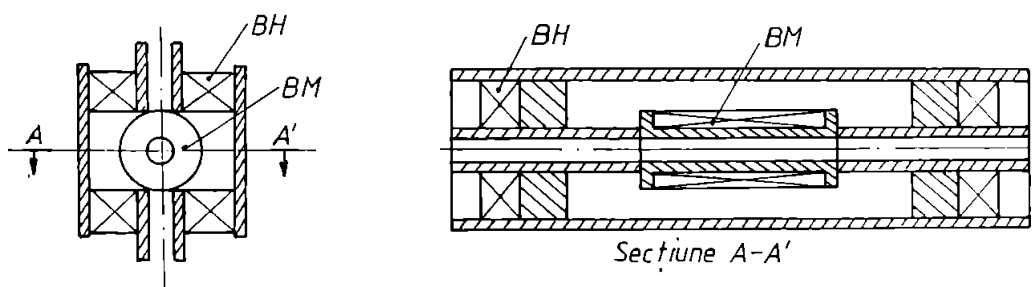


Figura 2.21 Detalii constructive privind bobinile BH și BM

tensiune sinusoidală GTS printr-un amplificator A. Măsurarea amplitudinii t.e.m.  $u_e$  se realizează cu ajutorul nanovoltmetrului selectiv NVS, acordat pe pulsărea  $2\omega$ . În acest mod se elimină componenta de pulsărie care apare datorită neortogonalității perfecte a bobinelor BH și BM.

Banda amorfă este încărcată mecanic folosind greutăți etalonate, prin intermediul unui fir flexibil și un scripete.

În continuare se prezintă rezultatele obținute cu aceeași instalație pentru o bandă amorfă neutratază termic, cu compoziția  $Fe_{75}Cr_9P_{11}C_5$  și dimensiunile  $140\text{ mm} \times 1,3\text{ mm} \times 25\text{ mm}$ , pentru care, cu ajutorul fluxmetrului integrator, s-a determinat  $\mu_0 H_s = 1,3\text{ T}$ .

Oscilogramalele  $H_\perp(t)$  și  $u_e(t)$  pentru această bandă, în condițiile  $H_\perp = 8300\text{ A/m}$ ,  $H_{\perp\max} = 400\text{ A/m}$  (în absența probei),  $f = 2\text{ KHz}$ ,  $\sigma = 0$ , sunt reprezentate în figura 2.22.

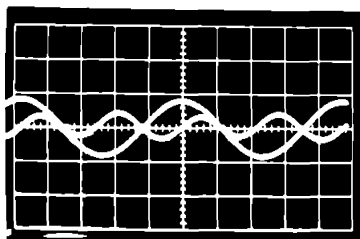


Figura 2.22 Oscilogramale  
 $H_\perp(t)$  și  $u_e(t)$ .

Încărcind banda cu diferite greutăți și determinând în fiecare stare  $H_\sigma$  cu relația (2.22) se obține graficul  $H_\sigma(\sigma)$  din figura 2.23.

Dependența liniară  $H_\sigma = \sigma$  obținută este în acord cu rezultatele cunoscute în literatură [102, 103] privind comportarea magnetoelastică a aliajelor amorse bogate în Fe, în sensul că la această grupă de aliaje amorse  $\lambda_s$  nu depinde de  $\sigma$ . Pentru compoziția considerată, cu ajutorul relației (2.10), se obține valoarea  $\lambda_s = 12,4 \times 10^{-6}$ .

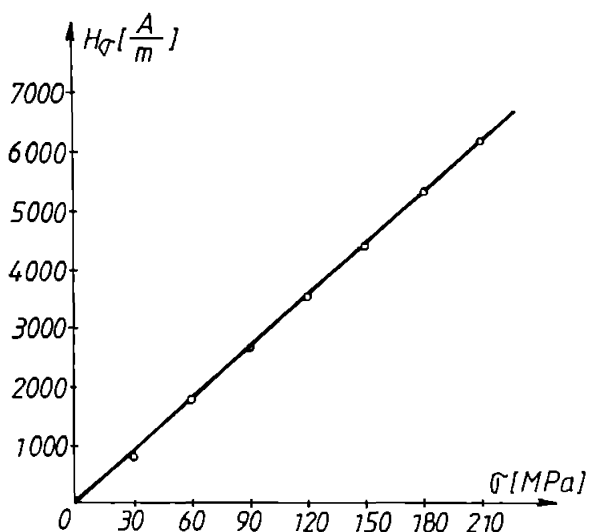


Figura 2.23 Dependență cîmpului de anizotropie magnetoelastica de efort la banda  $Fe_{75}Cr_9P_{11}C_5$ .

## C A P I T O L U L III

### CALCULUL CIMPULUI MAGNETIC LA UN TRADUCTOR DE FORȚĂ CU ANIZOTROPIE MAGNETOELASTICĂ

#### 3.1. Traductoare de forță bazate pe efectul magnetooelastic

##### 3.1.1. Efectul magnetooelastic ca măsură a stării de deformare elastică determinată de acțiunea unei forțe aplicate

Analiza relației (1.21) relevă faptul că deformarea unui corp elastic și magnetizabil este determinată de doi factori și anume forță exterioară aplicată corpului, respectiv cimpul magnetic în care este plesat corpul. Tensorul deformației elastice  $e_{ij}$  poate fi reprezentat ca o sumă de doi termeni corespunzând celor două acțiuni:

$$e_{ij} = (e_{ij})_{el} + (e_{ij})_{ms}$$

Starea de magnetizare a corpului este influențată de deformarea totală  $e_{ij}$  (Figura 3.1).

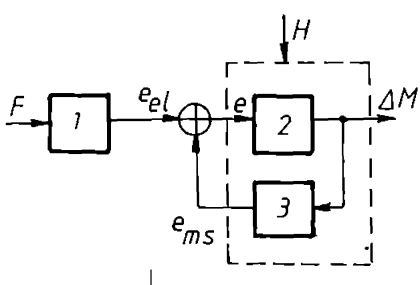


Fig. 3.1 Modificarea stării de magnetizare a unui corp sub acțiunea unei forțe exterioare: 1-deformare elastică datorită acțiunii forței aplicate; 2-efect magnetooelastic; 3-efect magnetostriictiv.

Vacă se urmărește ca starea de magnetizare să reprezinte o măsură a forței aplicate (cazul traducătorilor de forță), este necesar ca termenul din deformare asociat acțiunii cimpului magnetic ( $e_{ms}$ ) să fie neglijabil în raport cu cel asociat acțiunii forței aplicate ( $e_{el}$ ).

Pentru a compara ordinile de mărime ale celor două componente  $e_{el}$  și  $e_{ms}$  ale deformării specifice totale  $e$ , ne vom referi la deformarea unui singur domeniu magnetic (Fig. 3.2). În absența unei forțe exterioare deformarea specifică, de natură magnetostriictivă, după direcția  $x$  este [11,19]:

$$e_1 = \frac{3}{2} \lambda_s (\cos^2 \theta_1 - \frac{1}{3}) . \quad (3.1)$$

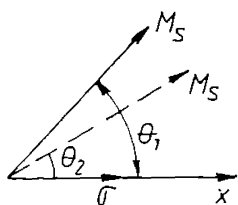


Fig. 3.2. Pozițiile de echilibru  $\theta_1$  și  $\theta_2$  ale magnetizației spontane în absența respectiv prezența efortului  $\sigma$ .

În prezența unei forțe exterioare, noua poziție de echilibru devine  $\theta_2$  iar deformarea magnetostriictivă

$$e_2 = \frac{3}{2} \lambda_s (\cos^2 \theta_2 - \frac{1}{3}) . \quad (3.2)$$

Alungirea de natură magnetostriictivă a domeniului, după direcția forței exterioare este:

$$e_{ms} = e_2 - e_1 = \frac{3}{2} \lambda_s (\cos^2 \theta_2 - \cos^2 \theta_1) , \quad (3.3)$$

Care îneumată cu alungirea elastică  $e_{el}$  determinată de forță aplicată reprezintă alungirea totală  $e$ . Cele două componente au același semn. De exemplu, dacă forța este de întindere, deci  $e_{el} > 0$ , iar materialul are  $\lambda_s > 0$ , atunci  $\theta_2 < \theta_1$  (v. Cap. 1) iar din relația (3.3) se obține  $e_{ms} > 0$ .

Un material amorf de tipul METGLAS 2605, având parametrii [8c]

$$\begin{aligned}\lambda_s &= 30 \cdot 10^{-6}, \\ E &= 1,4 \cdot 10^5 \text{ MPa}, \\ \sigma_t &= 2600 \text{ MPa},\end{aligned}$$

prezintă la limita de elasticitate  $\bar{\epsilon}_e$  o deformare specifică elastică de ordinul de mărime  $10^{-2}$  în timp ce deformarea specifică magnetostriictivă este de ordinul  $10^{-5}$ . Există deci un domeniu larg de variație a forței aplicate în care se pot neglija deformările magnetostriictive în raport cu cele de natură elastică. În această situație modificarea stării de magnetizare a corpului constituie o măsură a deformării elastice a corpului, respectiv a cauzelor care determină această deformare – forțe sau cupluri mecanice – permitînd realizarea unor traductoare, numite traductoare magnetoelastice (TME).

Elementul principal al unui TMW (Figura 3.5), il constituie corpul feromagnetic în care are loc cuplajul dintre cimpul de deformații elastice și cimpul magnetic.

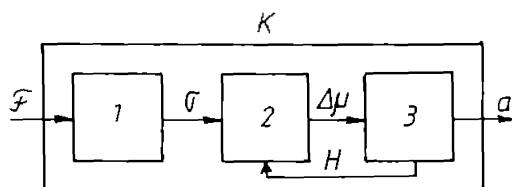


Fig. 5.5. Schema bloc funcțională a unui IMA:  
 1 - ansamblu elastic; 2 - corpul feromagnetic activ; 3 - grup de bobine; 4 - forțe sau momente aplicate; a - parametru global ( $L$  sau  $M_{12}$ ).

Forțele externe care determină deformația pot fi aplicate direct corpului feromagnetic sau indirect, prin intermediul unor piese cu funcții pur mecanice. Traductorul mai este prevăzut cu un grup de bobine pentru crearea cîmpului magnetic respectiv pentru transformarea modificărilor proprietăților magnetice locale ( $\bar{M}, \mu$ ) în modificări ale unor mărimi globale mai

acesibile măsurării (inductivității proprii sau mutuale). În realizările practice ale TM<sub>s</sub>, blocurile funcționale reprezentate în figura 3.3 se pot suprapune parțial sau total [7].

Calculul unui TM<sub>s</sub> prezintă două aspecte. În primul rînd, cunoscînd forțele aplicate, trebuie determinată starea de deformare elastică a corpului feromagnetic. În al doilea rînd, cunoscînd starea de deformare elastică, sursulele cîmpului magnetic și legile de material, trebuie determinat cîmpul magnetic din care apoi se calculează mărimele globale de interes.

Calculul elastic al TM<sub>s</sub> se bazează pe ecuațiile teoriei elasticității [63, 91, 115]:

$$\frac{\partial \sigma_{ij}}{\partial x_j} = 0, \quad (3.4)$$

$$\sigma_{ij} n_j = T_i, \quad (3.5)$$

$$e_{ij} = \frac{1}{2} \left( \frac{\partial u_i}{\partial x_j} + \frac{\partial u_j}{\partial x_i} \right), \quad (3.6)$$

$$e_{ij} = \frac{1}{E} \left[ (1+\nu) \sigma_{ij} - \nu \sigma_{kk} \delta_{ij} \right], \quad (3.7)$$

în care  $T_i$  reprezintă componentele forței exterioare ce acționează asupra ariei unitate a suprafeței corpului,  $n_j$  - componente normalei exterioare pe suprafața corpului,  $u_i$  - componentele vectorului deplasare,  $\delta_{ij}$  - simbolul lui Kronecker iar  $\nu$  și  $E$  sint modulul lui Young respectiv coefficientul lui Poisson. Ca și în capitolul 1, s-a folosit convenția de însumare a lui Einstein. Intr-un număr restrîns de cazuri, cu geometrii simple și forțe cu direcții de acțiune particulare, sunt cunoscute soluții analitice exacte ale acestor ecuații. În celelalte situații se folosesc metodele de rezolvare aproximative, analitice sau numerice [91, 113].

Calculul electromagnetic al TM<sub>s</sub> se bazează pe ecuațiile lui Maxwell la care se adaugă legea de material, care include acum și efectul magnetoelastic. Legea de material poate fi inclusă în calcul prin procedeul variational descris în paragraful 1.2. Rezolvînd ecuațiile de echilibru magnetic (1.77),(1.78) ale teoriei micromagnetică se obține distribuția spațială a magnetizației. Intr-un număr restrîns de situații, puternic idealizate, se obțin soluții analitice (de ex. tratarea din paragraful 1.3). Exceptînd aceste cazuri

varea problemei sunt necesare tehnici numerice [13], dintre care foarte adekvata este metoda elementului finit [64]. și în acest caz apar dificultăți majore legate în principal de alegerea parametrilor variaționali care apar în procedura de extreminizare din cadrul metodei elementului finit. Dacă acești parametrii includ coșinușii directori și vectorului magnetizație spontană  $\bar{M}_s$  (conform teoriei micromagneticii), atunci discretizarea în elemente finite trebuie să fie extrem de fină pentru a reprezenta corect distribuția spațială a acestui vector, având în vedere că orientarea lui se poate modifica sensibil la un pas de ordinul micronilor. O astfel de abordare, posibila doar pentru corpuri de dimensiuni de ordinul micronilor, este prezentată în lucrarea [37].

Un alt mod de abordare se bazează pe rezolvarea, prin metoda elementului finit, a ecuației

$$\frac{1}{\mu_0} \operatorname{rot} \operatorname{rot} \bar{A} - \operatorname{rot} \bar{M} = \bar{J},$$

corespunzătoare cimpului magnetic staționar,  $\bar{A}$  fiind potențialul magnetic vector iar  $\bar{M}$  vectorul magnetizație. Pe un element finit  $\bar{M}$  este definit ca media unui ansamblu de momente magnetice  $\bar{m}_i$ ,  $m_i = M_s$ . Orientarea acestor momente magnetice este dependentă de cimpul magnetic și de efortul mecanic de pe acel element finit și se determină din condiția de minim a energiei  $E_{mag} - \mu_0 \bar{M} \cdot \bar{H}$  (conform par. 1.2). Procedul decurge iterativ în sensul că se pornește de la o distribuție dată a direcțiilor momentelor  $\bar{m}_i$ , se calculează apoi  $\bar{M}$  prin mediere, se calculează  $\bar{A}$  prin metoda elementului finit, respectiv  $\bar{H}$  iar apoi noile direcții ale momentelor, respectiv noua valoare a lui  $\bar{M}$ , care se compară cu cea precedentă s.a.m.d. Acest procedeu este utilizat în lucrările [34,35] pentru calculul ciclului de nisterezis al unui eșantion dreptunghiular, neșolicitat mecanic. Punctul slab al acestui procedeu constă în utilizarea unei funcții statistică de distribuție unghiulară a ansamblului de momente magnetice, necesară calculului magnetizației  $\bar{M}$ . În lucrările menționate se adoptă o funcție uniformă pentru mediul izotrop, respectiv o funcție Gauss pentru mediul anizotrop magnetic, care conține două constante a căror determinare se face prin "potrivire".

In multe lucrări dedicate calculului traductoarelor magnetoelastice [2,44,46,68,81,82,83,104,107,108,109], compor-

tarea magnetoelastica a materialului este desorisa prin rezultate obtinute imponind conditia de minim energiei asociate unui domeniu Weiss considerind apoi prin extrapolare, ca intreg materialul se comporta ca un singur domeniu magnetic. acest lucru este justificat doar la cimpuri intense, cind structura de domenii dispare iar magnetizarea are loc prin rotatii ale vectorilor  $\vec{M}_g$ . Aceste rotatii nu sunt insa coherente [14] ceea ce are efecte negative asupra corectitudinii relatiilor folosite in lucrările mentionate.

Analiza succintă a principalelor posibilități de descriere a comportării magnetoelastice a unui material conduce la concluzia că pentru calculul electromagnetic al unui traductor magnetoelastic legea de material trebuie determinată experimental, în prezența solicitărilor mecanice.

### 3.1.2. Traducăre de forță cu anizotropie magnetoelastică

Forma relațiilor pentru densitatea de energie magnetoelastica prezentate în paragraful 1.2.4.a., relevă prezența în corpul deformat elastic, a unei anizotropii magnetice, numită și unizotropie magnetoelastica. axele acestei anizotropii magnetoelastice coincid cu direcțiile principale ale tensorului  $\vec{\epsilon}$  (respectiv  $\vec{T}$ , dacă corpul este elastic izotrop). La nivelul macroscopic tehnic, permeabilitatea magnetică a unui corp ferromagnetic, izotrop magnetic în absența unei forțe aplicate, devine un tensos de rangul doi atunci când corpul este solicitat mecanic. Direcțiile principale ale tensorului  $\vec{\epsilon}$  coincid cu cele ale tensorului  $\vec{\sigma}$ .

Referindu-ne pentru simplitate, la un corp plan, solicitat pe contur de forțele  $\vec{T}$  (Figura 3.4), direcțiile și valourile principale ale tensorului  $\vec{\epsilon}$  sunt date de relațiile [11]:

$$\theta = \frac{1}{2} \operatorname{arctg} \frac{2\tau_{xy}}{\sigma_x - \sigma_y}, \quad (3.8)$$

$$\sigma_{1,2} = \frac{\sigma_x + \sigma_y}{2} \pm \sqrt{\left(\frac{\sigma_x - \sigma_y}{2}\right)^2 + \tau_{xy}^2}, \quad (3.9)$$

$\sigma_x, \sigma_y, \tau_{xy} = \tau_{yx}$  fiind componente ale tensorului  $\bar{\sigma}$  în raport cu axele  $x, y$ .

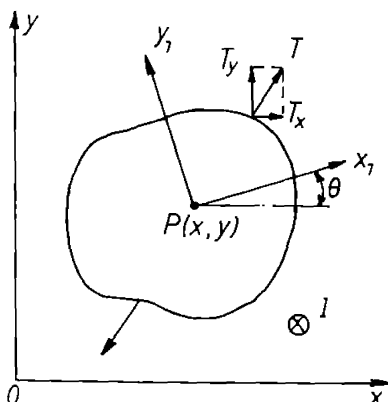


Fig. 3.4. Axele de anizotropie magnetooelastică ( $x_1, y_1$ ).

În sistemul de coordonate  $(x_1, y_1)$ , dirijat după aceste direcții principale, considerate direcții de anizotropie magnetooelastică, tensorul  $\bar{\mu}$  are forma diagonală:

$$\bar{\mu}_1 = \begin{bmatrix} \mu_{x_1} & 0 \\ 0 & \mu_{y_1} \end{bmatrix} . \quad (3.40)$$

Așa cum s-a menționat anterior corpul este presupus izotrop magnetic în stare nesolicitată mecanic.

Valorile principale  $\mu_{x_1}$  și  $\mu_{y_1}$  ale acestui tensor depind de valorile principale ale efortului și de cimpul magnetic dacă materialul este nelinier.

Dacă starea de eforturi este neuniformă, direcțiile de anizotropie se modifică de la punct la punct.

Făcând schimbări de sistem de coordonate  $x, y$  tensorul  $\bar{\mu}$  este dat de relația

$$\bar{\mu} = R^T \bar{\mu}_1 R , \quad (3.41)$$

$R$  fiind matricea de rotație

$$R = \begin{bmatrix} \cos \theta & \sin \theta \\ -\sin \theta & \cos \theta \end{bmatrix} . \quad (3.42)$$

Datorita caracterului tensorial al permeabilității magnetice,determinat de anizotropia magnetoelastica,forma linilor de cimp magnetic se poate modifica sensibil în urma unei solicitări mecanice,dacă extinderea spațială a corpului feromagnetic permite acest lucru.

Un traductor de forță care exploatează acest efect de modificare a spectrului cîmpului magnetic a fost realizat de U.Dahle [21] și dezvoltat cu succes de o serie de firme [36,69,122]. Corpul feromagnetic al acestui traductor este realizat dintr-un pachet de tole,in care sunt practicate patru orificii,dispusă în colțurile unui pătrat (Figura 3.5a).În găurile de pe diagonale sunt plasate cîte o bobină,una fiind folosită pentru producerea cîmpului magnetic iar cealaltă pentru măsurare.În absența solicitării mecanice și în ipoteza unui mediu magnetic izotrop,spectrul cîmpului magnetic este simetric față de planul bobinei de măsură (Figura 3.5 b)iar fluxul magnetic ce o străbate este zero.Sub acțiunea unei forțe  $F$  apare anizotropia magnetoelastica,spectrul cîmpului magnetic se modifică ,fluxul magnetic prin bobină de măsură fiind acum diferit de zero (Figura 3.5 c).

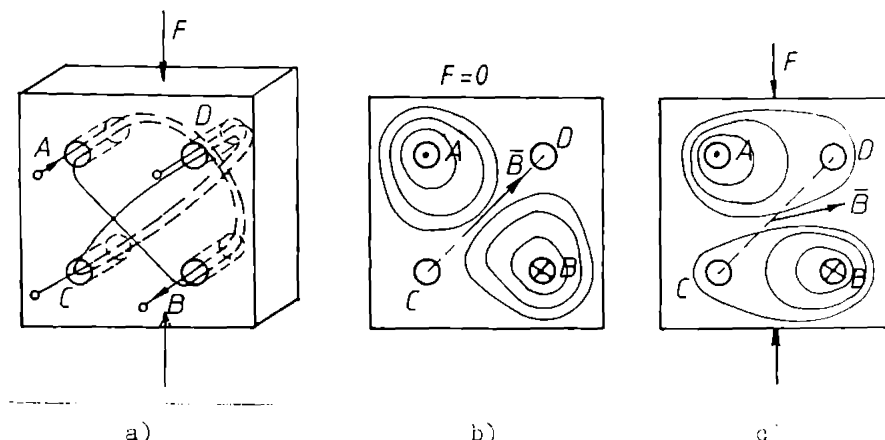


Fig. 3.5 Principiul de funcționare al traductorului cu anizotropie magnetoelastica:  
a).Forma constructivă simplificată;  
b).Spectrul cîmpului în absența forței aplicate;  
c).Spectrul cîmpului în prezența forței.

Dacă cîmpul magnetic este variabil în timp, în bobina de măsură se induc o tensiune electromotoare care este o măsură a forței aplicate. Traductorul se comportă ca un transformator electric la care factorul de cuplaj este comunăt de forță aplicată  $F$ .

Sunt posibile și alte moduri de plasare a infașurărilor în raport cu direcția forței dar cea prezentată mai sus asigură caracteristici optime [7, 12].

Dacă corpul activ (circuitul magnetic) este realizat sub forma unor porțiuni rectilinii sau curbilinii de secțiune mică, modificarea formei spectrului cîmpului magnetic este nesemnificativă. În acest caz efectul încărcării mecanice se reflectă în modificarea doar a mărimiindui inductiei magnetice, nu și în a direcției acesteia.

Două forme tipice de realizare a unor astfel de traductoare, numite TME, cu cîmp condus [7], sunt reprezentate în figura 3.6.

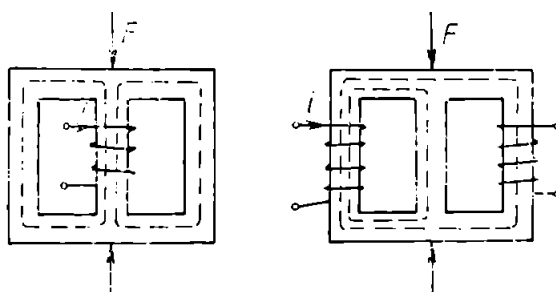


Fig. 3.6. Traductoare magnetocelastice cu cîmp condus. Efectul magnetoelastic reflectat în modificarea: a) inductivității proprii; b) inductivității mutuale.

TME cu anizotropie sunt mult mai răspîndute comparativ cu cele cu cîmp condus în principal datorită semnalului de ieșire mare pe care îl pot da aceste traductoare. TME cu anizotropie sunt numite și TME cu cîmp liber [122] deoarece forma masivă a corpului feromagnetic nu impune restricții severe asupra spectrului liniilor de cîmp magnetic.

3.2. Modelul de cîmp magnetic la un traductor de forță cu anizotropie magnetoelastica

3.2.1. Modele calitative

O descriere simplificată a comportării trăducto-rului cu anizotropie magnetoelastica se poate face dacă diferențele porțiuni ale spectrului cîmpului magnetic se modeleză prin reluctanțe magnetice [46]. În figura 5.7. este reprezentată forma idealizată a liniilor de cîmp magnetic iar în figura 5.8.a,circuitul electric echivalent, în care apar re-luctanțele magnetice ale porțiunilor notate în figura 5.7.

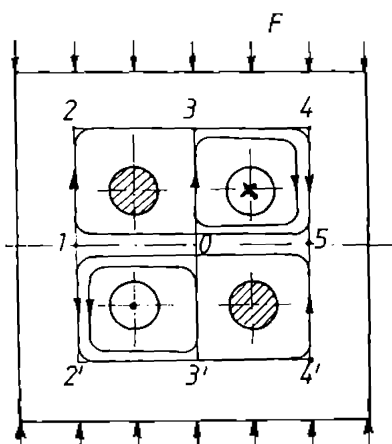


Fig. 5.7 Spectrul idealizat al cîmpului magnetic la trădutorul cu anizotropie magnetoelastica

Bobina de măsură este presupusă în gol. Cu  $\Theta$  s-a notat solenăzia  $N_{11}$  iar cu  $\Phi_{12}$  fluxul mutual al celor două înfășurări.

Tinind cont de simetria circuitului magnetic și renomîna reluc-tanțele, se poate scrie:

$$R_{m12} + R_{m23} = R_{m3'4'} + R_{m4'5} = R_m ,$$

$$R_{m03} = R_{m03'} = R_{m4} ,$$

$$R_{m01} = R_{m05} = R_{m\alpha} .$$

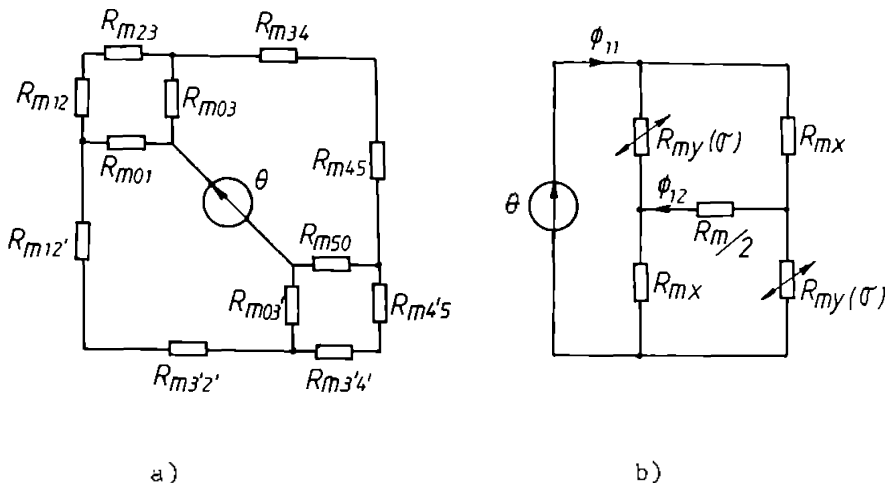


Fig. 3.8 Schema echivalentă a circuitului magnetic  
a) completă; b) simplificată.

Neglijînd reductanțele căilor exterioare 3-4-2, respectiv 1-2'-3', se obține schema echivalentă din figura 3.8b. Presupunind că numai componenta după direcția de acțiune a forței exterioare a tensorului  $\bar{A}$  depinde de valoarea acestei forțe,  $\mu_y = \mu_y(\theta)$ , tranductorul are o comportare analogă unei punți de măsură. Datorită simetriei geometrice  $R_{my} = R_{mx}$  dacă  $\mu_y = \mu_x$ . Prin urmare, presupunind că mediul este izotrop în absența solicitării mecanice, puntea este echilibrată iar  $\phi_{12} = 0$ . Atunci cind mediul devine anizotrop ca urmare a solicitării mecanice, puntea se dezechilibrează iar  $\phi_{12} \neq 0$ .

Fluxul mutual  $\phi_{12}$  se poate calcula pe baza schemei din figura 3.8b. Presupunem că valoarea solenăției este astfel aleasă încît zona dintre găuri să fie saturată (justificarea acestei ipoteze va fi prezentată ulterior). În această situație se poate neglija  $R_m$  în raport cu  $R_{mx}$  și  $R_{my}$ , obținând expresia simplă,

$$\phi_{12} = \frac{\theta}{2} \cdot \frac{R_{my} - R_{mx}}{R_{my} \cdot R_{mx}} . \quad (3.43)$$

Admitând pentru reluctanțele  $R_{mx}$  și  $R_{my}$  relațiile ( cu notările din figura 3.9a ) :

$$R_{mx} = \frac{l}{\mu_x S}, \quad R_{my} = \frac{l}{\mu_y S}, \quad (3.14)$$

relația ( 3.13 ) devine:

$$\Phi_{12} = \frac{N_1 i_1}{2} (\mu_x - \mu_y) \cdot \frac{S'}{l} \quad . \quad (3.15)$$

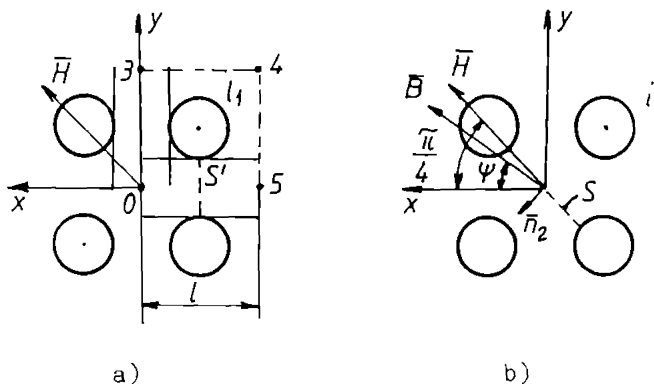


Fig. 3.9. Desen explicativ pentru calculul fluxului mutua  $\Phi_{12}$ : a)  $S'$ ,  $l$  - secțiunea respectiv lungimea tubului de cimp 05; b)  $S$ ,  $\bar{E}_2$  - suprafață respectiv normala înfășurării de măsură.

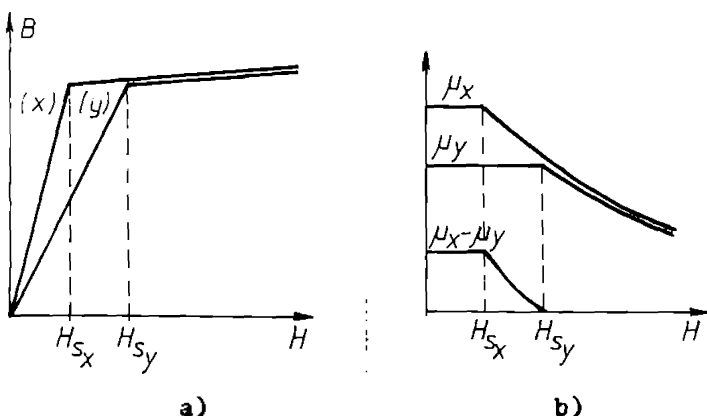
Aplicând legea circuitului magnetic pe conturul  $0 - 3 - 4 - 5 - 0$  și neglijind căderea de tensiune magnetică pe porțiunea  $3 - 4 - 5$  se obține, în ipoteza unui cimp uniform,  $\theta = Hl\sqrt{2}$ . Înținând cont că  $S' \equiv S \cos \frac{\pi}{4}$ , relația (3.14) devine

$$\Phi_{12} = \frac{S}{2} (\mu_x - \mu_y) H \quad . \quad (3.15')$$

La aceeași relație se ajunge și prin calculul direct al fluxului  $\Phi_{12}$ , în ipoteza unui cimp uniform în zona dintre găuri (Figura 3.9b):

$$\begin{aligned}
 \Phi_{12} &= B S \cos\left(\psi + \frac{\pi}{4}\right) = B S \left( \cos\psi - \sin\psi \right) \frac{\sqrt{2}}{2} = \\
 &= S \left( B_x - B_y \right) \frac{\sqrt{2}}{2} = S \left( \mu_x H_x - \mu_y H_y \right) \frac{\sqrt{2}}{2} = \\
 &= S \left( \mu_x \cos\frac{\pi}{4} - \mu_y \sin\frac{\pi}{4} \right) H = \frac{S}{2} (\mu_x - \mu_y) H
 \end{aligned} \tag{3.16}$$

Cu o singură excepție notabilă ([89]), toate metodele de calcul ale acestui tip de traductor, întâlnite în literatură, sunt variante ale acestui model. Cu ajutorul relației (3.15) se poate evalua calitativ modul în care cimpul magnetic și solicitarea mecanică influențează forma de variație în timp a fluxului mutual  $\Phi_{12}$  respectiv a tensiunii  $U_{20}$  de la bornele bobinei secundare (în gol). În acest scop vom presupune că materialul este desorbiș, în prezența solicitării mecanice, de curbele de magnetizare după cele două direcții de anizotropie, aproximată prin porțiuni liniare (Figura 3.10). Curba "y" corespunde direcției de acțiune a forței iar curba "x", direcției transversale.



**Fig. 3.10** a).Curbele de magnetizare după cele două direcții de anizotropie;  
b).Permeabilitățile magnetice, respectiv diferența lor, după cele două direcții.

Dependența termenului  $\mu_x - \mu_y$  de intensitatea cimpului magnetic este reprezentată în figura 3.10b. Prin multiplicarea acestei funcții cu  $H$  se obține dependența fluxului mutual (prin unitatea de suprafață) de  $H$ , reprezentată în figura 3.11a. Pentru o altă valoare a solicitării mecanice până porțiunii nesaturate a curbei ( $y$ ) se modifică și printr-un raționament similar se obține dependența  $\phi_{12} = \phi_{12}(H)$  corespunzătoare. În figura 3.11.b, sint reprezentate două situații corespunzând unui material cu  $\lambda_g > 0$  supus comprimării după direcția  $y$ .

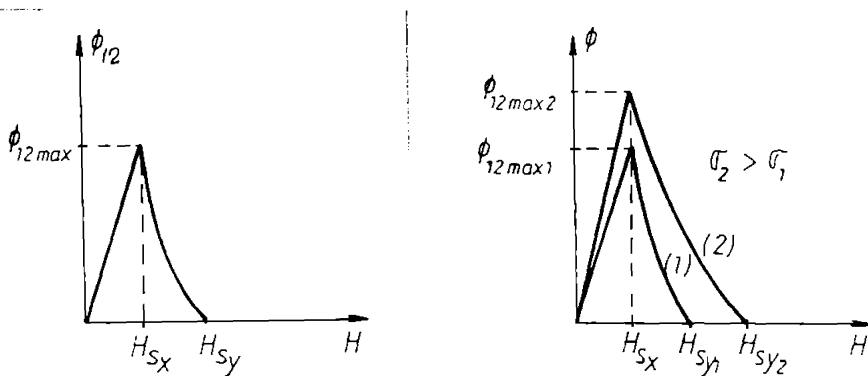


Fig. 3. 11 a) Dependența  $\phi_{12}(H)$  la o stare de solicitare mecanică dată;

b) Dependențele  $\phi_{12}(H)$  pentru două stări de solicitare diferite.

Alimentind bobina primară de la un generator de curent constant, sau variație sinusoidală în timp, cimpul  $H$  va avea de asemenea o variație sinusoidală,  $H(t) = H_{\max} \sin \omega t$ . Dacă  $H_{\max} < H_{sx}$  ( $H_{sx}$  reprezentând cimpul de saturare după direcția  $x$ ) atunci, ca ajutorul figurii 3.11a, se observă că  $\phi_{12}(t)$  este o sinusoidă, iar  $U_{20}(t) = N_2 d(\phi_{12})/dt$  o cosinusoidă (Figura 3.12a). Dacă  $H_{\max} > H_{sx}$  atunci  $\phi_{12}(t)$  devine o funcție nesinusoidală, cu două maxime identice pe o semiperioadă iar  $U_{20}(t)$  are forma unor impulsuri (Figura 3.12b).

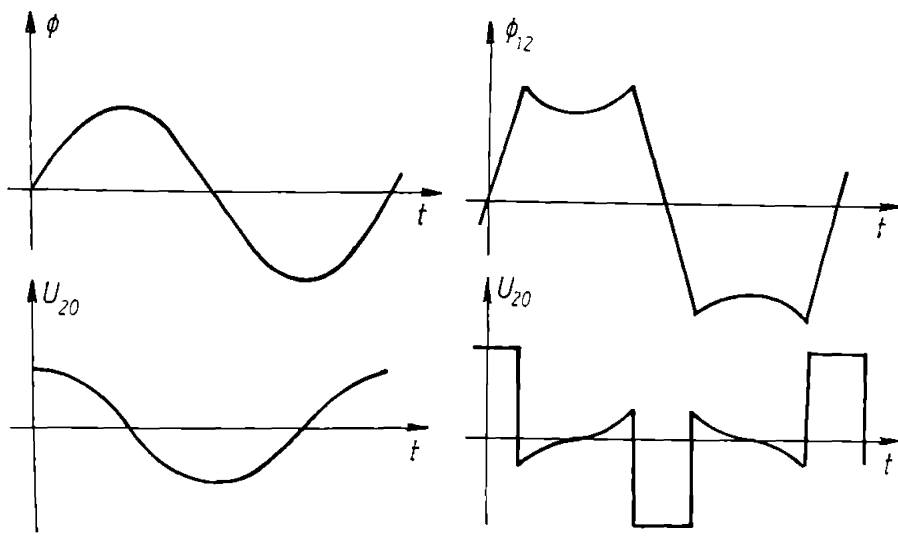


Fig. 3.12 Dependențele  $\Phi_{12}(t)$  și  $U_{20}(t)$  în situațiiile: a)  $H_{\max} < H_{ax}$ ; b)  $H_{\max} > H_{ax}$ .

La traductoarele cu anizotropie magnetoelastica utilizate in practică, amplitudinea curentului primar se alege astfel încit zona dintre cele patru găuri să fie saturată magnetic. În această situație procesele de magnetizare din aceasta zonă au loc preponderent prin rotații reversibile ale vectorilor magnetizație spontană, având drept efect o sensibilitate magnetoelastica marita [19] precum și un histerezis magnetic redus [7].

Din analiza prezentată rezultă că traductorul cu anizotropie magnetoelastica este în esență un dispozitiv elec-tromecanic neliniar și anizotrop, ceea ce face ca metodelor de calcul ale acestui traductor întâlnite în literatura de specialitate să nu fie satisfăcătoare. În acest context trebuie menționată lucrarea [89], în care calculul acestui traductor este abordat în mod corect prin rezolvarea ecuației lui Poisson în potențialul magnetic vector, în ipoteza, însă, a unui mediu liniar. În lucrarea menționată se obține o soluție analitică

aproximativă, sub forma unei serii de funcții.

### 3.2.2. Modelul de cîmp plan-paralel considerind mediul ferromagnetic neliniar și anizotrop

Procedeul de calcul al cîmpului magnetic, respectiv a mărîmilor globale de interes, pentru un traductor cu anizotropie magnetoelastică, care va fi prezentat în continuare, se bazează pe rezolvarea ecuației de tip Poisson în A prin metoda elementului finit. Mediul este considerat neliniar și anizotrop fiind caracterizat prin curbele de magnetizare, determinate experimental, după cele două direcții de anizotropie. Calculul se bazează pe următoarele ipoteze:

- cîmpul magnetic în corpul traductorului este considerat plan-paralel;

- în absența solicitării mecanice mediul este izotrop și fără histerezis;

- materialul ferromagnetic are permeabilitatea magnetică suficient de mare pentru a putea admite că nu există linii de cîmp care să iasă din corpul traductorului;

- traductorul este solicitat de forțe (Figura 3.1.a) a căror direcție face un unghi de  $45^\circ$  cu planul bobinii de excitație; forțele sunt uniform repartizate pe suprafațele pe care acționează;

- stare de tensiuni mecanice în corpul traductorului se consideră uniaxială și uniformă (se neglijeză perturbațiile produse de găuri și de preluorarea mecanică);

- înfășurarea primară (de alimentare) este formată dintr-un singur conductor parcurs de un curent echivalent  $I = N_1 I_1$ , constant în timp; înfășurarea secundară (de măsură) este în gol;

- regimul variabil de alimentare al traductorului este considerat ca o succesiune de regimuri staționare de c.c., obținute prin eșantionarea funcției  $i_1(t) = i_{1\max} \sin \omega t$ .

In aceste condiții, după detasarea unei plăci de grosime unitate din corpul traductorului, se obține domeniul de studiu al cîmpului magnetic reprezentat în figura 3.1.b. Densitatea de curent pentru conductorul echivalent este  $J = \frac{N_1 I_1}{S_g}$ ,

$S_g$  fiind aria unei găuri.

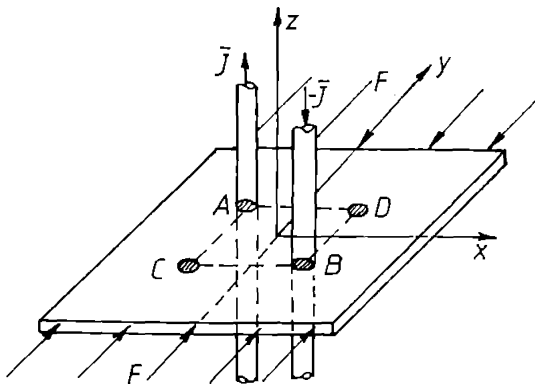


Fig. 3.13 Domeniul de studiu al cîmpului magnetic  
( A,B,C,D - subdomenii cu  $\mu = \mu_0$  )

In ipoteza stării de tensiuni mecanice uniaxiale cu forțele exterioare după axa y, componentele tensorului  $\bar{\sigma}$  sunt [63] :

$$\sigma_x = \sigma_{xy} = 0 , \quad (3.17)$$

$$\sigma_y = \sigma = \frac{F}{S} , \quad (3.18)$$

$\sigma$  fiind esfertul unitar, pe suprafața pe care acționează forța exterioară  $F$  iar  $S$  aria acestei suprafete.

Direcțiile principale și valorile principale ale tensorului  $\bar{\sigma}$ , determinate cu relațiile (3.8) și (3.9) sunt:

$$\theta_1 = 0 , \quad \theta_2 = \frac{\pi}{2} \quad (3.19)$$

$$\sigma_1 = \sigma , \quad \sigma_2 = \sigma_3 = 0 \quad (3.20)$$

Direcțiile de anizotropie magnetoelastici coincid în acest caz cu axele de coordonate x,y. După aceste direcții, tensorul reluctivității magnetice este:

$$\bar{\nu} = \begin{bmatrix} \nu_x & 0 \\ 0 & \nu_y \end{bmatrix} \quad (3.21)$$

în care

$$\nabla_x = \nabla_x(B), \quad (3.22)$$

$$\nabla_y = \nabla_y(B, \sigma). \quad (3.23)$$

Formind de la ecuațiile lui Maxwell corespunzătoare regimului staționar

$$\operatorname{div} \bar{B} = 0 \Leftrightarrow \bar{B} = \operatorname{rot} \bar{A}, \quad (3.24)$$

$$\operatorname{rot} \bar{H} = \bar{J} \quad (3.25)$$

și de la legea de material

$$\bar{H} = \bar{\nabla} \cdot \bar{B}, \quad (3.26)$$

se obține ecuația pe care o satisface potențialul magnetic vector  $\bar{A}$ :

$$\operatorname{rot} (\bar{\nabla} \operatorname{rot} \bar{A}) = \bar{J}. \quad (3.27)$$

Tinând cont de structura planară a cimpului ( $\bar{J} = J\hat{k}$ ,  $\bar{A} = A\hat{k}$ ) se obțin în final ecuațiile:

a)  $\frac{\partial}{\partial x} \left( v_y \frac{\partial A}{\partial x} \right) + \frac{\partial}{\partial y} \left( v_x \frac{\partial A}{\partial y} \right) = 0, \quad (3.27')$

pentru porțiunea feromagnetică a domeniului;

b)  $\frac{\partial^2 A}{\partial x^2} + \frac{\partial^2 A}{\partial y^2} = -\alpha \mu_0 J, \quad (3.27'')$

pentru porțiunile neferomagnetice ale domeniului (pe subdomeniu  $A$ :  $\alpha = 1$ , pe  $B$ :  $\alpha = 1$  iar pe  $C$  și  $D$ :  $\alpha = 0$ ).

Formal cele două ecuații pot fi înlocuite prin ecuația

$$\frac{\partial}{\partial x} \left( v_y \frac{\partial A}{\partial x} \right) + \frac{\partial}{\partial y} \left( v_x \frac{\partial A}{\partial y} \right) = -\alpha J, \quad (3.28)$$

considerind  $\alpha = 0$  și pe subdomenii feromagnetic, respectiv

$$v_x = v_y = (\mu_0)^{-1} \text{ pe subdomenile } A, B, C, D.$$

Ipoteza permeabilității mari a materialului permite considerarea conturului frontieră al domeniului crept linie de cimp a vectorului  $\bar{B}$ . Tinând cont că pentru cimpul plan-pa-

ralel acestei linii sint curbe pe care  $A = \text{ct.}$  [112], se obtine conditia pe frontiera, de tip Dirichlet,

$$A = 0 . \quad (3.29)$$

S-a facut anterior precizarea ca regimul de alimentare al traductorului se alege astfel incit in zona dintre gauri - - zona activa - mediul sa fie la limita de saturatie. Prin urmare in regiunile periferice mediul este practic nesaturat, prezintand o permeabilitate suficient de mare pentru a accepta ipoteza mentionata. O verificare a acestei ipoteze, pentru un mediu liniar, este prezentata in lucrarea [72].

Rezolvarea ecuatiei (3.28), cu conditia pe frontiera (3.29), se va face prin metoda elementului finit.

### 3.3 Stabilirea ecuatiilor modelului numeric de cimp magnetic

Vom cauta o solutie aproximativa a ecuatiei (3.28), de forma

$$A(x,y) = \sum_{j=1}^N A_j N_j(x,y) , \quad (3.30)$$

$A_j$  ( $j=1, N$ ) fiind un set de  $N$  parametrii ce trebuie determinati iar  $N_j(x,y)$  un set de  $N$  functii de coordonate convenabil alese (numite si functii de forma).

Pentru determinarea parametrilor  $A_j$  astfel incit expresia (3.30) sa reprezinte o solutie aproximativa a ecuatiei (3.28) vom folosi metoda reziduului ponderat in formularea Galerkin [121].

Pentru conditia pe frontiera de tip Dirichlet este suficient sa impunem conditia de ortogonalitate

$$\int_D N_i R ds = 0 , \quad i = \overline{1, N} \quad (3.31)$$

pe domeniul plan  $D$ , in care studiem cimpul, reziliuului

$$R = \frac{\partial}{\partial x} (v_y \frac{\partial A}{\partial x}) + \frac{\partial}{\partial y} (v_x \frac{\partial A}{\partial y}) + \alpha J . \quad (3.32)$$

In cadrul metodei elementului finit domeniul  $\bar{\Omega}$  se partitioanează într-o rețea de elemente finite  $\bar{\Omega}^e$ ,  $\bar{\Omega} = \cup \{\bar{\Omega}^e \subset \bar{\Omega}\}$ , care satisfac anumite condiții de regularitate [84].

Pentru a evita discontinuitățile la interfețele dintre elementele finite, funcțiile  $N_i(x,y)$  trebuie să aparțină clasei de continuitate  $C^1$ , ceea ce limitează sever forma elementelor finite și expresiile funcțiilor  $N(x,y)$ . Această restricție poate fi înălțată dacă asupra relației (3.51) se efectuează o serie de transformări. Folosind relațiile evidente

$$\frac{\partial}{\partial x} (N_i v_y \frac{\partial A}{\partial x}) = v_y \frac{\partial N_i}{\partial x} \cdot \frac{\partial A}{\partial x} + N_i \frac{\partial}{\partial x} (v_y \frac{\partial A}{\partial x}) \quad (3.33)$$

$$\frac{\partial}{\partial y} (N_i v_x \frac{\partial A}{\partial y}) = v_x \frac{\partial N_i}{\partial y} \cdot \frac{\partial A}{\partial y} + N_i \frac{\partial}{\partial y} (v_x \frac{\partial A}{\partial y}), \quad (3.33')$$

relația (3.51) devine

$$\begin{aligned} & \iint_{\bar{\Omega}} (v_y \frac{\partial N_i}{\partial x} \cdot \frac{\partial A}{\partial x} + v_x \frac{\partial N_i}{\partial y} \cdot \frac{\partial A}{\partial y}) dx dy - \iint_{\bar{\Omega}} \alpha J N_i dx dy - \\ & - \iint_{\bar{\Omega}} \left[ \frac{\partial}{\partial x} (N_i v_y \frac{\partial A}{\partial x}) + \frac{\partial}{\partial y} (N_i v_x \frac{\partial A}{\partial y}) \right] dx dy = 0. \quad (3.34) \end{aligned}$$

Aplicând ultimului termen integral transformarea integrală Green [91] se obține

$$\begin{aligned} & \iint_{\bar{\Omega}} (v_y \frac{\partial N_i}{\partial x} \cdot \frac{\partial A}{\partial x} + v_x \frac{\partial N_i}{\partial y} \cdot \frac{\partial A}{\partial y}) dx dy - \iint_{\bar{\Omega}} \alpha J N_i dx dy - \\ & - \oint_{\Gamma} N_i (v_y n_x \frac{\partial A}{\partial x} + v_x n_y \frac{\partial A}{\partial y}) dl = 0, \quad (3.35) \end{aligned}$$

unde  $n_x$  și  $n_y$  sunt coșinușii directori ai normalei pe elementul de linie  $dl$  (conținută în planul  $x,y$ ) iar  $\Gamma$  este curbă frontieră a domeniului plan  $\bar{\Omega}$ .

Din relația (3.35) se observă că condiția de continuitate la interfață dintre elementele finite este asigurată începând cu funcțiile  $N(x,y)$  sătisfacanumite condiții de regularitate  $C^0$ . Această condiție se satisfacă, de exemplu, o partitioare în elemente finite triunghiulare.

lare cu funcții  $N(x,y)$  liniare pe porțiuni, avind proprietatea

$$N_i(x_j, y_j) = \delta_{ij}, \quad (3.36)$$

indicei  $i$  și  $j$  referindu-se la două noduri arbitrară ale rețelei de elemente finite,  $\delta_{ij}$  fiind simbolul lui Kronecker. Prin urmare funcția  $N_i(x,y)$  are valoarea 1 în nodul  $P_i(x_i, y_i)$  și scade liniar pe fiecare din elementele triunghiulare ce au nodul  $P_i$  comun, devenind nulă în nodurile vecine lui  $P_i$  și în celelalte noduri ale rețelei (Figura 3.14). În aceste condiții parametrii  $A_j$  din relația (3.30) reprezintă valorile potențialului în cele  $N$  noduri ale rețelei de elemente finite.

Dacă nodul  $i$  pentru care se scrie relația (3.35) nu aparține frontierei domeniului (Figura 3.15a), ultimul termen integral din (3.35) este nul, decarece  $N_i(x,y) = 0$  pentru orice punct  $(x,y)$  de pe frontiera  $\Gamma$ , în baza relației (3.36).

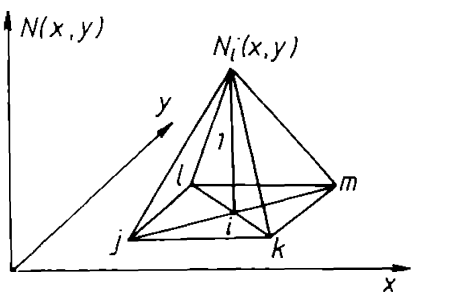


Fig. 3.14 Funcția de formă  $N_i(x,y)$

Dacă nodul  $i$  aparține frontierei (Figura 3.15b) iar condițiile pe frontieră specificate sunt de tip Dirichlet, atunci integrandul acestui termen nu este cunoscut.

În cazul condițiilor pe frontieră de tip Dirichlet este suficient să scriem relația (3.35) numai pentru nodurile interioare, potențialele nodurilor de pe frontieră fiind cunoscute. Tinând cont de aceste precizări, pentru nodurile interne relația (3.35) devine

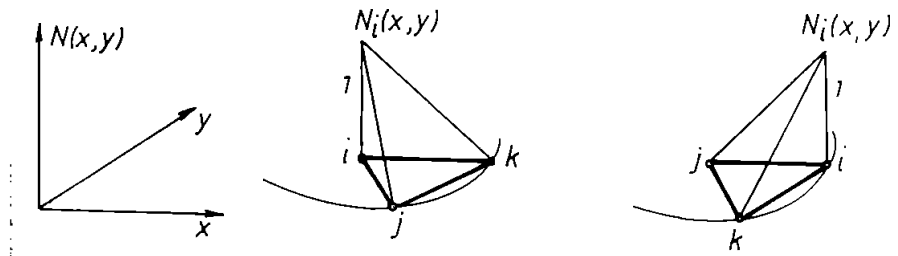


Fig. 5.15 Poziția nodului curent  $i$ :

- a) în interiorul domeniului;
- b) pe frontieră domeniului.

$$\iint_D \left( v_y \frac{\partial N_i}{\partial x} \cdot \frac{\partial A}{\partial x} + v_x \frac{\partial N_i}{\partial y} \cdot \frac{\partial A}{\partial y} \right) dx dy = \iint_D \alpha J N_i dx dy , \quad (3.37)$$

Inlocuind  $A$  prin expresia (3.30) și ținând cont că  $D = \cup \{ D^e \subset D \}$ ,  $D^e$  fiind subdomeniul ocupat de un element finit, se obține

$$\sum_e \iint_{D^e} \left[ \sum_{\lambda} \left( v_y \frac{\partial N_i}{\partial x} \cdot \frac{\partial N_{\lambda}}{\partial x} + v_x \frac{\partial N_i}{\partial y} \cdot \frac{\partial N_{\lambda}}{\partial y} \right) A_{\lambda} \right] dx dy = \\ = \sum_e \iint_{D^e} \alpha J N_i dx dy , \quad i = \overline{1, N_{int}} . \quad (3.38)$$

Datorită proprietății (3.36) suma  $\sum_e$  se referă numai la elementele finite care au nodul curent  $i$  comun iar  $N_{\lambda}$  și  $v_{\lambda}$  ( $\lambda = i, j, k$ ) se referă la modurile unui astfel de element. Se observă că indexarea locală  $\lambda = i, j, k$  a modurilor acestui element corespunde cu indexarea globală a nodurilor rețelei de elemente finite numai pentru nodul curent  $i$ .

Detalierea relațiilor (3.38) presupune precizarea

formeî geometrice a elementelor finite. Datorită usorînței implementării algoritmului numeric [9], se vor alege elemente finite de formă triunghiulară iar drept parametrii  $A_j$  valoareî potențialului în vîrfurile acestor triunghiuri. În această situație funcția de formă  $N$  pentru un element finit are expresia [79]

$$N_i(x, y) = \frac{1}{2S^e} (a_i x + b_i y + c_i) , \quad (3.39)$$

$S^e$  fiind aria elementului finit iar  $a_i, b_i, c_i$  - coeficienți dependenți de coordonatele vîrfurilor acelui element finit:

$$a_i = x_j y_k - x_k y_j , \quad (3.40)$$

$$b_i = y_j - y_k , \quad (3.41)$$

$$c_i = x_k - x_j \quad (3.42)$$

Celelalte două funcții de formă  $N_j(x, y)$  și  $N_k(x, y)$ , se obțin din relațiile (3.39) ÷ (3.42) prin permutări circulare.

Inlocuind aceste expresii în relația (3.58) se obține

$$\sum_e \sum_{\lambda} r_{i\lambda}^e A_{\lambda} = \sum_e g_i^e , \quad i=1, N_{int} . \quad (3.43)$$

în care

$$r_{i\lambda}^e = \frac{1}{4S^e} (v_y^e b_i b_{\lambda} + v_x^e c_i c_{\lambda}) , \quad (3.44)$$

$$g_i^e = \frac{J^e S^e}{3} . \quad (3.45)$$

Indicele superior "e" în aceste relații arată ca termenii respectivi se referă la un anumit element finit.

Pentru cîmpul plan-paralel componentele inducției magnetice sint date de relațiile:

$$B_x = \frac{\partial A}{\partial y} \quad , \quad B_y = -\frac{\partial A}{\partial x} \quad . \quad (3.46)$$

Intr-oțit pe un element finit

$$A(x, y) = A_i N_i(x, y) + A_j N_j(x, y) + A_k N_k(x, y) , \quad (3.47)$$

se obțin, pentru inducția magnetică, relațiile:

$$B_x^e = \frac{1}{2S} e (c_i A_i + c_j A_j + c_k A_k) , \quad (3.48a)$$

$$B_y^e = \frac{1}{2S} e (b_i A_i + b_j A_j + b_k A_k) , \quad (3.48b)$$

$$B^e = \sqrt{(B_x^e)^2 + (B_y^e)^2} . \quad (3.49)$$

Se observă că  $B$  și deci și  $v_x(B)$ ,  $v_y(B)$  sunt constante pe un element finit.

Prin rezolvarea sistemului (3.43) se obțin valorile potențialului magnetic în nodurile rețelei iar din relațiile (3.48), (3.49) - inducția magnetică pe fiecare element.

Mărimea globală care interesează în cazul traductorului cu anizotropie magnetoelastică este fluxul mutual  $\Phi_{12}$  prin suprafața infășurării de măsură. Referindu-ne la figura 3.16 și folosind o relație cunoscută din teoria cîmpului [112], se obține

$$\Phi_{12} = \int_S \bar{B} d\bar{s} = \oint_{\Gamma} \bar{A} \cdot \bar{dl} = (A_M - A_N) \cdot g , \quad (3.50)$$

în care  $A_M$  și  $A_N$  sunt valurile potențialului în centrele galurilor corespunzătoare bobinei de măsură iar  $g$  este grosimea traductorului.

Pentru rezolvarea prin metoda elementului finit a ecuației lui Poisson (3.28), este posibilă și o altă cale, variatională, bazată pe faptul că această ecuație este ecuația Euler asociată funcționalei [22, 50, 71, 88]

$$\tilde{F} = \iint_{\mathcal{D}} \left( \int_0^{B_x} v_x B_x dB_x + \int_0^{B_y} v_y B_y dB_y \right) dx dy - \iint_{\mathcal{D}} \alpha J A dx dy. \quad (3.51)$$

Cu ajutorul relațiilor (3.47), (3.48) și a condițiilor de staționaritate

$$\frac{\partial \tilde{F}}{\partial A_i} = 0, \quad i = \overline{1, N} \quad (3.52)$$

se obțin, după efectuarea calculelor, relațiile (3.43).

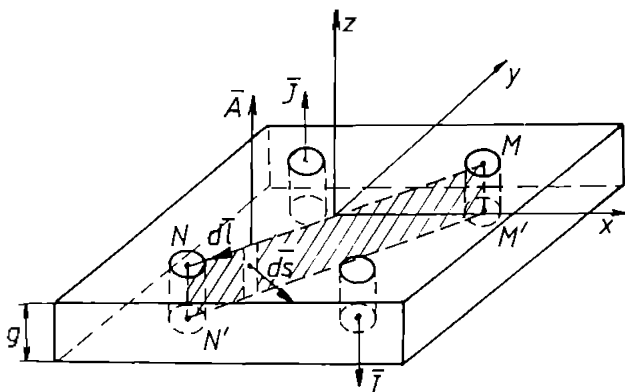


Fig. 3.16 Suprafața de calcul a fluxului  $\Phi_2$ .

Spre deosebire de procedeul variațional, metoda reziduului ponderat permite abordarea unor probleme de cimp pentru care o astfel de funcțională fie că nu există, fie este greu de formulat, cum este cazul mediilor cu bistarezis sau al problemelor în care variabila timp apare în mod explicit. În vederea unei extinderi ulterioare a modelului prezentat pentru a cuprinde cazurile menționate, a fost preferat procedeul Galerkin.

### 3.4. Implementarea modelului numeric de cimp pe un calculator Felix-PC

Algoritmul de calcul al cîmpului magnetic prin metoda elementului finit trebuie să realizeze calculul coeficientilor ecuațiilor sistemului (3.43) și respectiv rezolvarea acestui sistem. Datorită neliniarității materialului algoritmul trebuie să conțină o procedură iterativă de tratare a acestei neliniarități.

#### 3.4.1 Asamblarea matricii coeficientilor sistemului algebric și rezolvarea acestuia

Sistemul de ecuații (3.43) se poate scrie în formă matricială

$$[R] \{A\} = \{C\} \quad , \quad (3.43)$$

în care  $\{A\} = \{A_1, A_2, \dots, A_N\}^T$  este matricea coloană a potențialelor necunoscute,  $\{C\} = \{C_1, C_2, \dots, C_N\}^T$  este matricea coloană a termenilor liberi iar  $[R]$  este matricea globală a sistemului, de dimensiune  $N \times N$  ( $N$  fiind numărul nodurilor rețelei de elemente finite).

Calculul elementelor matriciei  $[R]$  se poate face explorind rețeauna de elemente finite după noauri sau după elementele finite [79]. Primul procedeu este ușor de implementat dacă numărul de elemente finite incidente unui nod nu se modifică de la nod la nod. Deocamdată domeniul studiat are o geometrie complicată, această condiție este greu de realizat. Din acest motiv pentru problema considerată s-a preferat al doilea procedeu.

Stapalele calculului sunt următoarele:

- se construiește, pornind de la rețeauna de discretizare aleasă, un tabelou, denumit LNOIS, de dimensiune  $M \times \lambda$ ,  $M$  fiind numărul de elemente finite ai rețelei; elementul LNOIS ( $e, \lambda$ ) al tabeloului din linia  $e$  și coloana  $\lambda$ , unde  $e = 1 \dots M$  iar  $\lambda = 1, 2, 3$ , reprezintă indexul global al nodului cu indexul local  $\lambda$  pe elementul finit  $e$ . În urma acestei etape se obține o "imagine" a topologiei rețelei; astfel se este

tablou stabilește o corespondență între indexarea locală a nodurilor pe fiecare element finit și indexarea globală a nodurilor obținută prin numerotarea lor în cadrul rețelei de discretizare;

- se calculează pentru fiecare element finit matricea  $[r]$  de dimensiune  $3 \times 3$ , având elementele

$$r_{\lambda\mu}^e = \frac{1}{45e} (v_y^e b_\lambda b_\mu + v_x^e c_\lambda c_\mu), \quad (3.54)$$

unde  $\lambda, \mu = 1, 2, 3$ , reprezintă indicele locali ai nodurilor elementului finit considerat;

- se transferă mărimele  $r_{\lambda\mu}^e$  în matricea  $[R]$ , în linia LNODES ( $e, \lambda$ ) și coloana LNODES ( $e, \mu$ ), adunindu-se la termeni prezenți în respectiva locație.

Matricea globală  $[R]$  prezintă următoarele proprietăți [84] :

- este simetrică (ca urmare a faptului că operatorul diferențial din ecuația (3.28) este autoadjunct).
- are structură de bandă (datorită proprietății (3.56) a funcțiilor de formă).
- este pozitiv - definită.

ACESTE PROPIETĂȚI SINT UTILIZATE LA SCRIREA PROGRAMULUI DE ASAMBLARE A MATRICII  $[R]$  CI A CELUI DE REZOLVARE A SISTEMULUI (3.53).

Intr-un mod analog se asamblează și matricea coloana  $\{G\}$ . Termenii  $g_\lambda^e$  ( $\lambda = 1, 2, 3$ ), calculați cu relația (3.45), se adună la termenii din liniile LNODES ( $e, \lambda$ ) ale matricii  $\{G\}$ .

Condițiile pe frontieră (3.29) se introduc după asamblarea matricilor  $[R]$  și  $\{G\}$  în modul următor:

- se atribuie valori nule elementelor  $g_K$  ale matricii  $\{G\}$  situate în liniile  $K$  pentru care sunt impuse condițiile pe frontieră  $A_K = 0$ ;
- se atribuie valori unitare termenilor diagonali  $r_{KK}$  din matricea  $[R]$  care corespund nodurilor pentru care sunt impuse condițiile pe frontieră  $A_K = 0$ ; se atribuie valori nule celorlalți termeni din liniile și coloanele determinate de termenii diagonali considerați.

După aceasta etapă rămîne de rezolvat un sistem algebric de  $N - N_F$  ecuații (N = numărul total de noduri al rețelei

lei de discretizare,  $N_f$  - numărul nodurilor de pe frontieră pentru căreia  $A = 0$ ). Pentru rezolvarea sistemului s-a ales metoda eliminării a lui Gauss. Proprietățile matricii  $[R]$ , enumerate anterior, favorizează utilizarea acestei metode. Nu este necesară pivotarea în cadrul eliminării Gauss decarege fiecare minor principal al matricii  $[R]$  este pozitiv definit [34]. În cadrul etapei de eliminare are loc un proces de cumulare a erorii, care este însă foarte redus, iar în etapa de substituție inversă acest proces însoțează [84]. Procedeu eliminării Gauss este astfel foarte bine condiționat și foarte eficient în acest caz.

Un alt avantaj al eliminării Gauss, esențial în cazul implementării metodei elementului finit pe calculatoare de tip PC, depurge din faptul că în cursul procesului de eliminare nu este necesar ca în memoria operativă să existe întreaga matrice  $[R]$  ci doar două partiții ale acestei matrici, fiecare de dimensiune  $LSB \times LSB$ ,  $LSB$  fiind lățimea semibenzi matricii  $[R]$ . În acest fel se extind considerabil dimensiunile sistemului care poate fi rezolvat pe un anumit calculator [121].

#### 3.4.2. Tratarea neliniarității materialului

Datorită neliniarității materialului feromagnetic reluctivitatea magnetică este dependentă de valorile cîmpului. Din acest motiv termenii matricii  $[R]$  nu pot fi calculați dacă admitînd valori fie pentru cîmp, după care se calculează reluctivitățile din dependența  $\psi = \psi(B)$ , fie direct pentru reluctivități. În ambele situații, după rezolvarea sistemului (3.53), valorile admise inițial trebuie comparate cu cele obținute în urma rezolvării sistemului și în caz de neconcordanță calculul trebuie reluat. Convergența și viteza de convergență a acestui proces iterativ depind în mod esențial de forma curbei de magnetizare  $B = B(H)$ . Convergența se poate asigura prin introducerea unui factor de subrelaxare  $f$  ( $0 < f < 1$ ). În aceasta situație reluctivitatea cu care se pornește ciclul (3.51) de rezolvare a sistemului (3.53) se determină cu relația

$$\psi_u^{(k+1)} = \psi_u^{(k)} + f_u (\psi_u - \psi_u^{(k)}) , \quad u = x, y \quad (3.55)$$

$v_u^{(k)}$

fiind reluctivitatea de pornire a iterării ( $\Delta$ ) iar  $v_u$  reluctivitatea calculată pe baza curbei de magnetizare folosind valorile de cimp obținute în urma rezolvării sistemului algebric în cadrul iterării ( $K$ ).

O valoare mică a factorului de subrelaxare îmbunătățește convergența procesului dar reduce viteza de convergență, fiind necesare multe iterări și corespunzător, un timp de calcul mare.

În cazul curbelor de magnetizare cu o curbură pronunțată a ocului, caracteristică aliajelor amorfă, convergența și viteza de convergență se îmbunătățesc dacă se admite pe fiecare element finit un factor de relaxare, dependent de abaterea  $v_u - v_u^{(k)}$  pe acel element finit. În acest scop în literatură de specialitate sunt propuse diferite relații, dintre care s-a ales următoarea [60] :

$$\frac{1}{f_{v_u}} = e^{-\alpha \lg |v_u - v_u^{(k)}|}, \quad (3.56)$$

$\alpha > 0$  fiind un parametru ales convenabil. Dependența acestui factor de argumentul  $x = |v - v^{(k)}|$  este redată în figurile 3.17 a și b, pentru diferite valori ale lui  $\alpha$ . După cum se remarcă din figura 3.17 b, pentru  $|v - v^{(k)}| < 1$ ,  $f > 1$ , deci apare o suprarelaxare.

Din acest motiv, în cursul procesului iterativ, se constată oscilații ale mărимilor calculate atunci când  $v$  calculat se apropiie de valoarea lui  $v^{(k)}$  acceptată. Aceste oscilații sunt de mică amplitudine și pot fi controlate printr-o alegere judicioasă a parametrului  $\alpha$ . Din analiza relației (3.56) se observă că pentru valori ale lui  $\alpha \leq \frac{1}{\lg e} \approx 2,3$  produsul  $f_{v_u} |v - v^{(k)}| \leq 1$ , dacă  $|v - v^{(k)}| \leq 1$ .

Așind în vedere că  $v \gg 1$  rezultă că influența termenului oscilant  $f_{v_u} |v - v^{(k)}|$  în relația (3.55) este redusă.

Pentru calculul reluctivității  $v$  este necesară modelarea curbelor  $B = B(H)$  sau  $v = v(B)$  determinate experimental fie prin expresii analitice fie prin polinoame de interpolare. Măsura în care modelul reproduce curba experimentală este exprimată printr-un factor de merit [115], definit prin relația

$$K = \frac{\left| \int_{H_1}^{H_2} [B(H) - B_a(H)] dH \right|}{\left| \int_{H_1}^{H_2} B(H) dH - \frac{[B(H_1) + B(H_2)](H_2 - H_1)}{2} \right|}, \quad (3.57)$$

$B(H)$  fiind curba experimentală,  $B_a(H)$  aproximanta, iar  $H_1$ ,  $H_2$  intervalul în care se efectuează aproximarea.

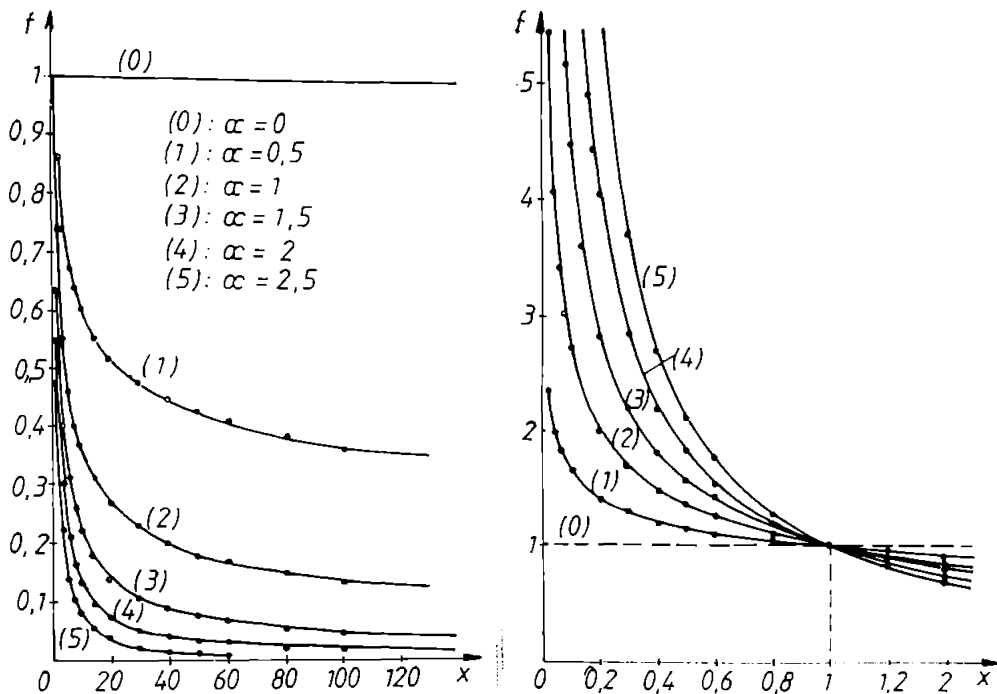


Fig. 3.17 Dependența factorului de subrelaxare  $f$  de argumentul  $x = |\nu - \nu^{(k)}|$  și de parametrul  $\alpha$ :  
a) cazul  $x > 1$ ; b) cazul  $x < 1$ .

Modelarea prin expresii analitice este laborioasă sub aspectul determinării coeficienților care apar în aceste expresii, iar dacă relația analitică este complicată, timpul

de calcul în cursul procesului iterativ este mare. Cele mai bune aproximări analitice asigură în factor de merit de cca 0,01 [115].

Aproximarea prin polinoame de interpolare are o flexibilitate mai mare decât cea analitică. Datele experimentale pot fi folosite aproape fără alte calcule suplimentare pentru generarea aproximantei. Tinind cont de faptul că în problema considerată valorile reluctivităților trebuie calculate pe fiecare element finit în parte, după axele  $x$  și  $y$ , la fiecare iterație, procedura de interpolare trebuie să fie foarte rapidă. O soluție convenabilă constă în folosirea interpolării liniare pe porțiuni [115]. Curba de magnetizare se divizează în porțiuni, aproximată apoi prin segmente de dreaptă. Dacă divizarea se face într-un anumit mod, timpul de căutare al segmentului în care se face interpolarea nu depinde de numărul de segmente. Se poate face astfel o divizare oricără de fină a curbei fără a afecta timpul de calcul. Practic finșterea divizării este limitată de rezoluția determinărilor experimentale sau a reprezentării grafice a curbei  $B = B(H)$ . Datele necesare implementării acestui procedeu se obțin în modul următor:

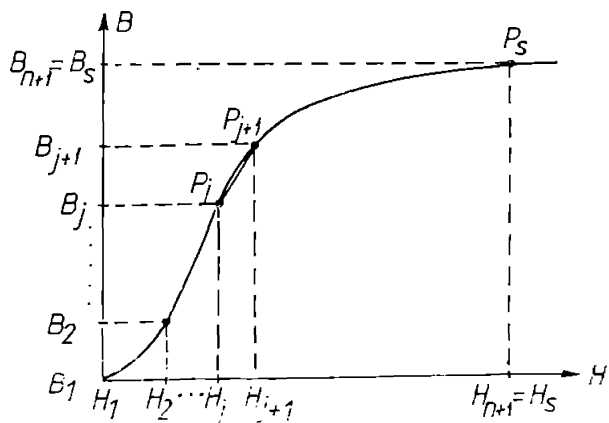


Fig. 3.18 Aproximarea curbei de magnetizare experimentală prin segmente de dreaptă.

- se stabilește pe graficul  $B = B(H)$  determinat experimental punctul  $P_s(B_s, H_s)$  în care materialul poate fi considerat saturat (Figura 3.18);

- intervalul  $0 - B_s$  de pe axa ordonatelor se divizează în  $n$  subintervale identice, de lățime  $\Delta B$ ;

- se citesc și se memorază valorile  $B_j, H_j$  ( $j=1, n+1$ ) asociate acestei divizări.

Calculul reluctivității corespunzătoare unei valori  $B$  a cîmpului magnetic, rezultată în urma rezolvării sistemului algebric, descurge astfel:

- dacă  $B \leq B_s$  se determină subintervalul  $j$  care-l conține pe  $B$ , cu relația

$$j = \left[ \frac{B}{\Delta B} + 1,0 \right] , \quad (3.58)$$

paranteza dreaptă simbolizând funcția "partea întreagă" a expresiei din paranteză, iar apoi se calculează  $\psi(B)$  cu relația de interpolare liniară:

$$\psi = \frac{(B - B_j) \cdot \frac{H_{j+1} - H_j}{\Delta B} + H_j}{B} ; \quad (3.59)$$

- dacă  $B > B_s$ ,  $\psi(B)$  se calculează cu relația

$$\psi = \frac{(B - B_{n+1}) \psi_0 + H_{n+1}}{B} , \quad (3.60)$$

$\psi_0$  fiind reluctivitatea vidului.

In acest caz, al divizării uniforme a axei inducției magnetice, timpul de căutare al subintervalului în care se găsește  $B$ , nu depinde de numărul de subintervale.

Se poate accepta și o divizare neuniformă, în scopul utilizării directe a valorilor  $(B, H)$  determinate experimental, fără a mai fi necesară trasarea graficului  $B(H)$ . În acest caz relația (3.58) nu mai este valabilă iar determinarea subintervalului se realizează prin comparații succesive ale valoarei lui  $B$  cu valorile  $B_j$  ( $j=1, n+1$ ), ceea ce mărește timpul de calcul.

Factorul de merit al acestui procedeu ajunge la valoarea 0,01 dacă  $n \geq 20$  [115]. Timpul de calcul este mai redus

decit la aproximările analitice iar necesarul de memorie ceva mai mare.

### 3.4.3. Ordinograma algoritmului de calcul

Datele de intrare necesare sint:

- coordonatele nodurilor rețelei de discretizare și domeniului studiat; aceste date sunt conținute într-un fișier denumit " 2pecrd.inp ";
- tabelul de conectivitate LNOIS; datele sunt conținute în fișierul " 2petpl.inp ";
- valorile densităților de curent pe elementele finite care corespund găurilor A și B (Figura 3.15); datele sunt conținute în fișierul " 2peifg.inp ";
- nodurile în care valorile potențialului vector sunt impuse prin condițiile Dirichlet,  $A_k = 0$ ; fișierul respectiv este " 2perfld.inp ";
- valorile  $(B_j, H_j)$  în care a fost divizată curba de magnetizare; datele se găsesc în două fișiere, corespondențe celor două curbe de magnetizare ( după direcția x respectiv y ), denumite " bpx.tab " și " bhy.tab ";
- valorile reluctivităților pe fiecare element, necesare pornirii primei iterări; aceste valori, ce corespund porțiunilor liniare a celor două curbe de magnetizare, sunt conținute în fișierul " 2peprm.inp ".

Ordinograma programului de calcul este prezentată în figura 3.19.

După citirea datelor necesare calculului expresiilor (3.44) și (3.45), urmează asamblarea matricilor  $[R]$  și  $[G]$ , după procedura prezentată în paragraful 3.41. După introducerea condițiilor pe frontieră urmează rezolvarea sistemului algebric (3.23) prin metoda eliminării Gauss. Valorile obținute pentru A în nodurile rețelei de discretizare, sunt salvate în fișierul " 2perfld.out ". Se calculează apoi inducția magnetică pe fiecare element finit cu relațiile (3.48),(3.49) iar apoi, prin procedeul de interpolare liniară al curbelor de magnetizare, reluctivitățile  $\Psi_x(B)$  și  $\Psi_y(B)$  corespondențe. După calculul factorului de subrelaxare ( cfr. rel. 3.16 ) se calculează valorile corectate ale reluctivităților, cu relația (3.55). Aceste valori sunt salvate în fișierul " 2peprm.out ".

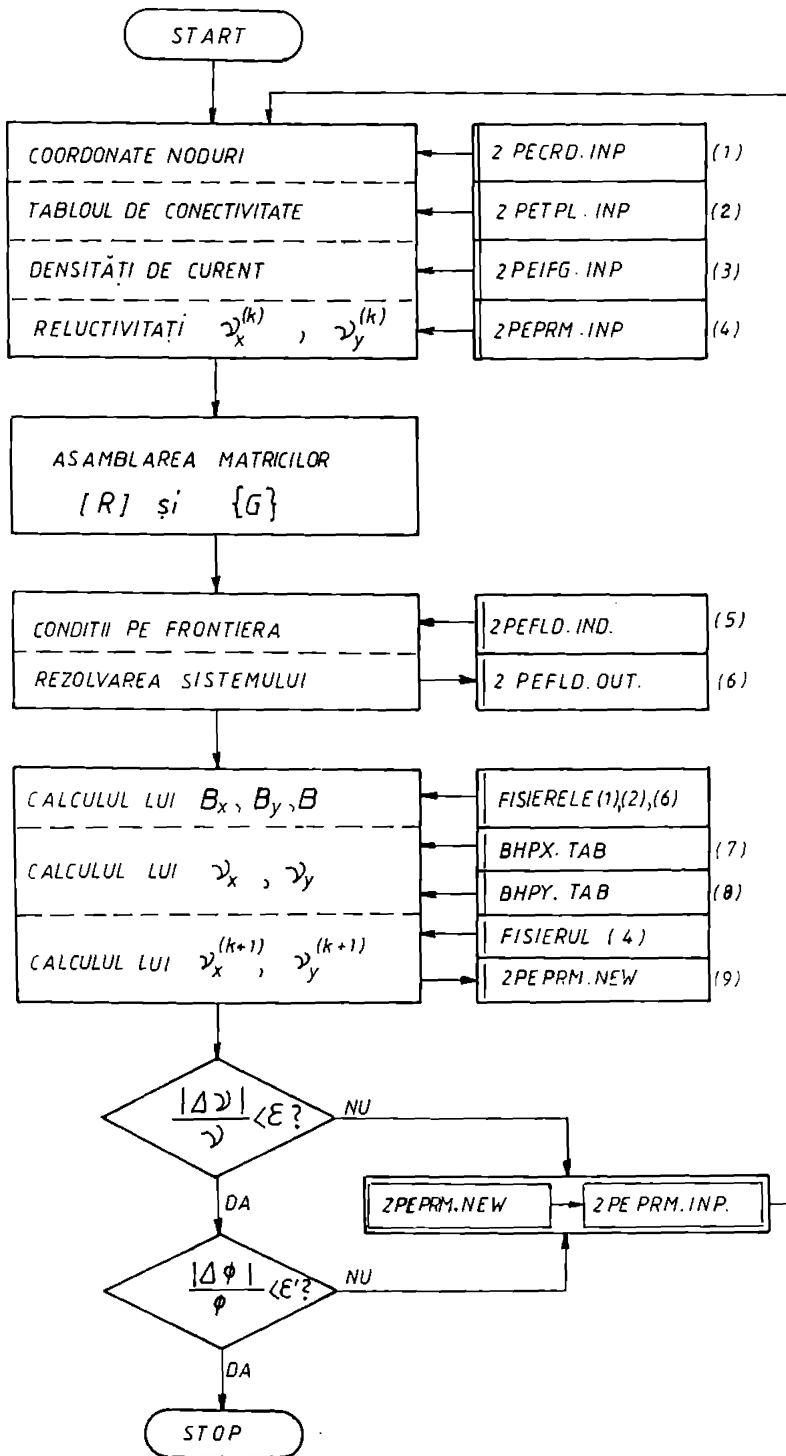


Fig.3.19. Ordinograma algoritmului de calcul

Se compară apoi aceste valori cu cele cu care s-a porât iterația. Dacă erorile relative pe fiecare element și direcție sunt sub o valoare impusă  $\xi$ , se calculează fluxul mutual  $\phi_{12}$ , cu relația (3.50). Se compară și această valoare cu valoarea obținută în iterația precedentă. În caz că abaterea relativă este sub o valoare impusă  $\xi'$ , calculul se oprește. Este necesar acest al doilea test de convergență deoarece s-a constatat că abateri relativ reduse în valorile reluctivităților determină abateri relativ mari ale fluxului mutual (datorită comportării de punte magnetică a acestui tip de traductor).

Nefindăplinirea unuia din cele două teste de convergență, determină reluarea calculului.

Algoritmul prezentat (scris în limbaj FORTRAN 77) a fost rulat pe un calculator ESILIK-PC, cu coprocesor, memorie RAM de 640 KB și două unități de disc flexibil de 5,25" dubla față-dublă densitate. Durata unei iterări, pentru o rețea de discretizare cu 205 noduri și 376 elemente finite este de cca. 2 minute. O componentă importantă în această durată o constituie operațiile de citire și salvare pe discul flexibil. Prin folosirea unui hard-disc durata unei iterări se reduce cu cca 25%.

### 3.5. Utilizarea modelului numeric pentru calculul elektromagnetic al unui traductor fizic

#### 3.5.1. Calculul potentialului magnetic $A$ , al fluxului $\phi_{12}$ și a valorii medii a t.e.m. induse $U_{zomed}$ .

Modelul de calcul prezentat a fost aplicat pentru calculul câmpului magnetic la un traductor realizat dintr-un material amorf cu compoziția CoFeNiSiB ( $\lambda_s < 0$ ), avind forma și dimensiunile reprezentate în figura 3.20. Grosimea traductorului este de  $35 \mu\text{m}$ . Solicitarea mecanică a traductorului este determinată de forțe de întindere dirijate după axa y. S-a ales acest mod de solicitare întrucătă determină, pentru materialele cu  $\lambda_s < 0$ , un efect magnetoelastic maxim (cf. cap. 1 și 2). În plus, această solicitare este ușor de realizat experimental.

Folosind probe rectilinii, cu lungimea 200mm și latimea de 1,5 mm, din același material ca și traductorul, s-au

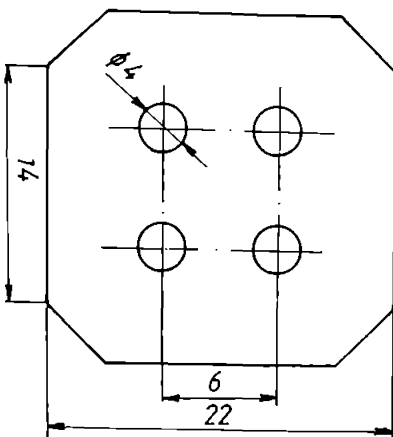


Fig 3.20 Geometria domeniului pentru care se efectuează calculul de cimp

ridicat curbele de magnetizare, cu instalația reprezentată în figura 2.1, pentru diferite eforturi de întindere aplicate. Aceste curbe, reprezentate în figura 3.21, vor constitui baza de date pentru calculul reluctivităților în cadrul algoritmului de calcul.

Valorile reluctivităților după direcția 0-x sunt calculate pe baza curbei (1), corespunzătoare stării nesolicităte a materialului. Reluctivitățile după direcția 0-y se vor calcula din curba (1) pentru situația cînd traductorul este nesolicităt, respectiv din curbele (2) și (5), în situațiile cînd placă traductorului este succesiv solicitată la întindere, în lungul axei y, de eforturile unitare  $\sigma = 25, 50, 75, 100 \text{ MPa}$ .

Rețeaua de discretizare a placii feromagnetice, formată din 205 noduri și 376 elemente finite este reprezentată în figura 3.22.

Pentru fiecare stare de solicitare mecanică a traductorului s-au efectuat mai multe serii de calcule, avînd densitatea de curent j drept parametru.

Verificarea valorilor de cimp obținute s-a efectuat prin calculul tensiunii magnetomotoare pe cîteva curbe inchise

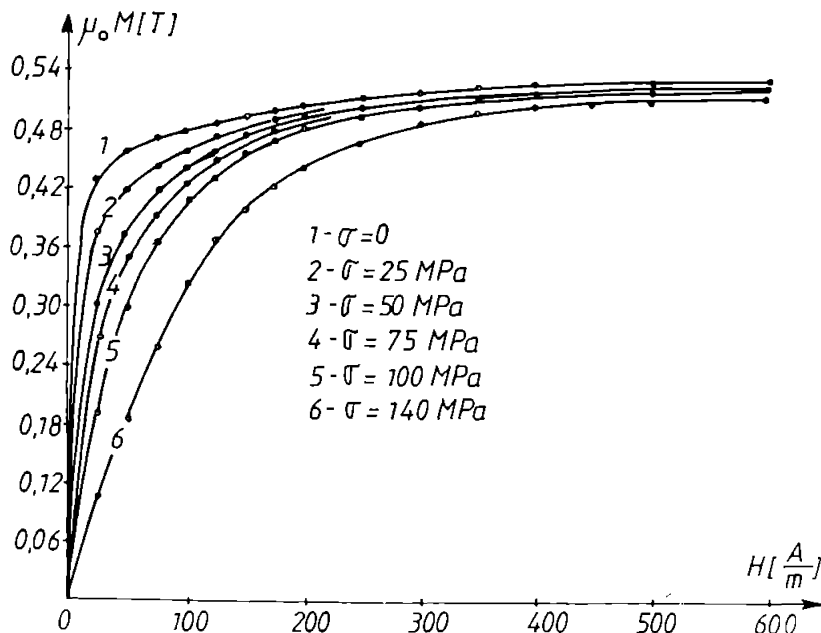


Fig. 3.21 Curbele de magnetizare ale aliajului amorf CoFeNiSiB la diferite eforturi de întindere aplicate.

constatindu-se abateri de cca 10 - 15 % față de valoriile precise de legea circuitului magnetic. Aceste abateri sunt acceptabile având în vedere numărul relativ redus al nodurilor rețelei de discretizare.

Modificarea spectrului liniilor inducției magnetice (curbele de potențial magnetic constant) cu încărcarea mecanică, pentru o anumită valoare a densității de curent, este reprezentată în figura 3.23. Se observă că în zona activă a trădutorului, cuprinsă între cele patru găuri, cimpul  $B$  este practic uniform.

Cu ajutorul valorilor calculate ale potențialului magnetic  $A$  s-au determinat dependențele  $\Phi_{12} = \Phi_{12}(J)$  și  $M_{12} = M_{12}(J)$ ,  $M_{12}$  fiind inductivitatea mutuală, pentru stările de solicitare mecanică considerate. Aceste dependențe sunt reprezentate în figura 3.24,  $\Phi_{12}^*$  și  $M_{12}^*$  fiind mărimi raportate la grosimea plăcii ( $\Phi_{12}^* = \Phi_{12}/z$ ,  $M_{12}^* = M_{12}/z$ ).

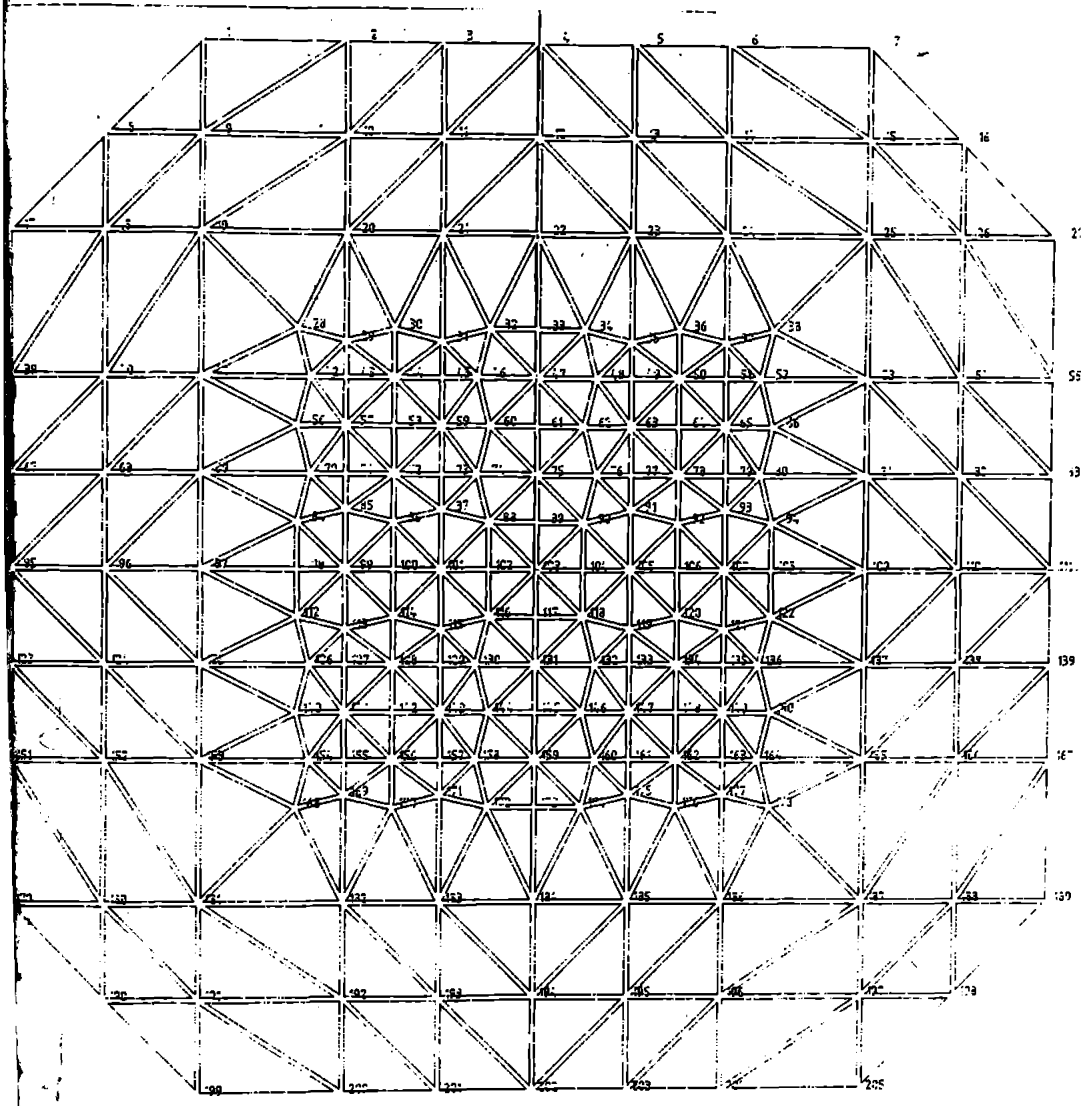
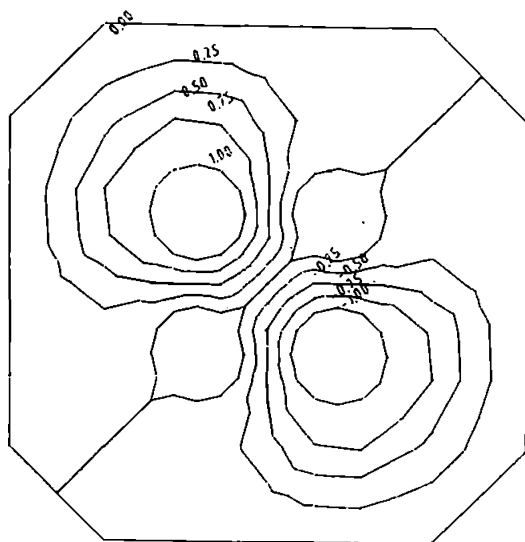
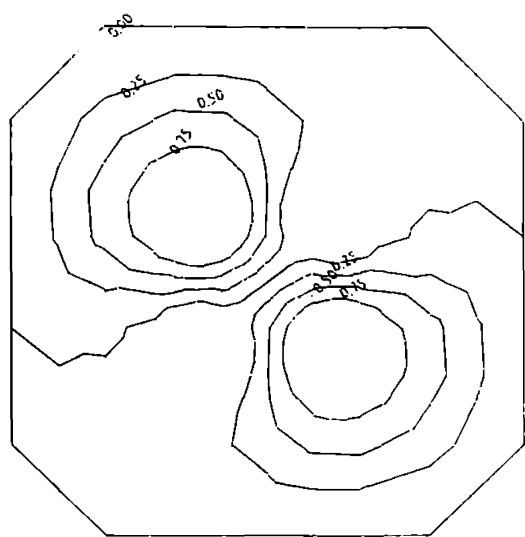


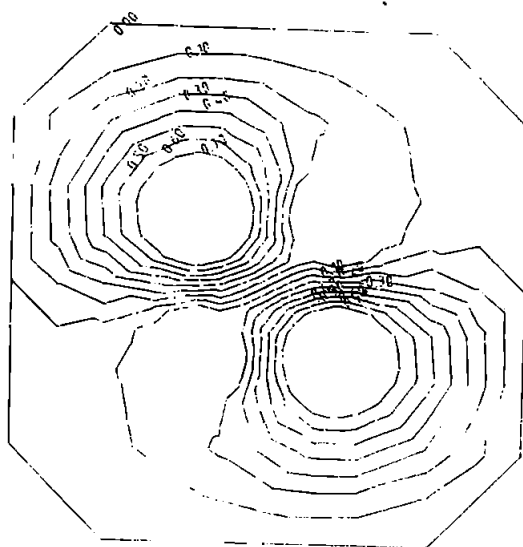
Fig.3.22. Rețeaua de discretizare a domeniului studiat.



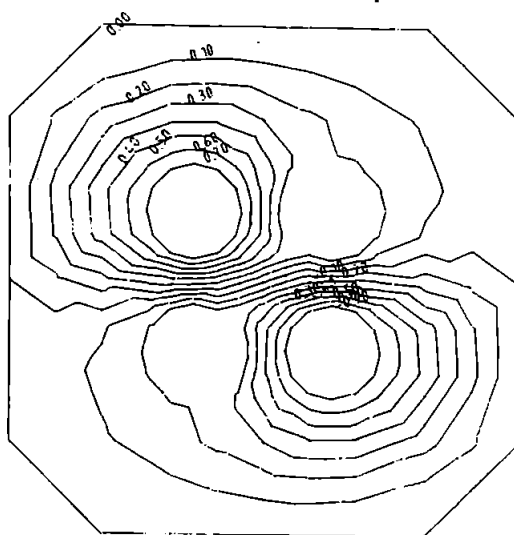
a).



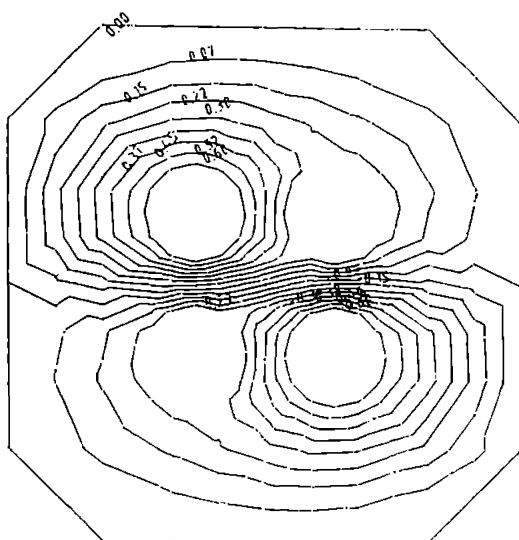
b).



c).



d).



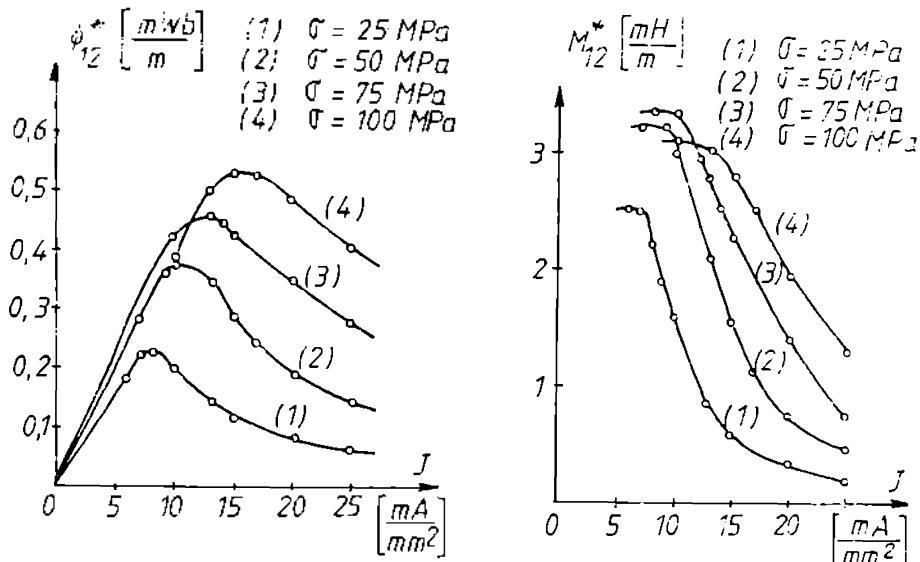


Fig. 3.24 a) - flukul mutual, pe unitatea de grosime a plăcii, la diferite eforturi unitare;  
b) - inducțivitatea mutuală, pe unitatea de grosime a plăcii, la diferite eforturi unitare.

înainte materialul din zona activă să fie saturat magnetic.

Mărimea  $\Phi_{12}$  nefiind măsurabilă direct, traductorul se alimentează în curent alternativ sinusoidal, măsura stării de încărcare mecanică fiind în această situație t.e.m. indușă în înfășurarea secundară.

Cazul  $J = J_m \sin \omega t$ , este tratat ca o succesiune de stări staționare, fiecare stare corespunzând unei valori discrete  $J(t_k)$ ,  $k = \overline{0, n}$ ,  $n$  fiind numărul de subintervale în care se divide perioada  $T$  a curentului de alimentare. Acest mod de abordare nu ține cont de cimpul magnetic produs de curentii turbionari care apar în placă feromagnetică datorită regimului variabil de alimentare. În cazul materialelor amorfă acest cimp poate fi neglijat atât datorită faptului că rezistivitatea lor este de 2 ÷ 3 ori mai mare decât a celor cristaline, cit și datorită grosimii foarte mici a benzii amorfă ( $35 \mu\text{m}$ ).

Traductorul analizat este utilizat în special pentru măsurarea forțelor statice sau lent variabile, ceea ce permite obținerea unei frecvențe joase pentru curentul de alimentare (50Hz), justificând astfel ipoteza neglijării curentilor turbionari.

Din curbele  $\Phi_{12} = \Phi_{12}(j)$  din figura 3.24a se observă că pentru  $j = J_m \sin \omega t$  rezultă o dependență  $\Phi_{12} = \Phi_{12}(t)$  care se repetă la  $T/4$  (abstracție făcind de semn). Pentru o perioadă de valori  $J_m$  și  $T$  date, divizând intervalul  $0-T/4$  în  $n$  subintervale, din figura 3.24a se pot calcula valorile discrete ale fluxului  $(\Phi_{12})_k$  corespunzînd valorilor discrete ale densităților de curent  $J = J_m \sin(k\pi/2n')$ ,  $k=0, n'$ .

Cu ajutorul valorilor  $(\Phi_{12})_k$  se poate găsi, prin interpolație, o aproximare analitică  $\Phi_{12}(t)$  din care apoi, prin derivare, se obține o expresie analitică, aproximativă, a tensiunii secundare  $u_{20}(t)$ . Parametrii măsurabili  $U_{20med}$  (valoarea medie a tensiunii secundare) respectiv  $U_{20}^{(1)}$  (armănie fundamentală a tensiunii) se obțin din această expresie prin analiză Fourier. Procedura este delicate decareces prin derivare erorile de interpolare se accentuează.

Parametrul  $U_{20med}$ , care este ușor de măsurat practic, poate fi găsit ușor, săcă cum se va arăta în continuare, direct din șirul de valori discrete  $(\Phi_{12})_k$ .

Presupunînd pentru  $\Phi_{12}(t)$  forma generală de variație din figura 3.25, unde sunt marcate intervalele de monotonie ale funcției  $\Phi_{12}(t)$  și extremitățile locale  $\phi_k = \phi(t_k)$ , se obține:

$$\begin{aligned}
 U_{20med} &= -\frac{1}{T} \int_0^T |u_{20}(t)| dt = -\frac{N_2}{T} \sum_k \int_{t_k}^{t_{k+1}} \left| -\frac{d\Phi_{12}}{dt} \right| dt = \\
 &= -\frac{N_2}{T} \sum_k \int_{\phi_k}^{\phi_{k+1}} |\phi'| = -\frac{2N_2}{T} (\phi_1 + \phi_3 + |\phi_4| + |\phi_6| - \\
 &\quad - \phi_2 - |\phi_5|) = \\
 &= -\frac{2N_2}{T} \left( \sum |\phi_{\max}| - \sum |\phi_{\min}| \right). \tag{3.61}
 \end{aligned}$$

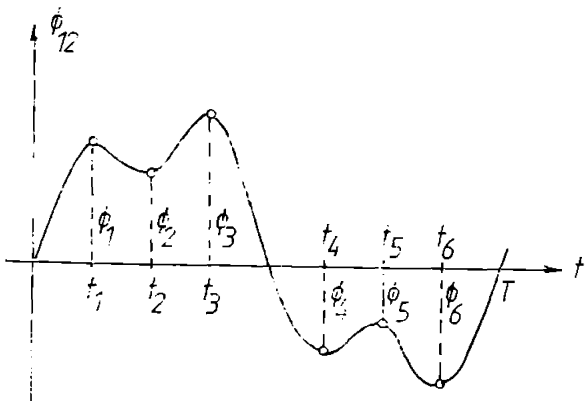


Fig.3.25 Figură explicativă pentru calculul valorii medii a tensiunii induse,  $(U_{2o})_{med}$ .

unde  $\phi_{max}$ ,  $\phi_{min}$  reprezintă un maxim respectiv un minim local, iar  $N_2$  numărul de spire al infăşurării de măsură. Sumele se extind pe numărul total de maxime respectiv de minime locale de pe o semiperioadă.

Se poate observa cu ajutorul figurii 3.24 a, că curba de variație a fluxului  $\phi_{12}(t)$  prezintă, pe o perioadă T, patru maxime locale egale și două minime locale, de asemenea egale între ele:

$$\phi_1 = \phi_3 = |\phi_4| = |\phi_6| ,$$

$$\phi_2 = |\phi_5| .$$

Relația (3.61) devine în acest caz:

$$(U_{2o})_{med} = \frac{4N_2}{T} (2\phi_1^* - \phi_2^*) g . \quad (3.62)$$

Valoarea  $\phi_1^*$  corespunde maximului funcției  $\Phi_{12}^*(J)$  (Fig.3.24a) iar  $\phi_2^*$  valoarii  $J_m$  considerate.

### 3.5.2. Verificări experimentale și analiza erorilor

Dispozitivul experimental folosit pentru verificarea rezultatelor teoretice, este reprezentat în figura 3.26.

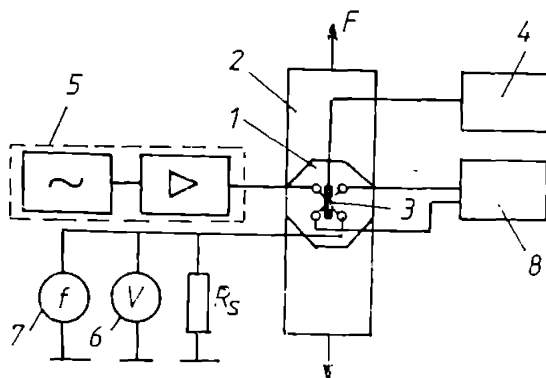


Fig. 3.26 Instalația experimentală pentru verificarea rezultatelor calculului numeric: 1-traductor, 2-placă suport, 3-timbru tensometric, 4-tensometru, 5-generator de curent constant, 6-voltmetru, 7-frecvențmetru, 8-nanovoltmetru-

Traductorul (1) este lipit, cu un adeziv cianoacrilic, pe o placă (2) din oțel nemagnetic, cu dimensiunile  $150 \times 22 \times 3$  mm, în care sunt perforate patru orificii care se corespund cu cele din traductor.

Prelucrarea mecanică a traductorului din banda amorfă necesită anumite precauții. În primul rînd, prelucrarea nu trebuie să introducă tensiuni mecanice interne, care să perturbe cîmpul de tensiuni determinat de forță aplicată traductorului. Din acest motiv conturul traductorului s-a prelucrat prin electroeroziune. Temperaturile locale mari care apar în acest procedeu determină modificări locale ale structurii amorse și deci modificări ale proprietăților magnetoelastice. Intru-șît zona activă a traductorului este cea dintre găuri,

aceste modificări de pe frontieră nu au un efect pronunțat asupra caracteristicii de transfer a traductorului. Performanța găurilor pentru înfășurări s-a efectuat printr-o tehnologie de eroziune chimică, în scopul reducerii la un minim a transmisiilor interne și a modificărilor structurale în zona activă a traductorului.

Pe placă este lipit în zona dintre găuri un timbru tensometric (3) miniatușă (de fabricație Hottinger), conectat la un tensometru (4), tip N2301. Înfășurarea de alimentare a traductorului, avind  $N_1 = 10$  spire, este alimentată de la o sursă de curent constant (5), cu amplitudine și frecvență reglabile. Frecvența se măsoară cu frecvențmetrul numeric (7), iar valoarea curentului cu voltmetrul numeric (6) - tip V541 - prin cădere de tensiune pe sunțul de precizie  $R_s$ . Valoarea medie a tensiunii induse de înfășurarea de măsură ( $N_2 = 100$  spire) se măsoară cu nanovoltmetrul (3) - tip lock-in, Unipan237.

Traductorul este alimentat cu un curent sinusoidal cu frecvență 50 Hz și cu amplitudine  $i_m = J_m S_g / N_1$  constantă,  $S_g$  fiind aria unei găuri, iar  $J_m$  densitatea de curent folosită la calculul tensiunii  $(U_{20})_{med}$ .

Placa (2) este introdusă într-o mașină de încercări la tracțiune și solicitată astfel încât efortul unitar în zona dintre plăci după direcția de acțiune a forței de întindere, determinat cu tensometrul (8), să corespundă valorilor pentru care s-au efectuat calculele.

Valorile pentru  $(U_{20})_{med}$  obținute în urma calculului cu relația (3.62), respectiv în urma măsurătorilor cu dispozitivul desoris, sunt prezentate în tabelul 3.1, pentru trei valori ale amplitudinii densității de curent.

Pentru valorile măsurate, luând în considerare aparatul și metodele folosite, se estimează erori de măsură de maxim 3%. Valorile calculate, la rîndul lor, sunt afectate de două grupe de erori: (a) erori de model, datorate ipotezelor enumerate în paragraful 3.2.2; (b) erori de discretizare, specifice metodei numerice folosite.

Este dificil de identificat, separat și evaluat cantitativ ponderea fiecărei surse de erori în rezultatul final. O analiză calitativă relevă faptul că unele surse de erori se compensează parțial. Spre exemplu ipoteza concentrării cimpur-

Tabelul 3.1: Valorile calculate și măsurate ale tensiunii redresate medii de pe bobina de măsură

$\sigma$ [MPa]	(U20)med [mV]								
	Jm=15 mA/mm (im=18,85 mA)			Jm=20 mA/mm (im=25,13 mA)			Jm=25 mA/mm (im=31,42 mA)		
	calc.	mas.	$\epsilon [\%]$	calc.	mas.	$\epsilon [\%]$	calc.	mas.	$\epsilon [\%]$
25	0,229	0,244	6,70	0,248	0,259	4,42	0,262	0,272	3,92
50	0,314	0,332	6,04	0,383	0,420	9,67	0,415	0,436	5,11
75	0,339	0,350	3,26	0,389	0,423	8,88	0,441	0,457	3,53
100	0,369	0,394	6,82	0,399	0,415	4,13	0,451	0,473	4,88

lui magnetic în placă duce la o supraevaluare a cîmpului în timp ce ipoteza repartiției uniforme a spirelor pe suprafața găurilor conduce la o subevaluare a cîmpului, față de situația reală, corespunzătoare modelului experimental de traductor.

O sursă importantă de erori o constituie ipoteza stării uniforme de tensiuni mecanice în traductor. Prezența găurilor determină o stare neuniformă de eforturi, cu atît mai accentuată cu cît raportul dintre diametrul unei găuri și distanța dintre găuri este mai mare [ 68,104 ]. Ca urmare atît valoarea eforturilor principale  $\sigma_x$ ,  $\sigma_z$  cît și direcțiile principale (axele de anizotropie magnetoelastica) se modifică de la punct la punct.

Timbrul tensometric plasat pe traductorul experimental acoperă toată zona activă dintre găuri, măsurîndu-se astfel un efort mediu după direcția forței aplicate,  $(\bar{\sigma}_x)_{med}$ . Identificarea acestor mărini cu efortul uniform  $\sigma'$  folosit în calculul numeric atenuează într-o carecare măsură efectul ipotezei admise în modelul teoretic.

Atât modelul teoretic cît și precizia metodei numerice

pot fi îmbunătățite dacă se dispune de un sistem de calcul electronic puternic. O astfel de dezvoltare, care implică un efort de calcul considerabil, nu este întrutotul justificată decarece predeterminarea precisă a parametrilor unui traductor real exclusiv prin calcul, este întrinsec limitată de o serie de factori cum ar fi dispersia proprietăților de material, modificarea proprietăților de material în urma prelucrării mecanice a traductorului, etc.

Modelul prezentat permite o evaluare cantitativă a parametrilor relevanți ai traductorului într-o plajă de valori care nu-i conferă calități metrologice deosebite, permitînd însă o apreciere corectă a evoluției acestor parametrii dacă se modifică geometria traductorului, materialul folosit sau condițiile de alimentare. Modelul este util pentru efectuarea unor experimente "numerice", cu un consum redus, atât material cît și de timp, în direcția optimizării acestor traductoare.

## C A P I T O L U L    I V

### APLICATII TEHNICE ALE TRADUCTOARELOR DE FORȚA DE TIP MAGNETOELASTIC

#### 4.1. Sisteme de măsurare a forțelor

Un sistem de măsurare a forțelor cuprinde, în general, captorul de forță și un bloc de prelucrare electrică sau electronică. Captorul de forță este format din trădutorul propriu-zis și din mai multe elemente mecanice cu rolul de a selecta din solicitarea la care este supus doar componenta care se dorește să fie măsurată. Blocul de prelucrare procesează semnalul primar furnizat de trădutor aducându-l la o formă accesibilă direct operatorului uman. Acest bloc de asemenea corectează caracteristica de transfer a trădutorului astfel că pe ansamblu sistemul de măsurare să satisfacă performanțele metrologice impuse. Caracteristicile tehnice pe care firmele producătoare de echipamente de măsurare a forțelor le oferă, se referă la ansamblul captor-bloc de prelucrare și nu la trădutorul izolat.

Performanțele cerute de la un sistem de măsurare a forțelor diferă, în funcție de destinație acestuia. Măsurarea forțelor are, în general, două destinații:

- a) măsurarea forțelor în scopul determinării solicitării unui material sau al unui organ de mașină;
- b) măsurarea forțelor în scopul determinării masei (greutății) unui obiect

În primul caz, sunt necesare măsurări cu precizii cuprinse între 0,1% și 10%, într-un domeniu de frecvență foarte larg. În al doilea caz, al cintăririlor, precizia variază între (0,1 ± 1)% pentru cintăririle industriale și sub 0,1% pentru cintăririle comerciale. Cintăririle au loc, de regulă, în regim cvasistatic.

Criteriile primare de alegere a unui anumit sistem de

măsurare pentru o aplicație dată se referă la domeniul de măsurare (forță nominală) și la clasa de precizie. Referitor la captorul de forță se au în vedere o serie de criterii secundare cum ar fi: imunitatea la influențe parazite, domeniul de frecvență, dimensiunile de gabarit, cheltuielile de întreținere, fiabilitatea, dureata de viață, g.a.

Evaluarea procedurilor de măsurare a forțelor și a principiilor fizice pe care se bazează traductoarele folosite, sub aspectul aplicațiilor lor tehnice, este dependentă de momentul la care se face această evaluare, datorită ritmului foarte rapid de dezvoltare a acestor proceduri.

În momentul de față, în domeniul de măsură 1 kN ± 1.1, care este cel mai ușual, s-au impus următoarele tipuri de traductoare:

- a) timbre rezistive - datorită preciziei de măsurare ridicată;
- b) traductoare magnetoelastice - datorită robustetii;
- c) traductoare piezoelectrice - datorită frecvenței de lucru ridicată.

ACESTE TIPURI DE TRADUCTOARE SINT ÎN CONTINUĂ DEZVOLTARE, ÎNDEOSEBI PRIVIND PRECIZIA SI ROBUSTETEA.

O comparație între principalele caracteristici tehnice ale traductoarelor magnetoelastice și tensorezistive este prezentată în Tabelul 4.1.

Sistemele de măsurare cu traductor magnetoelastice sunt impus în aplicațiile în care condițiile de mediu sunt ostile, dimensiunile de gabarit nu sunt probibitive, fiabilitatea cerută este mare iar regimul de funcționare este cvasistatic. Din aceste motive principalele aplicații sunt în industria siderurgică și în transporturi [2,7,21,36,44,46,57,69,90,100,122]. Fiind un traductor de deformații, traductorul magnetoelastic poate fi folosit, cu ajutorul elementelor mecanice auxiliare adecvat alese, la măsurarea unei game largi de eforturi-forțe de întindere/comprimare, cupluri etc.

#### 4.2. Sistem de cintărire a calei unui captor de inducție folosind traductoare magnetoelastice

În cadrul unor contracte de colaborare [51,52] între I.P.T.V.Timișoara și I.C....Regia s-a realizat un sistem de cintărire a șarjei unui captor de inducție de 12,5 tone,

Tabelul 4.1 Principalele caracteristici ale traductoarelor de forță de tip tensorezistiv respectiv magnetoelastice

	Traductoare cu timbre rezistive		Traductoare magnetoelastice	
	metalice	semiconduc- toare	cu cîmp condus	cu anizo- tropie
Forța nominală	0,1kN-50MN		1kN-5MN	0,3kN-50MN
Frecvența minima, maxima, a forței aplicate	0 100-5000Hz		0 5-50Hz *	0 5-50Hz *
Efectul de masură [%]	=0,1-0,2	=5-10	=20-50	=10-20
Tens. de iesire	≈ 1mV	≈ 100mV	≈ 10mV	≈ 100-1000mV
Eroarea de lin. [%]	0,01-0,1	0,1-0,3	1-5	0,05-0,5
Clasa de precizie, în intervalul -10...+40°C	0,025-0,06	0,1-0,25	1-2,5	0,1-0,6

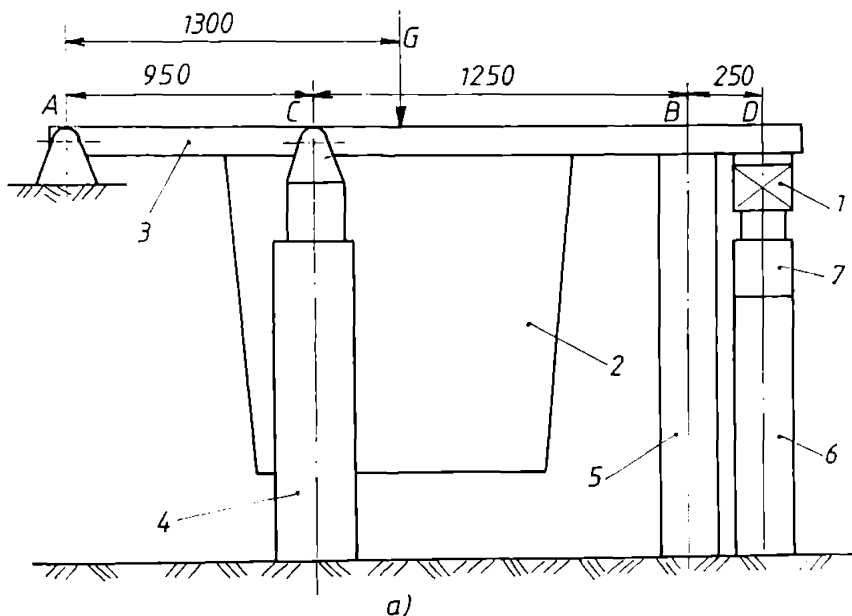
pentru elaborarea otelului, folosind captoare de forță dotate cu traductoare cu anizotropie magnetoelastice. Cintărirea este necesară pentru dozarea corectă a compozitiei aliajului elabarat.

Motivele pentru care s-a ales un traductor magnetoelastic sint următoarele:

- semnalul de ieșire al traductorului este mare iar impedanța de ieșire este mică, ceea ce asigură o bună imunitate la perturbații, distanța de la traductor la blocul de măsurare fiind relativ mare (cca.5cm);

- sensibilitatea la praf, umiditate, suprasarcini este redusă la acest tip de traductor;
- costul materialelor și al tehnologiei de realizare este redus; nu sunt necesare importuri;
- electronica de procesare este relativ simplă, neîncărcând componente de import.

Intrucât instalația în care se face cintărirea este deja realizată și deci asupra ei nu se pot face decât modificări minore, s-a ales o variantă cu două captoare de forță, plasate ca în Figura 4.1.



a)

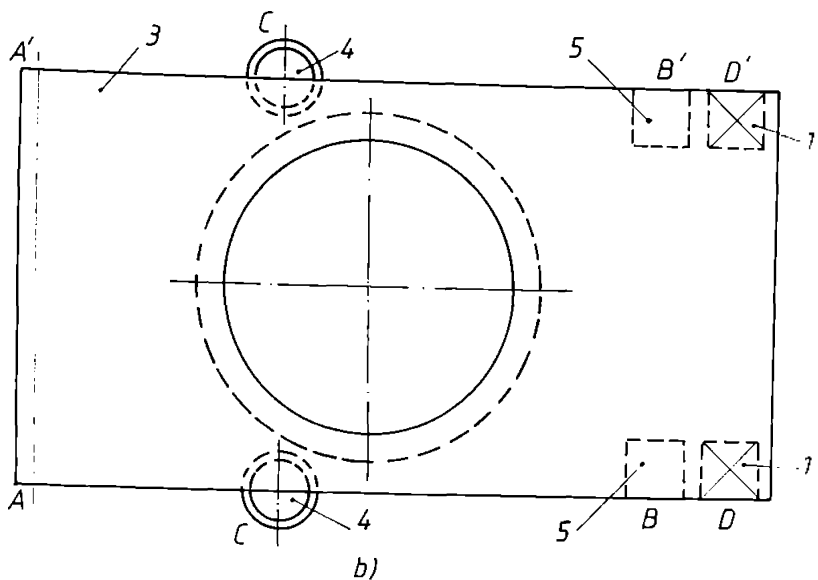


Fig.4.1. Schiță cuptorului de inducție și modul de plasare al captoarelor de forță:

1 - captoarele de forță; 2 - oala cuptorului  
3 - platformă basculabilă; 4 - cilindri hidraulici  
pentru bascularea platormei; 5,6 - stîlpi de  
sprijin; 7 - cilindri hidraulici pentru măsurare.

Pentru efectuarea cîntăririi conținutului celei 2 ale cuptorului, se actionează cilindri hidraulici 7 astfel încît plat-forma 3 de care este fixată oala se desprinde de stîlpii de sus-tinere 5,6, sprijinindu-se doar pe cele două captoare 1 și pe axul A. În această situație pe fiecare captor revine o greutate de 10,64tf cînd oala este goală, respectiv 14,75tf cînd este plină (greutatea proprie a cuptorului și a platormei fiind 32,6tf). Domeniul de măsură pentru un captor este deci 0÷15tf (0÷150kN).

Traductorul propriu-zis este realizat din tole de FeSi laminat la rece, ștantat în forma din Fig.4.2.

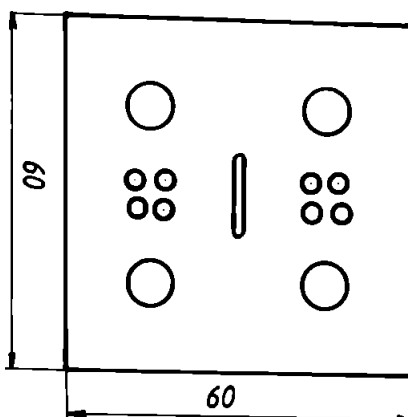


Fig.4.2. Geometria tolei trădutorului magnetoelastic

Din aceste tole se realizează, prin lipire cu o rășină epoxidică, un pachet de grosime 40 mm, astfel încât pe suprafața pe care se aplică forță, efortul unitar să nu depășească 100 MPa, valoare la care materialul nu se satură magnetoelastic. Tela este formată din două secțiuni identice, care mecanic lucrează în paralel, pentru a reduce grosimea pachetului, astfel încât pachetul să aibă o formă, în secțiune transversală, relativ pătrată.

După realizarea pachetului, în fiecare secțiune se bobinează  $N_1 = 10$  spire pentru înfășurarea de alimentare, respectiv  $N_2 = 20$  spire pentru înfășurarea de măsură. Înfășurările de alimentare respectiv măsură ale celor două secțiuni sunt legate în serie.

Captorul de forță, conținind pe lîngă trădutorul propriu-zis, elementele de preluare și selectare a forței, este reprezentat în Figura 4.3.

Blocul de prelucrare este reprezentat, schematic, în Figura 4.4. Înfășurările primare ale celor două trăductoare sunt alimentate de la o sursă de curent constant, de 2 A/80 Hz, formată din oscilatorul lo și amplificatorul de putere II. Amplitudinea curentului este menținută constantă prin comparare cu o valoare de referință reglată corespunzător.

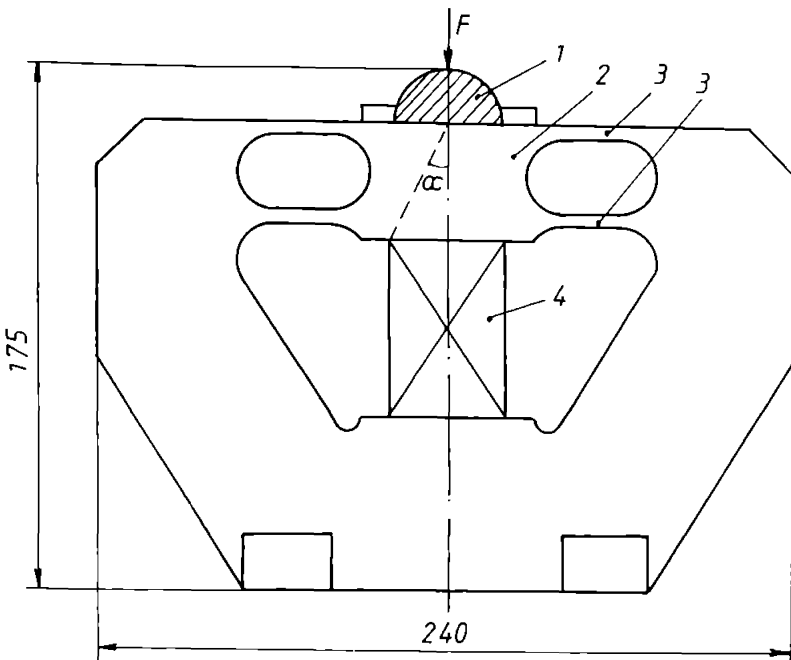


Fig.4.3. Captorul de forță: 1 - elementul de preluare a forței; 2 - distributiorul; 3 - selectorul 4 - traductorul propriu-zis.

Tensiunea din infășurările de măsură este aplicată, prin-tr-un transformator ridicător de tensiune, unui divizor de ten-siune cu report de divizare dependent de nivelul semnalului a-plicat, realizat printr-o combinație de diode Zener și rezistoare. Acest divizor compensează caracteristica conveξă a traduc-to-rului realizând astfel linierizarea caracteristicii de transfer. Tensiunea de zero a traductorului și tensiunea rezultată datorită greutății proprii a cuporului este compensată în cadrul blo-curilor de amplificare.

Sistemul de măsurare realizat a fost testat în cadrul Laboratorului de Rezistență Materialelor al Facultății de Mec-a-nică din I.P.T.V. Timișoara, folosind prese de încărcare omolo-

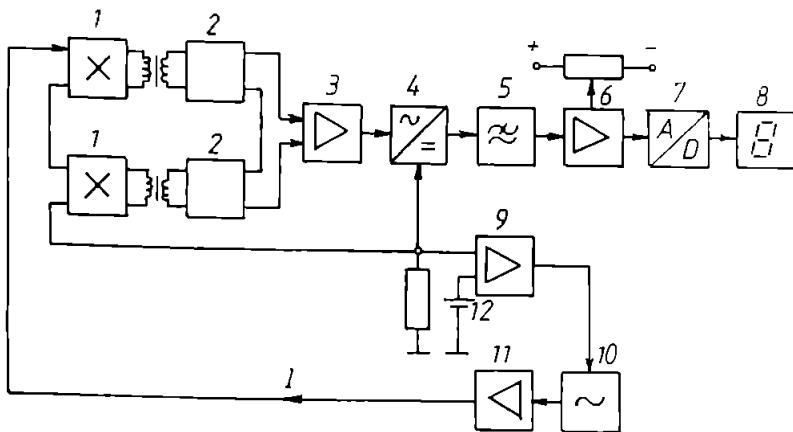


Fig.4.4 Blocul de prelucrare: 1 - traductoare; 2 - circuite de liniarizare; 3,6 - amplificatoare; 4 - redresor sensibil la fază; 5 - filtru trece-jos; 7 - convertor A/D; 8 - afișare cu șapte segmente; 9,10,11,12 - sursă de curent constant;

gate metrologie. Căptăările au fost supuse la cinci cicluri successive de încărcare-descărcare. Rezultatele măsurătorilor sunt prezentate în Tabelul 4.2.

Folosind media citirilor încărcare-descărcare din ultimul ciclu, s-a determinat dreapta de regresie, obținindu-se expresia

$$U_x = 0,112 \Omega + 0,0047 \quad (4.1)$$

Cu ajutorul acestei ecuații s-au calculat erorile de liniaritate și de histerezis [7] :

$$\varepsilon_l = \left| \frac{U_r(\sigma) - U(\sigma)}{U_r(\sigma_{\max}) - U_r(0)} \right|, \quad (4.2)$$

$$\varepsilon_h = \left| \frac{U(\sigma) \text{ încărcare} - U(\sigma) \text{ descărcare}}{U_r(\sigma_{\max}) - U_r(0)} \right| \quad (4.3)$$

Rezultatele sunt sintetizate în Tabelul 4.3.

Tabelul 4.2 Caracteristica de transfer a celor două traductoare inseriate.

$\sigma$ [MPa]	Uies [V]				
	1	2	3	4	5
0,0	0,057 0,059	0,055 0,057	0,051 0,055	0,053 0,051	0,054 0,058
6,204	0,676 0,661	0,675 0,665	0,676 0,547	0,674 0,660	0,675 0,664
12,404	1,329 1,330	1,327 1,339	1,327 1,340	1,325 1,339	1,328 1,336
18,730	2,035 2,046	2,035 2,051	2,030 2,054	2,028 2,054	2,029 2,052
24,970	2,773 2,778	2,762 2,782	2,755 2,789	2,759 2,791	2,758 2,784
31,175	3,482 3,504	3,486 3,530	3,489 3,514	3,486 3,512	3,483 3,507
37,383	4,191 4,222	4,195 4,223	4,193 4,227	4,193 4,230	4,194 4,226
43,426	4,888 4,917	4,897 4,925	4,896 4,926	4,893 4,928	4,893 4,926
49,615	5,572 5,597	5,573 5,598	5,583 5,599	5,580 5,600	5,580 5,598
55,799	6,243 6,254	6,251 6,252	6,252 6,248	6,243 6,253	6,246 6,250
62,004	6,893 6,893	6,902 6,902	6,930 6,903	6,897 6,898	6,897 6,897

Se observă că eroarea maximă de liniaritate este 0,39%, iar cea de histerezis, 0,57. Prin urmare eroarea maximă totală probabilă este

$$\varepsilon = \sqrt{(\varepsilon_{\ell})_{\max}^2 + (\varepsilon_h)_{\max}^2} = 1,05\% ,$$

ceea ce satisfac cerințele de precizie ale aplicației considerate.

Tabelul 4.3 Erorile de masură pentru cele două traductoare inseriate

$\sigma$ [MPa]	$U$ [V]	$U_r$ [V]	$\epsilon_l$ [%]	$\epsilon_h$ [%]
0,0	0,056	0,0047	0,73	0,06
6,204	0,669	0,699	0,43	0,16
12,404	1,332	1,394	0,89	0,11
18,730	2,040	2,102	0,89	0,33
24,970	2,771	2,801	0,43	0,37
31,175	3,495	3,496	0,01	0,34
37,383	4,210	4,191	0,27	0,46
43,426	4,910	4,868	0,60	0,47
49,615	5,589	5,561	0,40	0,26
55,799	6,248	6,254	0,08	0,57
62,004	6,897	6,949	0,74	0,0

#### 4.3. Traductoare de forță realizate din aliaje amorfice

Caracteristicile fizice ale aliajelor amorfice, analizate pe larg în Cap.II, sugerează folosirea avantajoasă a acestora la măsurarea forțelor în regim dinamic. Curenții turbionari în benzile amorfice au valori reduse atât datorită grosimii foarte mici a benzii, cît și datorită rezistivității mari a aliajului amorf. Postefectul magnetic, care se face simțit la frecvențe mari, este redus în comparație cu aliajele cristaline, datorită absenței anizotropiei magnetocristaline, momentele magnetice având astfel o mai mare mobilitate de rotație.

Liniaritatea caracteristicii de transfer a unui traductor realizat din aliaje amorfice poate fi apreciată analizând variația susceptibilității magnetice datorită efortului aplicat (rel.1.115),

$$\Delta X_{mm} = X_{mm}^{(\sigma)} - X_{mm}^{(0)} = \frac{\mu_0 M_s^2}{2 Ku} \cdot \frac{\sigma}{\frac{2 Ku}{3 \lambda_s} - \sigma}, \quad \sigma < \frac{2 Ku}{3 \lambda_s}$$

respectiv sensibilitatea magnetoelastică corespunzătoare

$$S(\sigma) = \frac{d(\Delta X_m)}{d\sigma} = \frac{\mu_0 M_s^2}{2 K_u} \cdot \frac{\frac{2 K_u}{3 \lambda_s}}{\left( \frac{2 K_u}{3 \lambda_s} - \sigma \right)^2} . \quad (4.4)$$

O bună linieritate, deci o sensibilitate magnetoelastică cît mai constantă, se obține dacă  $2K_u/3\lambda_s \gg \sigma$ . Această condiție determină totodată reducerea valorii sensibilității magnetoelastice. La un material puternic magnetostrictiv ( $\lambda_s$  mare), mărirea raportului  $\frac{K_u}{\lambda_s}$  se realizează mărind  $K_u$  prin tratamente termomagnetiche intensive. În urma tratamentului însă, materialul devine friabil, crescând astfel dificultățile de prelucrare mecanică ulterioră a acestuia. Raportul  $\frac{K_u}{\lambda_s}$  poate fi însă mărit alegând un material slab magnetostrictiv ( $\lambda_s$  mic), pentru care tratamentul termomagnetic se face mai ușor și sub pragul de fiabilitate al materialului.

In literatura de specialitate [80,96,97,98] sunt prezentate o serie de traductoare de forță și de cuplu realizate din benzi amorfă, dar nu se poate vorbi încă despre o răspindire la scară industrială a acestora. Se conturează însă tendința de a utiliza aceste materiale pentru aplicațiile specializate, în care proprietățile specifice aliajelor amorfă să fie exploataate în mod avantajos.

Un astfel de domeniu îl constituie măsurarea vibrațiilor și șocurilor cu traductoare ușor plasabile pe obiectul măsurat.

În un traductor magnetoelastic destinat acestui scop, banda amorfă este premagnetizată cu un câmp constant  $H_o$ , iar variațiile magnetizației, datorate efortului variabil aplicat, sunt sesizate prin tensiunea induată într-o bobină (Fig.4.5.a). Pentru a sesiza ambele alternanțe ale forței variabile, banda este pretensionată mecanic cu un efort  $\sigma_o$ .

In acest mod efortul variabil explorează caracteristica magnetoelastică a benzii și îl face la eforturi de întindere cît și de comprimare (fig.4.5.b).

Dacă efortul total din bandă,  $\sigma = \sigma_o + \sigma_a(t)$ , are mici variații  $\sigma_a(t)$  în jurul valorii  $\sigma_o$ , după dezvoltarea în serie Taylor a funcției  $M = M(H_o, \sigma)$  și după neglijarea termenilor de ordin mai mare decât 1, se obține:

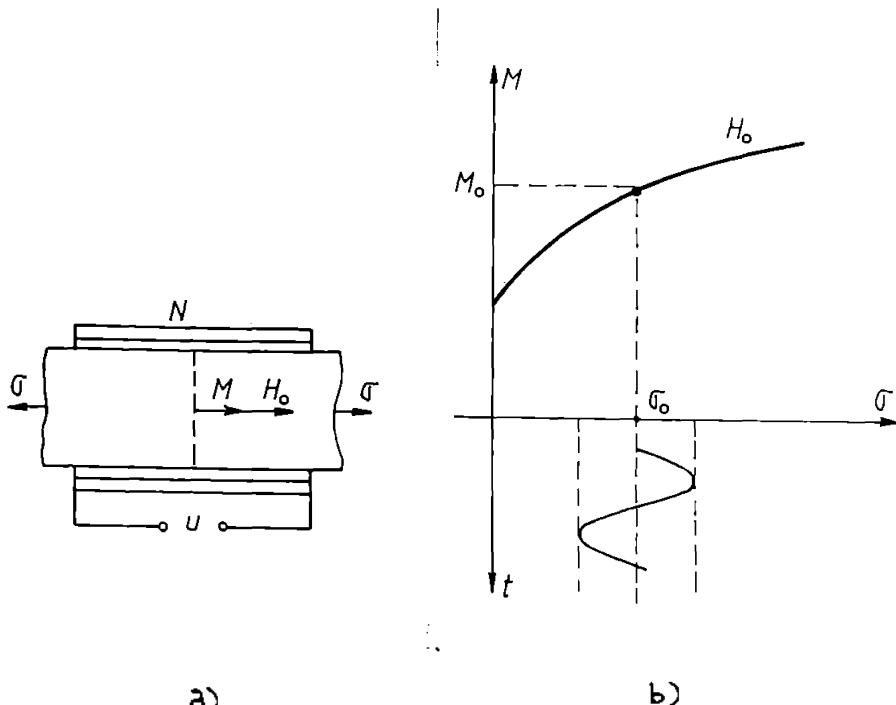


Fig.4.5. Principiul de măsurare al forțelor în regim dinamic  
 a) schița traductorului;  
 b) caracteristica magnetoelastice

$$M = M_0 + \left( \frac{\partial M}{\partial \sigma} \right)_0 \cdot \sigma_a(t) \quad (4.5)$$

Neglijind cimpul demagnetizant din bandă, fluxul magnetic prin secțiunea transversală a bobinei de măsură este

$$\Phi = \mu_0 H_0 S + \mu_0 M S_p = \mu_0 H_0 S + \mu_0 M_0 S_p + \mu_0 \left( \frac{\partial M}{\partial \sigma} \right)_0 S_p \sigma_a(t),$$

iar tensiunea indușă în bobină

$$u_e = -N \frac{d\Phi}{dt} = -\mu_0 \left( \frac{\partial M}{\partial \sigma} \right)_0 S_p \frac{d\sigma_a}{dt} \quad (4.6)$$

In aceste relații  $S$  reprezintă aria transversală a bobinei iar  $S_p$  aria transversală a benzii.

Se observă că tensiunea indușă este proporțională cu

viteza de variație a efortului aplicat, ceea ce este un avantaj atunci când traductorul este folosit pentru detectarea socurilor.

Un studiu experimental al comportării benzii amorfă în regim de solicitare dinamică s-a efectuat, în cadrul tezei, cu ajutorul instalației din Fig.4.6.

Banda amorfă BA este premagnetizată în curent continuu de către bobina BC și este solicitată mecanic cu ajutorul unui vibrator electrodinamic VED, excitat cu un curent sinusoidal.

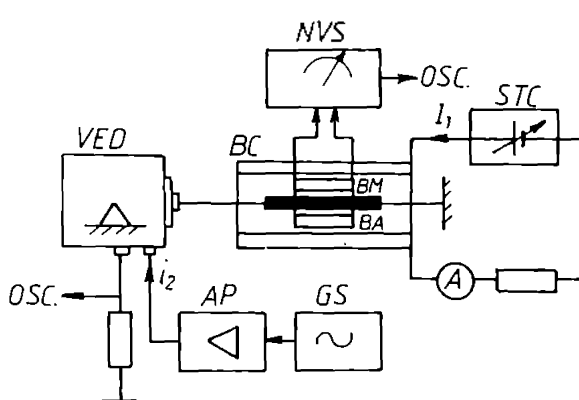


Fig.4.6 Schema instalației pentru studiul comportării benzilor amorfă în regim dinamic:

BA - banda amorfă; BC - Bobina de premagnețizare; VED - vibrator electrodinamic; BM - bobina de măsură; NVS - nanovoltmetru selectiv

Semnalul cules de la bobina de măsură BM este măsurat cu un voltmetru NVS. Pe un osciloscop s-a verificat forma sinusoidală a tensiunii induse.

Rezultatele obținute, pentru o bandă amorfă Fe-P, ne-tratată termică, cu dimensiunile  $100 \text{ mm} \times 6 \text{ mm} \times 25 \mu\text{m}$ , sunt prezentate în Fig.4.7.

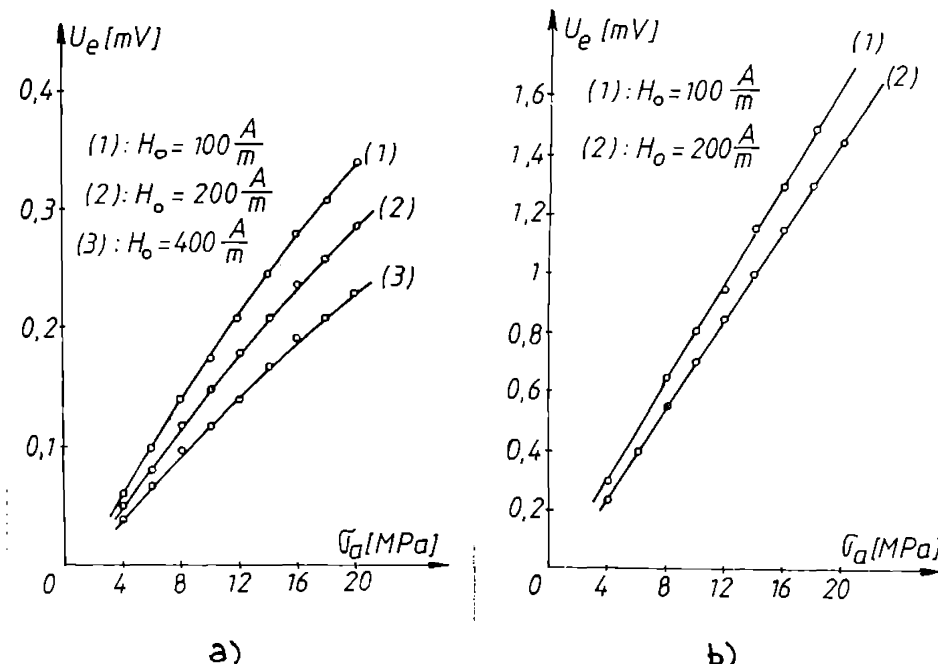


Fig.4.7 Răspunsul benzii amorfă la solicitări armonice: a)  $f = 40$  Hz; b)  $f = 7$  KHz.

Se remarcă liniaritatea caracteristicilor și totodată, cum este și firesc, dependența de frecvență a nivelului tensiunii induse. Faptul că, pentru un  $G$  și  $H_o$  anume, raportul amplitudinilor în cele două cazuri nu corespunde cu raportul frecvențelor respective, se datorăse dependenței de frecvență a caracteristicii magnetoelastice.

## C A P I T O L U L V

### CONCLUZII FINALE

Principalele probleme abordate în cadrul tezei se referă la: calculul cîmpului la un traductor magnetoelasic(TME) de forță cu cîmp liber; sisteme de cîntărire tehnologică cu TME; utilizarea materialelor amorfă la realizarea TME.

Calculul cîmpului magnetic la un TME presupune trei etape:  
-calculul elastic, în care se determină starea de eforturi din corpul traductorului;  
-considerarea unei legi de material care să reflecte modificarea proprietăților magnetice datorită stării de eforturi;  
-calculul magnetic propriu-zis și determinarea caracteristicii de transfer a traductorului.

Starea de eforturi la un TME cu cîmp liber este complexă, în principal datorită prezenței găurilor pentru păsarea bobinelor. Din acest motiv calculul elastic complet nu poate fi efectuat decît printr-o metodă numerică. Datorită efectului de "măscarare" al găurilor, în zona activă a traductorului, adică în perimetrul delimitat de găuri, este preponderentă componenta după direcția forței aplicate a tensorului eforturi unitare  $\vec{\sigma}$ . Se justifică astfel ipoteza stării de eforturi uniaxiale luată în considerare în teză, ipoteză acceptată de marea majoritate a lucrărilor consecrate calculului TME.

Priu cuplajul magnetoelasic, starea de eforturi determină transformarea permeabilității magnetice într-un tensor  $\hat{\mu}$ , materialul fiind presupus izotrop magnetic în stare nesolicitată. Dependența componentelor acestui tensor de eforturile unitare poate fi exprimată explicit sau implicit. În primul caz se pot folosi relații analitice, care datorită ipotezelor simplificate

rii foarte severe folosite în deducerea lor, nu reflectă satisfăcător comportarea materialului decât pe intervale de variație ale cîmpului și efortului foarte restrînse. În principal neliniaritatea materialului este nesatisfăcător modelată de aceste relații. Cu toate acestea, datorită simplității lor, ele sunt prezente în marea majoritate a lucrărilor din domeniu. În teză legea de material a fost considerată pe baza determinării experimentale a unei familii de curbe de magnetizare, avind efortul unitar ca parametru. Deși volumul de muncă implicit este mai mare, reprezentarea comportării materialului, în întreg intervalul de interes, este sensibil mai corectă decât prin relațiile menționate.

Considerarea implicită a legii de material se bazează pe principiul variational al teoriei micromagnetismului. Folosirea acestui procedeu în cazul unui dispozitiv cu cîmp neuniform presupune cuplarea procedeului variational cu rezolvarea ecuațiilor lui Maxwell printr-o metodă numerică, de exemplu metoda elementului finit (MEF). Deși formularea este atractivă, ea rămîne deocamdată nerrealizabilă pentru dispozitivele tehnice de tipul TME.

Calculul cîmpului magnetic la TME cu cîmp liber se efectuează, în teză, prin formularea unei ecuații de tip Poisson în potențialul magnetic  $\vec{A}$  pentru un mediu neliniar și anizotrop. Considerarea neliniarității este esențială pentru obținerea unor rezultate corecte, TME fiind dispozitive care funcționează în mod normal la saturare. Această observație este foarte clar relevată de un model cavitativ prezentat în teză, bazat pe ipoteza unui cîmp uniform în zona activă a TME, curbele de magnetizare după cele două direcții de anizotropie fiind aproximate prin opte două segmente de dreaptă. Forma de variație în timp a tensiunii de ieșire, pronunțat nesinusoidală în domeniul de funcționare al TME, prevăzută de acest model, este în bună concordanță cu realitatea.

Rezolvarea problemei statice de cîmp a fost efectuată prin discretizarea domeniului în elemente finite de ordinul 1, iar discretizarea ecuației Poisson, prin procedeul Galerkin. Alegera acestui procedeu în locul celui variational nu este esențială, identitățile ecuațiilor numerice obținute prin cele două procedee fiind arătăți și în teză, dar a fost preferat datorită generalității lui.

Intrucît TME funcționează în regim de cîmp variabil s-a procedat la eșantionarea în timp a curentului sură de cîmp,

rezultind astfel o succesiune de regimuri statice, fiecare rezolvate în parte.

Calculul caracteristicii de transfer a TME s-a efectuat folosind drept mărime de ieșire valoarea medie redresată a tensiunii de ieșire. Acest parametru a fost preferat altor (valoare efectivă, armonica fundamentală, etc.) atât datorită faptului că se obține direct din valorile calculate ale potențialului cît și faptului că este mărimea efectiv măsurată de electronica aferentă unui sistem tehnic cu TME.

Analiza spectrului cimpului inducției magnetice, obținut prin calculul numeric, relevă o uniformitate destul de pronunțată a cimpului în zona activă a trădutorului. Observația permite elaborarea unui model operativ al TME, prin extinderea modelului calitativ, eficient sub aspectul raportului fidelitate/volum de calcul. În acest model operativ cimpul este considerat uniform în zona activă a TME, iar materialul este descris prin curbele de magnetizare reale după cele două direcții de anizotropie. Procesarea curbelor de magnetizare, calculul fluxului mutual (rel. 3.16) și a valorii medii a tensiunii redresate (rel. 3.62) se execută rapid pe un PC. O sporire a eficienței se obține prin conectarea calculatorului direct la instalația de ridicare a curbelor de magnetizare. Modelul permite evaluarea operativă a influenței materialului asupra caracteristicii de transfer, respectiv a unor factori nedoriți (soluție neelastica, variații de temperatură, etc.).

Modelul numeric de cimp pentru TME cu cimp liber elaborat în teză poate fi dezvoltat în mai multe direcții. Spre exemplu, starea complexă de eforturi din corpul trădutorului se poate calcula prin MEF, determinindu-se astfel direcțiile de anizotropie și valorile principale ale efortului pe fiecare element finit. În acest caz fiecărui element finit îi corespunde o perche de curbe de magnetizare, care se determină din baza inițială de date de material. Calculul cimpului magnetic poate fi dezvoltat prin considerarea directă a regimului variabil. Datorită limitelor sistemului de calcul disponibil în momentul elaborării tezei, aceste aspecte nu au fost luate în considerare. Un model de TME care să se compore, la nivel valoric, cît mai apropiat de dispozitivul fizic, devine atât de complicat încât utilitatea lui poate fi pusă sub semnul întrebării. Acesta este un alt motiv pentru care modelul prezentat nu a fost complicat mai mult decât era necesar sub

aspectul relevanței lui.

Referitor la comportarea magnetoelastice a aliajelor ferromagnetică cu structură amorfă,cercetările efectuate în cadrul tezei conduc la următoarele concluzii principale:

- proprietățile magnetoelastice ale acestor materiale sunt sensibil dependente de compoziția aliajului și de tratamentul termic efectuat;
- nu sînt adecvate realizării de IMe cu cîmp liber,atît datorită dificultăților legate de prelucrarea mecanică, cît și datorită neliniarității pronunțate a curbei de magnetizare;
- datorită cîmpului coercitiv foarte redus sint sensibile la influența cîmpului magnetic terestru;
- sensibilitatea magnetoelastica ridicată, proprietățile elastice deosebite precum și o bună comportare cu frânește, oferă perspective în utilizarea lor la realizările de traducătoare pentru detectarea eforturilor dinamice, îndosobî și șocurilor și vibrațiilor.

În continuare se prezintă principalele contribuții crîșinale în legătură cu problemele abordate în teză.

1. Referitor la studiul teoretic al interacțiunilor magnetoelastice se menționează următoarele contribuții:

1.1. Stabilirea pe cale termodinamică a relației care leagă componentele tensorului susceptibilitate magnetică de componentele tensorilor cuplajului magnetoelastică și .

1.2. Stabilirea pe cale termodinamică a unei relații directe între modificarea modulului de elasticitate (efectul "  $\Delta E$  " ) și modificarea susceptibilității magnetice (efectul  $\Delta \chi$  ), în cadrul IMe, pentru un corp cu stare de eforturi uniaxiale după direcția cîmpului magnetic.

1.3 Fundamentarea, în cadrul teoriei micromagnetismului, a unui model analitic al IMI într-o baza amorfă cu anizotropie magnetică inițială transversală, considerind starea de deformare plană.

2. În cadrul cercetărilor experimentale privind comportarea magnetoelastica a benzilor amorfe, contribuțiiile aduse sunt:

2.1. Studiul experimental al curbelor de magnetizare, susceptibilității magnetice și al sensibilității magnetoelastice la benzi amorfe cu compoziția  $(FeCo)SiB$ , solicitate la întindere

2.2. Realizarea unei instalații experimentale pentru

tratamentul termic în cîmp magnetic transversal al benzilor amorfî, respectiv studiul experimental al curbelor de magnetizare, susceptibilității magnetice și al sensibilității magnetoelastice la benzi amorfî (FeCo)SiB, tratate termic în cîmp magnetic transversal, solicitate la întindere.

2.3. Realizarea unei instalații experimentale pentru măsurarea magnetostriucției de saturație la benzi amorfî.

2.4. Realizarea unei instalații experimentale pentru determinarea răspunsului magnetoelastic al benzilor amorfî, respectiv studiul experimental al acestui răspuns la solicitările dinamice sinusoidale, d.p.d.v. al influenței cîmpului magnetic și al frecvenței solicitării.

3. Cercetările referitoare la calculul electromagnetic al TMS cu cîmp liber sunt legate de următoarele contribuții:

3.1. Stabilirea condițiilor referitoare la decuplarea unilaterala a cîmpului deformărilor elastice de cîmpul magnetic.

3.2. Elaborarea unui model pentru TMS cu cîmp liber, considerînd cîmpul uniform în zona activă a traductorului, curbele de magnetizare după cele două direcții de anizotropie fiind aproxi-mate prin segmente de dreptă, determinarea pe baza acestui model a formelor de variație în timp pentru fluxul mutual respectiv pentru tensiunea indușă în bobina de măsură.

3.3. Formularea problemei de cîmp pentru traductorul considerat ca o problemă de cîmp plan-parallel, descrisă de o ecuație de tip Poisson în potențialul vector  $\vec{A}$ , mediu fiind neliniar și anizotropic; direcțiile de anizotropie, determinate de efectul magnetoelastic, sunt considerate identice cu direcțiile principale ale tensorului afpruri unitare.

3.4. Discretizarea problemei de cîmp prin procesul Galerkin pe o rețea de elemente finite triunghiulare de ordinul întîi și implementarea algoritmului rezultat pe un calculator PC.

3.5. Determinarea, pe baza calculului numeric, a caracteristicilor de transfer a traductorului, considerînd regimul variabil al cîmpului magnetic ca o succesiune de regimuri statice; stabilirea unei relații de calcul pentru valoarea medie a tensiunii de ieșire redresată în funcție de valorile extreme ale fluxului mutual pe o perioadă.

3.6. Verificarea experimentală a rezultatelor calculului numeric pe un traductor fizic, cu ajutorul unei instalații construită în acest scop.

4. Realizarea unei instalații pentru cintărirea tehnologică a calei unui cupor de inducție, în cadrul unor contracte de cercetare cu I.C.M. Reșița. Instalația cuprinde captoarele de forță prevăzute cu TME cu cimp liber precum și blocul electronic de procesare și afișare.

B I B L I O G R A F I C

1. Adam, I., Intenzita magnetickeho polevanizotropnim pre-tenci, Electroteckeho Obzor, Nr. 5 - 6, 1987, p. 259.
2. Antick, I.V., Automaticesckie ustroistva s magniteupru-gimi preobrazovateliами, Izd. Energhia, Moskva, 1974.
3. Atherton, D.L., Rao, S., de Sa, V., Schönbächler, W., Thermodynamic correlation tests between magnetostrictive and magnetomechanical effects in 2% Mn Pipeline Steel, IEEE Trans on Magnetics, Vol. 24, Nr. 5, 1988, p. 2177.
4. Allia, P., Beatrice, C., Vinai, F., Effect of stress on the magnetic permeability aftereffect of amorphous ferromagnetic alloys, IEEE Trans on Magnetics, Vol. MAG - 22, Nr. 5, 1986, p. 430.
5. Atherton, D.L., Jiles, D.C., Effects of stress on the magnetisation os steel, IEEE Trans of Magnetics, Vol. MAG - 19, Nr. 5, 1983, p.2021.
6. Atherton, D.L., Szapunur, J.A., Effect of stress on magnetisation and magnetostriction in Pipeline steel, IEEE Trans on Magnetics, Vol. MAG - 21, Nr. 5, 1986, p. 514.
7. Baumann, A., Electrische Kraftmesstechnik, VEB Verlag, Berlin, 1976.
8. Belov, K.P., Uprugie steplovie i elektricoskie iavlenia v ferromagnitnīh metallah, Gosud Izd., Moskva, 1971.
9. Bogoevici, N., Hărăguș, St., Tocder, E., aspecte privind calculul aproximativ al cimpurilor potențiale plane folosind polinoamale Lagrange, Conferința Națională de Electroterenică și electroenergetică, Vol. 1, Craiova, 1984.

10. Böll, R., Hillzinger, H.R., Comparison of amorphous materials, ferrites and permalloys, IEE Trans on Magnetics, Vol. MAG - 19, Nr. 5, sept. 1983, p. 1946.
11. Bozorth, R.M., Ferromagnetism, D. Van Nostrand Comp. Inc., 1959.
12. Brechne, H., Superconducting Magnet Systems, Springer Verlag, 1973.
13. Brown, A.F., Magnetoelastic interactions, Springer Verlag, 1966.
14. Brown, W.F., Micromagnetics, Interscience Publishers, 1963.
15. Brown, D., Influence of compressive and tensile stresses at various temperatures on some magnetic properties of transformer laminations, Proc. IEE, Vol. 112, No. 1, 1965, p.183.
16. Buzdugan, Gh., Mihăilescu, E., Rădeș, M., Măsurarea vibrațiilor, Ed. Academiei RSR, București, 1979.
17. Canright, G.S., Krueger, D.M., Effect of microaddition of cerium on the magnetic properties of  $Fe_{80}B_{16}Si_2C_{12}$  metallic glass, IEE Trans on Magnetics, MAG - 22, No. 3, 1986, p. 182.
18. Chen, D.X., Rao, K.V., Temperature and annealing dependences of magnetostriction constant in a Co-rich zero-magnetostrictive metallic glass, IEE Trans. on Magnetics, MAG - 22, No. 5, 1986, p. 491.
19. Chikazumi, S., Physics of Magnetism, John Wiley & Sons, New York, 1964.
20. Conference on metallic glasses: Science and technology, Budapest, 1980, Proceedings, Vol. 11, Ed. Hargitai, H., Bakonyi,I., Kemeny, T., Centr. Res. Inst. Phys.
21. Dahle, O., The torductor and pressductor, two magnetic stress gages of new type, ASME Res., No.1, 1958, p.45.
22. Demerdash, N.A., Fouad, F.A., Nehl, T.W., Mohamed, O.A., Three dimensional finite element vector potential formulation of magnetic fields in electrical apparatus, IEE Trans. on PAS, Vol. 100, No. 8, 1981, p.4104.

23. De Sabata, I., *Bazele Electrotehnicii*, Vol. 1 și 11, Litografie I.P."Traian Vuia" Timișoara, 1974, 1980.
24. Dmowski, W., Jagielinski, T., Matyja, R., Magnetostriiction in amorphous Fe - Si - B alloys, Com. on Metallic Glass, Budapest, 1980, Vol. 2, p. 21.
25. Drujinin, V.V., Cistiakov, V.A., Vlijanie sjimainscii napriajenia na magnitniiie svoistva elektrotehnicheskoi stali, Elektrotehnika, Nr. 1, Ukr.S., 1973.
26. Drujinin, V.V., Magnitniiie svoistva elektrotehnicheskoi stali, Izd. Energhia, Moskva, 1974.
27. Drumm, R., Zur effectiven FEM - analyse ebener spannungskonzentrationsprobleme, Diss., Univ. Karlsruhe, 1982.
28. Durand, S., *Electrostatique et Magnetostatique*, ed. Masson et Cie, Paris, 1953.
29. Arcuța, A., Mihalca, I., Very low frequency hysteresis loop tracer, Lucr., Sem., Mat-Fiz, I.I.F., mai 1984.
30. Fasching, G.M., Hofmann, H., Das stationäre Magnetfeld in anisotropen Eisenblechen und seine Messung, Zeitschrift f. Angewandte Physik, B. 16, N4 1963, p. 227.
31. Fish, G.E., Stability of High frequency magnetics properties of metallic glasses, Int. Trans on Magnetics MAG - 19, No.5, sept. 1983, p. 1937.
32. Fish, G.E., Stability of magnetic properties of metallic glasses, Int. Trans on Magnetics, MAG - 21, No. 5, sept. 1985, p. 1996.
33. Fischer, I., Moser, H., Die Nachbildung von Magnetisierungskurven durch einfache algebraische oder transzendentale Functionen, Archiv für Electrotechnik, Heft 5, 1956, p.286.
34. Felischi, M., Meunier, G., Two Dimensional hysteresis model using finite element method, Int. Trans on Magnetics, MAG - 21, No. 6, p. 2362.
35. Felischi, M., Meunier, G., Migny, Ph., Hysteresis Compu-

- tation in Oriented Recording media, *Ieee Trans on Magnetics*, MAG - 23, No. 1, Jan. 1987.
36. Frauzom, A., New generation of Pressductor rollforce meters, *Asia Journal*, Vol. 46, No. 2, 1973, p.31.
37. Fredkin, D.R., Kochler, T.R., Numerical micromagnetics by the finite element method, *Ieee Trans on Magnetics*, MAG - 23, No. 5, sept. 1987, p. 3365.
38. Gadea, S., Petrescu, M., Petrescu, N., Aliaje amorfii solidificate rapidi, Vol. 1, Bucureşti, Ed. C. şi Encicl., 1968.
39. Gamai, M.Z. și, Sandon, R.K., Development of a force trans-transducer using amorphous ferromagnetic ribbons Rapidly Solidified Materials, Proceedings of International Conference, San Diego, California, USA, 1986, p. 402.
40. Garsholis, I.J., Fiegel, W.S., Recovery of magnetostriction values from the stress dependence of Young's modulus, *Ieee Trans on Magnetics*, MAG - 22, 1986 No. 5, p. 436.
41. Garsholis, I.J., Fiegel, W.S., Anisotropy characterisation in amorphous ribbons from the stress dependence of compliance, *Ieee Trans on Magnetics*, MAG - 24, No. 5, 1988, p. 2162.
42. Gibbs, M.R.I., Squire, P.F., Ford, F.I., Brugel, E., The control of engineering magnetostriction in metallic glasses, *Ieee Trans on Magnetics*, MAG - 23, No. 2, 1987, p. 1764.
43. Gillman, L.L., Leamy, H.I., Metallicheskie stekla, Izd. Metallurgia, Moskva, 1984.
44. Ginzburg, V.B., Magnitcuprughiia dateiki, Izd. Energiya, Moskva, 1970.
45. Gonzales, I., Vasquez, M., Barandiaran, I.N., On the dependence of the magnetisation curve on the applied tensile stress in amorphous alloys with positive magnetostriction, *Phys. stat. sol. (a)*, 93, 1986, p. 169.
46. Gumanuk, M.N., Magnitcuprughiie dateiki v automatike, Izd. Tehnika, 1972, Kiev.
47. Harrie, G.M., Crede, G.G., Securi și vibrații, Ed. Tehnică

- Bucureşti, 1968.
48. Hărăguş, St., Aspekte fizice legate de efectul magnetoelastic, Referat de doctorat, 1985.
49. Hărăguş, St., Traductoare de forță de tip magnetoelastice, calcul și măsurători. Referat de doctorat, 1985
50. Hărăguş, St., Calculul cîmpului magnetic într-un traductor magnetoelastic prin metoda elementelor finite. Referat de doctorat, 1985.
51. Heler, A., Hărăguş, St., Cercetări privind realizarea unei model de instalație pentru cîntărirea electronică a greutăților mari, Protocol la contractul 123/1983, IP Timișoara - ICM Reșița.
52. Heler, A., Hărăguş, St., Cercetări privind realizarea unei instalații pentru cîntărirea electronică a oalelor cupoarelor de inducție de 12,5 t., Protocol la contractul 58/1984, IP Timișoara - ICM Reșița.
53. Hilzinger, H.R., Applications of metallic glasses in the electronics, IEEE Trans on Magnetics, MAG - 21, No. 5, sept. 1985.
54. Hilzinger, H.R., Hillmann, H., Mager, A., Magnetostriiction measurements on Co - Base Amorphous alloys, phys. stat. sol. (a) 55, 763, 1979.
55. Harada, K., Sasada, I., Kawajiri, T., Inoue, M., A new torque transducer using stress sensitive amorphous ribbons, IEEE Trans on Magnetos, MAG - 18, No. 6, nov., 1982, p. 1767.
56. Jagielinski, T., e.a., Saturation magnetostriiction and volume magnetostriiction of Fe - Ni - Co amorphous ribbons, IEEE Trans on Magnetics, MAG - 13, No. 5, sept. 1977, p. 1553.
57. Johansson, E., New generation of pressductor force transducers, AS&A Journal, Vol. 45, Nr. 2, 1972, p. 129.
58. Kabacoff, L.T., Savage, R.T., Fogle, M.W., Thermal magnetic and magnetomechanical properties of amorphous magnetron sputtered  $Fe_{78}B_{13}Si_9$ , IEEE Trans on Magnetics, MAG - 22, No. 5, 1986, p.427.

59. Kaczkowski, Z., Some piezomagnetic properties of the bulk wave ultrasonic transducer with the metallized glass core, IJm Trans. on Magnetics, MAG - 24 No. 2, 1988, p.1590.
60. Kanai, Y., Abe, T., Mizuka, M., Mukasa, K., Fast and stable non - linear converging method, Int Trans on Magnetics, MAG - 23, No.5, 1987, p. 1290.
61. Kopasz, Cs., Stefan, M., Sulyok, I., magnetostriction of amorphous alloys under external stresses, Conf. Met. Glas., Budapest, 1980, Vol 11.
62. Kocs, N., Elasticitate și viscoelasticitate, Editura Tehnică, București, 1986.
63. Landau, L., Lifshitz, E., Théorie de l' élasticité, éditions MIR, Moscou, 1967.
64. Le Frano, C., The effect of micromagnetic models in magnetic recording simulation, IJm Trans on Magnetics, MAG - 21, No. 5, sept. 1985, p.1417.
65. Lenk, A., Elektromechanicskie sistemi. Sistemi s rasprezelenimi parametrami, Energoizdat, Moskva, 1982.
66. Lenk, A., Elektromechanische Systeme. Band 3. Systeme mit Hilfsenergie, VEB Verlag Technik, Berlin, 1979.
67. Lenz, I., Zur Theorie der magnetovlastischen Resonanzen, diss 1970, Karlsruhe.
68. Levintov, S.D., Borisov, A.M., Buskontaktnie magnitonspugnie datchiki krutiascevo momenta, Energoatomizdat, Moskva, 1984.
69. Lindbäck, L.S., New generation of weighing and force measuring equipment, Atom Journal, Vol 49, Nr.5, 1972, p. 135.
70. Livingston, J.D., Magnetomechanical properties of amorphous metals, phys. stat. sol. (a) 70, 591, (1982),
71. Livingston, J.D., Stresses and magnetic domains in amorphous metal ribbons, phys. stat. sol.( a), 96, 637, 1979.
72. Massac, Ph., Modelling of a continuous media methodology and computer aided design of finite element programs, Intermag 1984.

73. Marinescu, N., Proprietăți electrice și magnetoelastice ale aliajului siire și aplicații, Rezumatul tezei de doctorat, Universitatea București, 1981.
74. Marinescu, N., Îmbunătățirea proprietăților magnetoelastice ale FeSi laminat la rece fabricat în țară, studii și cercetări de fizică, Nr. 5, 1985, p. 361.
75. Mermelstein, M.D., Coupled mode analysis for magnetoelastic amorphous metal sensors, *Ians Trans on Magnetics*, MAG - 22, No. 5, sept 1986.
76. Mermelstein, M.D., Doty, K., Danridge, M., Measurement of the piezomagnetic modules of a field annealed amorphous metal ribbon, *Ians Trans on Magnetics*, MAG - 23, No. 5, p. 3512.
77. Mei, Y., Luo, H.L., Magnetic properties of as - quenched and coldrolled amorphous  $Fe_{77}Si_{10}B_{13}$  alloy, *Ians Trans on Magnetics*, MAG - 22, No. 5, sept 1986, p. 448.
78. Moon, F.C., Magneto - solid mechanics, J. Wiley and Sons, 1984.
79. Mîndru, Gh., Rădulescu, M., Analiza numerică a cimpului electromagnetic, Ed. Dacia, Cluj - Napoca, 1986.
80. Mohri, K., Sudoh, K., New extensometers using amorphous magnetostrictive ribbon wound cores, *Ians Trans on Magnetics*, MAG - 17, No. 5, mai 1981, p. 1377 - 1379.
81. Mojžis, M., Meramie, Tlaku elasto - magnetickym snímačem, *Elektrotechn.Čas.*, vol. 31, Nr. 3, 1988, p. 224.
882. Mojžis, M., Meramie, Valcovacich sil elastico - magneticky mi snímačmi, *Měřitelské techn. Čas.*, Vol. 30, br. 11, 1985, p. 804.
83. Mojžis, M., Metrologické vlastnosti elasto - magnetického snímače tlakové sítí, *Electrot. Čas.*, Vol. 31, Nr. 9, 1988, p. 661.
84. K.W., Basic course in finite element methods, Elsevier Science, Publishers, Holland, 1987.

85. Narita, K., Yamasaki, J., Fukunaga, H., Measurement of saturation magnetostriction of a thin amorphous ribbon by means of small-angle magnetisation, IEEE Trans on Magnetics, MAG-16 , No.2, march 1980, p.435-440.
86. Narita, K., Yamasaki, I., Fukunaga, H., Saturation magnetostriction and its annealing behavior of  $Fe_{100-x}B_x$  and  $Co_{100-x}B_x$  amorphous alloys, J. Appl. Phys. 50 (11) , nov. 1979, p.7591.
87. Naumann, F., Die Wechselfeld-magnetostriction von Kornorientiertem Transformatorenblech, MTZ-B, Bd. 18 , 1966, p.596.
88. Napoli, A., Paggi, R., A model of anisotropic grain oriented steel, IEEE Trans on Magnetics, MAG-19, no.4, july 1983, p. 1557.
89. Ochiama, L., Contribuții teoretice și experimentale privind traductoarele inductive de forță și deplasare, Rezumatul tezei de doctorat, București, 1968.
90. Pär Gustafsson, New generation of roll force measuring equipment, ASEA Journal, no.3-4, 1987, p.8.
91. Parton, V., Perline, P., Methodes de la theorie mathematique de l'elasticite, tome 2, Ed. Mir, Moscou, 1981.
92. Potocky, L., s.a., Magnetostriiction of magnetic and stress annealed Fe-B amorphous alloys, Conf.on Met. Glas., Budapest, 1980, vol.11, p.101.
93. Rădulet, R., Sur les fondements de l'electrodinamique macroscopique, Rev. Roum. Sci. Techn., Electrotehn. et Energ. , 29, 2, p.101, Bucarest, 1964.
94. Rothenstein, B., Contribuții la mecanismul efectelor magnetoelastice. Teză de doctorat, IF Timișoara, 1968.
95. Saeb, M., Saunders, R., Finite element analysis of electromagnetic devices with anisotropic materials, IEEE Trans on Magnetics, MAG-23, no.>, 1987, p. 3860.
96. Sahashi, M., Kobayashi, T., Domon, T., Inomata, K., A new contact amorphous-torque sensor with wide dinamic range quick response, IEEE Trans on

- Magnetics, MAG - 23, No. 5, 1987, p. 2194.
97. Sasada, I., s.a., A new method of assembling a torque transducer by the use of bilayer - structure amorphous ribbons, IEEE Trans on Magnetics, MAG - 19, No. 5, sept 1983, p. 2148.
98. Sasada, I., s.a., Characteristics of chevron - type amorphous torque sensors constructed by the explosion bonding, IEEE Trans on Magnetics, MAG - 23, No. 5, 1987, p. 2196.
99. Sawa, T., Hashimoto, S., Inomata, N., Magnetic properties of Co - based amorphous alloys annealed with magnetic field transverse to the ribbon axis, IEEE Trans on Magnetics, MAG - 23, No. 5, sept. 1987, p. 5509.
100. Sevcenko, G.I., Magnitoanizotropniie datsiki, Izd. energhia, Moskva, 1967.
101. Sevrino, A.M., Santos, A.D., Missell, F.P., Stress and annealing dependence of magnetic properties of amorphous Co - Fe - Si - B alloys, IEEE Trans on Magnetics, MAG - 22, No. 5, p. 433.
102. Siemko, A., Lachowicz, H., On indirect measurements of saturation magnetostriiction in low - magnetostrictive metallic glasses, IEEE Trans on Magnetics, MAG - 23, No. 5, p. 2563.
103. Siemko, A., Jachowicz, H., Temperature and stress dependence of magnetostriiction in Co - based metallic glasses, IEEE Trans on Magnetics, MAG - 24, No. 2, 1988, p. 1984.
104. Siskinskii, V.I., Magnitoanizotropniie monolitniie siloizmeriteli, Izd. Nauchnostrenie, Moskva, 1981.
105. Sirotin, I.I., Samolskaia, M.P., Fizica cristalelor, ad. St. și Encycl., București, 1981.
106. Smith, C.H., Magnetic shielding to multi - gigawatt switches. Ten years of amorphous magnetic applications, IEEE Trans on Magnetics, MAG - 18, No. 6, nov. 1982, p. 1376.
107. Stolbun, M.I., Magnitouprugnie datsiki dlia izmerenia usili Elektricestvo, Nr. 1, 1964, p. 45.
108. Stolbun, M.I., Snijenie progrešnosti magnitouprugin pru-

- corezovatelei transformatornogo tipa, Izmeritelnaia tekhnika, Nr. 8, p.61, 1967.
109. Stolbun, M.I., Puti povisenia ciuvstvitelnosti magnetoprugil datchikov transformatornogo tipa, Izmeritelnaia Tekhnika, Nr. 6, p.34.
110. Sullivan, W., Wheatstone bridge technique for magnetostriiction measurements, Rev., Sci. Instrum. (51(5)), martie 1980, p. 982.
111. Szymczak, Lachowicz, H., Stress - induced magnetic phenomena in metallic glasses, IEEE Trans on Magnetics, MAG - 24, No. 2, 1988, p. 1749.
112. Sora, C., Bazile electrotehnicii, Ed. didactică și pedagogică, București, 1962.
113. Timoshenko, S., Goodier, J.N., Theory of elasticity, Mc. Graw - Hill & Co., New York, 1951.
114. Trușculescu, M., Serban, V.L., Trușculescu, D., Metale amorfice, Ed. tehnică, București, 1988.
115. Trutt, F., Erdelyi, I., Hopkins, R., Representation of the magnetisation characteristic of DC machines for computer use, IEEE Trans on PAS, No. 3, martie 1968, p. 665.
116. Isuya, N., Arai, K., Shiraga, I., Yamada, M., Masumoto,T., Magnetostriiction of amorphous  $Fe_{0,8}P_{0,13}C_{0,08}$  ribbon, Phys. stat. sol. (a) 31, 1975, p. 557.
117. Vazquez, M., Fernández, W., Kronmüller, H., The effect of tensile stresses on the magnetic properties of  $Co_{58}Fe_{10}Ni_{10}Si_{11}B_{10}$  amorphous alloys, Phys. stat. sol., (a), 60, 1983, p.195.
118. Vonsovski, S.V., Magnetismul, Ed. științifică și enciclopedică, București, 1981.
119. Washko, S.D., Fecich, D.R., Shen, T.H., Comparative analysis of the magnetic properties of oriented silicon steels and metallic glass, IEEE Trans on Magnetics, MAG - 18, No. 6, nov. 1982, p. 1415.
120. Wit, H.I. de, Witmer, C.H.M., Dirne, F.W.A., Induced anisotropy of amorphous CuFeSiB and CoNbZr magnetic materials, IEEE Trans on Magnetics, MAG -

- 23, No. 5, 1987, p. 2123.
121. Zienkiewicz, O.C., The finite element method in engineering sciences, Mc. Graw Hild, 1971.
122. Tensometrie magnetoelastica , CCSIT electroputere Craiova, 1983.